

## Université Mohamed khider –Biskra Faculté des Sciences et de la Technologie Département de Génie civil et d'Hydraulique

# **MÉMOIRE DE MASTER**

Sciences et Technologies

Filière : Genie Civil

Spécialité : Structure

Réf.: 2024

Présenté et soutenu par :

**Elhaj Mohamed Salem Oumar** 

Le : jeudi 13 juin 2024

# Etude d'un Bâtiment à usage d'habitation (R+9) Implanté à Sétif

Jury:

**Encadreur:** 

Dr.Attache Salima

Année universitaire: 2023-2024





Je dédie ce modeste travail :

A la personne la plus chère dans le monde, la lumière de ma vie, la source de tendresse, celle qui a sacrifié les plus beaux moments de sa vie pour mevoir un jour réussir :

#### ♥ Ma chère mère ♥

A la personne la plus respectueuse qui par son encouragement et ses fameux conseils a consacré tout son temps, ses efforts et ses moyens pour m'aider à accomplir ce travail dans les meilleurs conditions :

♥ Mon cher père ♥

A mes chers frères et sœurs ;

A toute ma chère famille ;

A tous mes amis;

Et à toute la promotion de Génie Civil 2023-2024.



# Remerciements



Je tiens à remercier en premier lieu Dieu qui nous a donné la force pour effectuer le présent travail.

Je remercie ensuite mes très chers parents pour leur soutien moral et leurs encouragements.

Je tiens à remercier aussi mon encadreur Dr.Attache
Salima pour son soutien et ses orientations qui m'ont été
très bénéfiques.

Ainsi que tous mes enseignants pour leurs conseils et leur encouragement

Durant l'évolution de ce travail.

Sans oublier mes chers amis et collègues pour leurs soutiens et leurs encouragements.



## Sommaire

Introduction générale1		
Chapitre I: Présentation du projet		
I.1. Introduction	3	
I.2. Presentation de l'ouvrage	3	
I.3. Caractéristiques de la structure	3	
I.4. Données du site	3	
I.5. Caracteristiques mecaniques des materiaux	3	
I.5.1 Béton	4	
I.6. La résistance du béton :	4	
I.6.1. La compression: BAEL 91 (Art. A.2.1, 11)	4	
I.6.2. Traction :BAEL 91 (Art. 2.1, 12)	4	
I.7. Déformation longitudinale du béton :	4	
I.7.1. Module de Déformation longitudinale instantané : C.B.A [A.2.1.2.1]	4	
I.7.2. Module de Déformation longitudinale différé : C.B.A [A.2.1.2.2]	5	
I.8. Coefficient de poisson : BAEL91 (Art A.2.1, 3)	5	
I.9. Diagramme Déformation	5	
I.9.1. Contrainte Du Béton: BAEL91 (art A.4 .3,4)	5	
I.9.1.1. Etat limite ultime	5	
I.9.1.2. Etat limite de service :	6	
I.10. Acier: BAEL 91(Art. A.2.2.):	6	
I.11. Contrainte limite ultime de l'acier :	7	
I.11.1 ELU :	7	
I.11.2. ELS:	7	
I.12. Contraintes limites de traction des aciers	7	
I.13. Les sollicitations : BAEL91 (art A.3.2)	7	
I.14. Les combinaisons d'action : RPA99 (Article V.5.2)	7	
I.15. Règles et normes de calcul :	8	

## Chapitre II: Pre dimensionnement des elements et descents de charges

II.1. Introduction:	10
II.2. Pré dimensionnement :	10
II.2.1 Planchers :	10
II.2.2. Condition de flèche: BAEL91 (art B.6.8, 424):	10
II.2.3. Les caractéristiques géométriques des poutrelles:	10
II. 2.2 ESCALIER :	11
II.2.2.1. Introduction:	11
II.2.2.2. Méthode de calcul :	11
II.2.2.3. Dimensionnement :	11
II.2.3. Balcon:	12
II.2.3.1. Introduction:	12
II.2.3.2. Hypothèse de calcul :	12
II.2.4. L'acrotere:	13
II.2.5. Les voiles :	14
II.2.5.1 Pré dimensionnement du voile	14
II.2.6. Les poutres :	15
II.2.6.1. Poutre principales : (Pp)	15
II.2.7. Poteaux :	15
II.2.3. Conclusion:	16
II.3. Charges Permanentes Et Surcharges d'exploitation :	16
II.3.1. Les charges :	16
II.3.1.1. L'acrotère :	16
II.3.1.2. Planchers :	17
II.3.1.3. Balcon:	18
II.3.1.4. Escaliers:	19
II 3 1 5 Les murs :	20

II.3.1.6. Murs extérieurs :	20
II.3.1.7. Conclusion:	21
II.4. Descente des charges :	21
Chapitre III: Etude des éléments secondaires	
III.1. Introduction	29
III.2. Mode de travail	29
E.L.S:	31
III.3. Calcul de ferraillage :	31
III.3.1. Détermination de la section des armatures à la flexion simple :	32
III.3.2. Détermination de la section des armatures à la flexion composée :	32
III.3.3. Détermination de l'excentricité du centre de pression :	32
III.3.4. Calcul de la section à la flexion simple :	33
III.3.5. Calcul de la section à la flexion composée :	33
III.3.6. Condition De Non Fragilité : BAEL (A.4.2.1)	33
III.3.7. Vérification De L'effort Tranchant : BAEL (A.5.1,1)	33
III.4. Balcon:	35
III.4.1. Les sollicitations du balcon :	36
III.4.2. calcul du ferraillage :	36
III.5. Les vérifications :	37
III.5.1. Pourcentage minimal : BAEL 91 (Art. B.5.3.1)	37
III.5.2. Condition de non fragilité : BAEL 91 (art. A.4.2.1)	37
III.5.3. Vérification de la contrainte de cisaillement BAEL 91 (Art.5.1)	37
III.5.4. Les armatures de répartition :	37
III.5.4.1. Espacement entre les armatures : BAEL 91 (Art. A.8.2, 42)	38
III.6. Vérification de la flèche : CBA 93 (Art. 6.5.1)	38
III.7. Présentation du ferraillage :	38
III.8. Escalier :	39

	III.8.1. Introduction:	39
	III.8.2. Composition d'un escalier :	39
	III.8.3. Méthode de calcul :	39
	III.8.4. Combinaisons d'action:	39
	III.8.5. Charge équivalente la paillasse :	41
	III.8.6. Calcul des armature:	41
	III.8.7. Conditions de non fragilité :	43
	III.8.9. Pourcentage minimal : BAEL 91 (art B.6.4)	43
	III.8.10. Les armatures de répartition :	43
	III.8.11. Vérification de l'effort tranchant :	43
	III.8.13. Vérification de la flèche: BAEL91 (art B.6.5, 1)	44
	III.8.14. Calcul de la flèche : BAEL 91 (art B.6.5, 2)	44
Ι	II.9. La poutre palière :	48
	III.9.1. Pré-dimensionnement :	48
	III.9.2. Calcul de la poutre à la flexion:	49
	III.9.3. Les sollicitations:	49
	III.9.4. Calcul de ferraillage:	49
	III.9.5. Condition de non fragilité selon BAEL91 (art A.4.2.1) page 22:	50
	III.9.6. Pourcentage minimal CBA93 article (B.6.4):	50
	III.9.7. Vérification de l'effort tranchant: BAEL 91 (A.5.1)	50
	III.9.8. Les armatures transversales:RPA 99/version2003(7.5.2.2)	51
	III.9.9. Calcul de la poutre palière à la torsion:	51
	III.9.10. Vérification de béton:	51
	III.9.10.1. Contrainte tangente due a l'effort tranchant :BAEL91(A.5.4.21)	51
	III.9.11. Les armatures longitudinales :	52
	III.9.12. Les armatures transversales :	52
	III.9.13. Les armatures totales:	52
	III.9.14. Armatures transversales:	53

III.9.15. Vérification de la flèche: BAEL91 (art B.6.5, 1)	
III.9.16. Présentation du ferraillage :	
Chapitre IV: Etude des planchers	
IV.1. Introduction:	56
IV.2. Conception des planchers :	56
IV.3 Méthode de calcul des planchers en corps creux :	56
IV.4. Calcul du ferraillage :	66
IV.4.1. Calcul des armatures longitudinales:	66
IV.4.2. Conditions de non fragilité:	67
IV.4.3. Pourcentage minimal: BAEL 91 (art B.6.4)	67
IV.4.4. Vérification a l'ELS :	68
IV.4.5. Schéma de ferraillage	73
IV.5. Ferraillage de la dalle de compression (Hourdie) : BAEL91 (B.6.8, 423)	74
IV.5.1. Les armatures perpendiculaires aux nervures :	74
IV.5.2. Les armatures parallèles aux nervures :	74
IV.5.3. Schéma de ferraillage	74
Chapitre V: Etude Dynamique	
V.1. Introduction :	76
V.2. Objectif de l'étude dynamique :	76
V.3. Les méthodes de calcul : RPA 99 (Art. 4.1.1)	76
V.4. Méthode statique équivalente :	76
V.4.1. Définition :	76
V.4.2. Conditions d'application de la méthode statique équivalente :	76
V.5. Les Méthodes Dynamiques :	77
V.5.1. La méthode d'analyse modale spectrale :	77
V.5.2. La méthode d'analyse dynamique par accélérogrammes :	77
V.5.3. Choix de la méthode de calcul	77

V.5.4. Classification de l'ouvrage :	77
V.6. Méthode d'analyse modale spectrale : (RPA99, version2003 article 4.3)	78
V.6.1. Principe:	78
V.6.2. Buts de l'analyse dynamique :	78
V.6.3. Description du logiciel ROBOT VERSION 2018 :	78
V.6.4. Modélisation:	78
V.6.5. Spectre de réponse de calcul :	78
V.7. Représentations des résultats de la méthode modale spectrale et interprétations :	79
V.8. La Méthode Statique Equivalente : (l'art 4.2.3 de RPA99/version 2003)	83
V.8.1. Le poids de la construction :	88
V.8.2. L'effort tranchant à la base :	89
V.8.3. La résultante des forces sismiques de calcul :	89
V.8.4. Distribution de la résultante des forces sismiques selon la hauteur :	89
V.8.5. Vérification des déplacements:	90
V.8.6. Justification vis-à-vis de l'effet P-Δ : Art.5.9 du RPA99/version2003 :	91
V.8.7. Vérification au renversement :	93
V.8.8. Détermination du centre de gravité des masses et le centre des rigidités :	94
V.8.8.1. Centre de gravité des masses :	94
V.8.8.2. Centre de rigidités :	94
Chapitre VI: Ferraillage des éléments structuraux	
VI.1 Introduction:	98
VI.2 Combinaisons d'actions :	98
VI.3 Recommandations du RPA99/V2003 : (art7.4.2 page 61)	99
VI.3.1. Armatures longitudinales :	99
VI.3.2. Armatures transversales :	99
VI.4. Ferraillage des poteaux :	100
VI.4.1. Les sollicitations des poteaux obtenus par ROBOT :	100

	VI.4.2. Calcul des ferraillages :	101
	VI.4.3. Vérification de section minimale d'armature selon l'RPA99 :	106
	VI.4.4. Vérification de la condition de non fragilité BAEL.91 :	106
	VI.4.5. Vérification à l'E.L.S:	107
	VI.4.6. Vérification de l'effort tranchant :	109
	VI.4.7. Calcul les armatures transversales :	109
	VI.4.8. Vérification des cadres des armatures minimales :	110
	VI.4.9. Présentation du ferraillage :	112
V	I.5. Ferraillage des poutres :	113
	VI.5.1. Poutre Principales :(30 × 50)	113
	VI.5.2. Ferraillage longitudinal :	115
	VI.5.3. Condition de non fragilité : BAEL91 (Article A.4.2)	116
	VI.5.4. Le pourcentage minimal d'armature :	116
	VI.5.5. pourcentage minimal d'après le RPA99V2003 (Art7.5.2.1) :	116
	VI.5.6. Vérification de la flèche : BAEL91 (art.6.5.1)	117
	VI.5.7. Vérification de la contrainte de cisaillement : BAEL 91 (art. A.5.1.1)	117
	VI.5.8. Les armatures transversales :	118
	VI.5.9. Section minimal des armatures transversales :	118
	VI.5.10. Condition exigée par le RPA99/V2003 :	118
	VI.5.11. Poutre secondaire :(30 × 40)	118
	VI.5.12. Ferraillage longitudinal :	120
	VI.5.13. Vérification de la contrainte de cisaillement : BAEL 91 (art. A.5.1.1)	122
	VI.5.14. Présentation du ferraillage :	124
V	I.6. Ferraillage des voiles :	125
	VI.6.1. Introduction:	125
	VI.6.2. Types d'armatures :	125
	VI.6.2.1. Armatures verticales : selon l'RPA.99.art.7.7.4.1	125
	VI.6.2.2. Armatures transversales :	126

VI.6.3. Calcul du ferraillage:	126
VI.6.4. Armatures verticales :	127
VI.6.5. L'armature verticale minimale :	128
VI.6.6. La section d'armature minimale dans la zone tendue :	128
VI.6.7. Le pourcentage minimum d'armatures verticales est donné comme suit :	128
VI.6.8. Vérification des contraintes de cisaillement :	129
VI.6.9. Armatures horizontales :	129
VI.6.10. Schéma de ferraillage :	130
Chapitre VII: Etude de L'infrastructure	
VII.1. Introduction :	132
VII.2. Différents types de fondations :	132
VII.3. Le choix de type de fondation :	132
VII.4. Vérification du chevauchement (Ss / Sb) :	133
VII.5. Etude du radier:	134
VII.5.1. Pré dimensionnement du radier :	134
VII.5.2. Détermination des efforts :	135
VII.5.3. Détermination de la surface nécessaire du radier :	135
VII.5.4. Calcul de débordement D :	136
VII.5.5. Les vérifications nécessaires :	136
VII.5.5.1. Vérification de la contrainte de cisaillement : BAEL 91 (art.A.5.1)	136
VII.5.5.2. Vérification au poinçonnement [BAEL91 (article A.5.2.42)]	136
VII.5.5.3.Vérification de l'effort de sous pression :	137
VII.5.5.4. Vérification de la stabilité du radier sous (0.8G± E):	137
VII.5.5.5. Vérification au non soulèvement des fondations (G+Q+E):	138
VII.5.6. Ferraillage du radier :	138
VII.5.6.1. Méthodes de calcul:	138
VII.5.6.2. Evaluation des charges :	139

VII.5.6.3. Calcul des moments fléchissant :	140
VII.5.6.4. Calcul des armatures :	140
VII.5.6.5. Vérification de la contrainte de cisaillement : BAEL 91 (A.5.1,21)	143
VII.5.6.6. Etude du débord du radier :	143
VII.5.6.7. Vérification au cisaillement :	144
VII.5.7. Etude de la nervure :	145
VII.5.7.1. Ferraillage de nervure a l'ELU :	147
VII.5.7.2. Ferraillage de nervure a l'ELS :	147
VII.5.7.3. Vérification de cisaillement :	147
VII.5.8. Schéma ferraillage de radier :	149

## Liste des Figures

Chapitre I: Présentation du projet	
Figure I. 1. Diagramme déformation contrainte du béton à L'E.L.U	6
Figure I. 2. Diagramme déformation contrainte du béton à L'E.L.S.	6
Chapitre II: Pre dimensionnement des elements et descents de	charges
Figure II. 1. Coupe de nervure	11
Figure II. 2. Schéma de l'acrotére	13
Figure II. 3. Coupe du voile en élévation	14
Figure II. 4. Hauteur libre d'étage.	15
Figure II. 5. Planché terrasse.	17
Figure II. 6. Coupe Plancher étage	17
Figure II. 7. schèma du Mur extérieur	20
Chapitre III: Etude des éléments secondaires	
Figure III. 1. schéma isostatique de l'acrotère	29
Figure III. 2. schéma isostatique de l'acrotère	30
Figure III. 3. Schéma du ferraillage de l'acrotère.	34
Figure III. 4. schéma de ferraillage du balcon	38
Figure III. 5. Tab Récapitulatif résultats des combinaisons.	40
Figure III. 6. Schéma du ferraillage des escaliers.	47
Figure III. 7. Schéma de ferraillage de la poutre palière.	54
Chapitre IV: Etude des planchers	
Figure IV. 1. Schéma de ferraillage des poutrelles des planchers à corps creux	73
Figure IV. 2. ferraillage de la dalle de compression	74
Chapitre V: Etude Dynamique	
Figure V. 1. Disposition des voiles (1 <sup>ére</sup> variante)	80
Figure V. 2. Premier mode de vibration Vue 3D et vue en plan (1er variante)	81
Figure V. 3 Deuxième mode de vibration Vue 3D et vue en plan (1er variante)	82
Figure V. A. Troisième mode de vibration Vue 3D et vue en plan (1er variante)	82

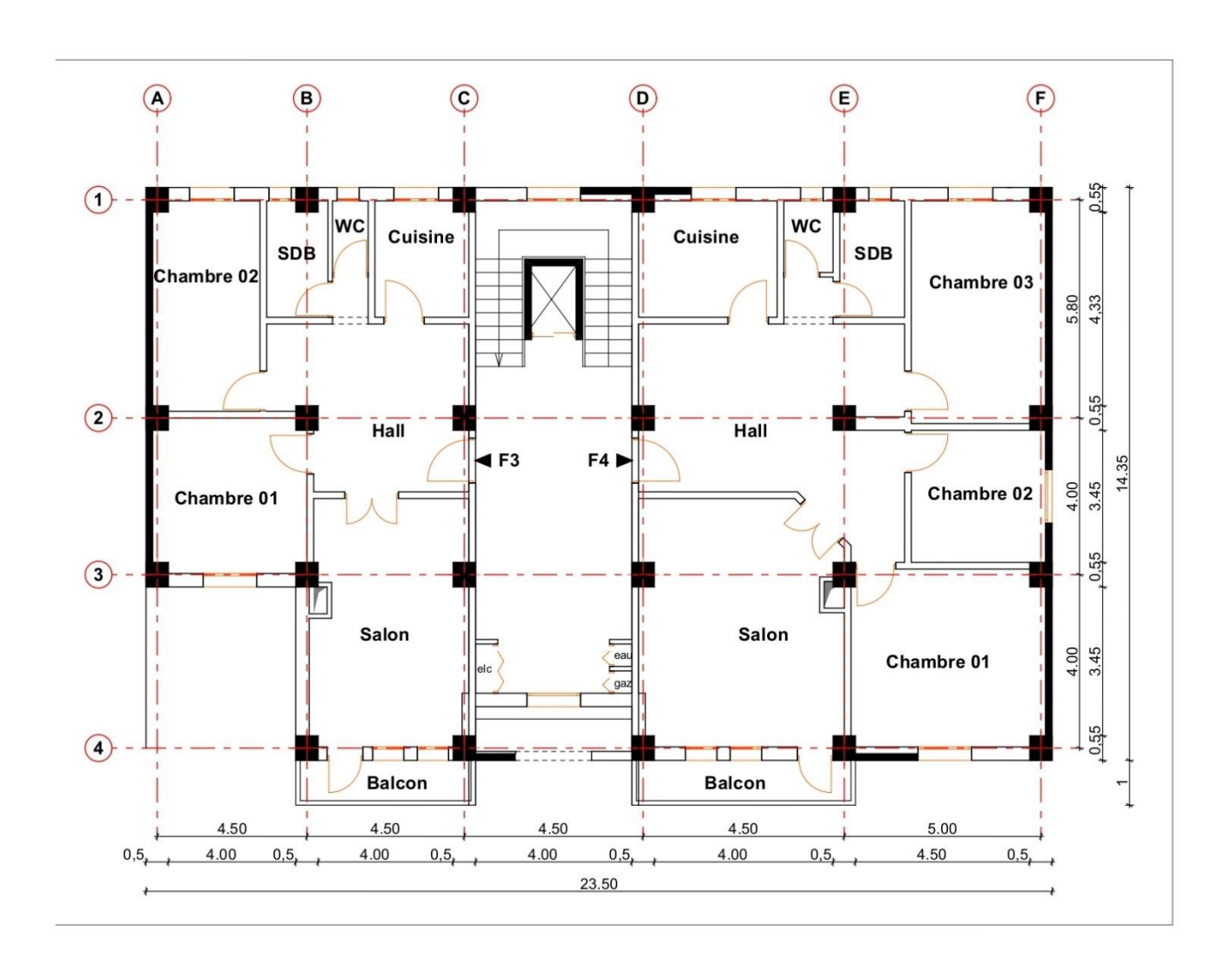
Chapitre VI:	Ferraillage des	éléments structuraux
--------------	-----------------	----------------------

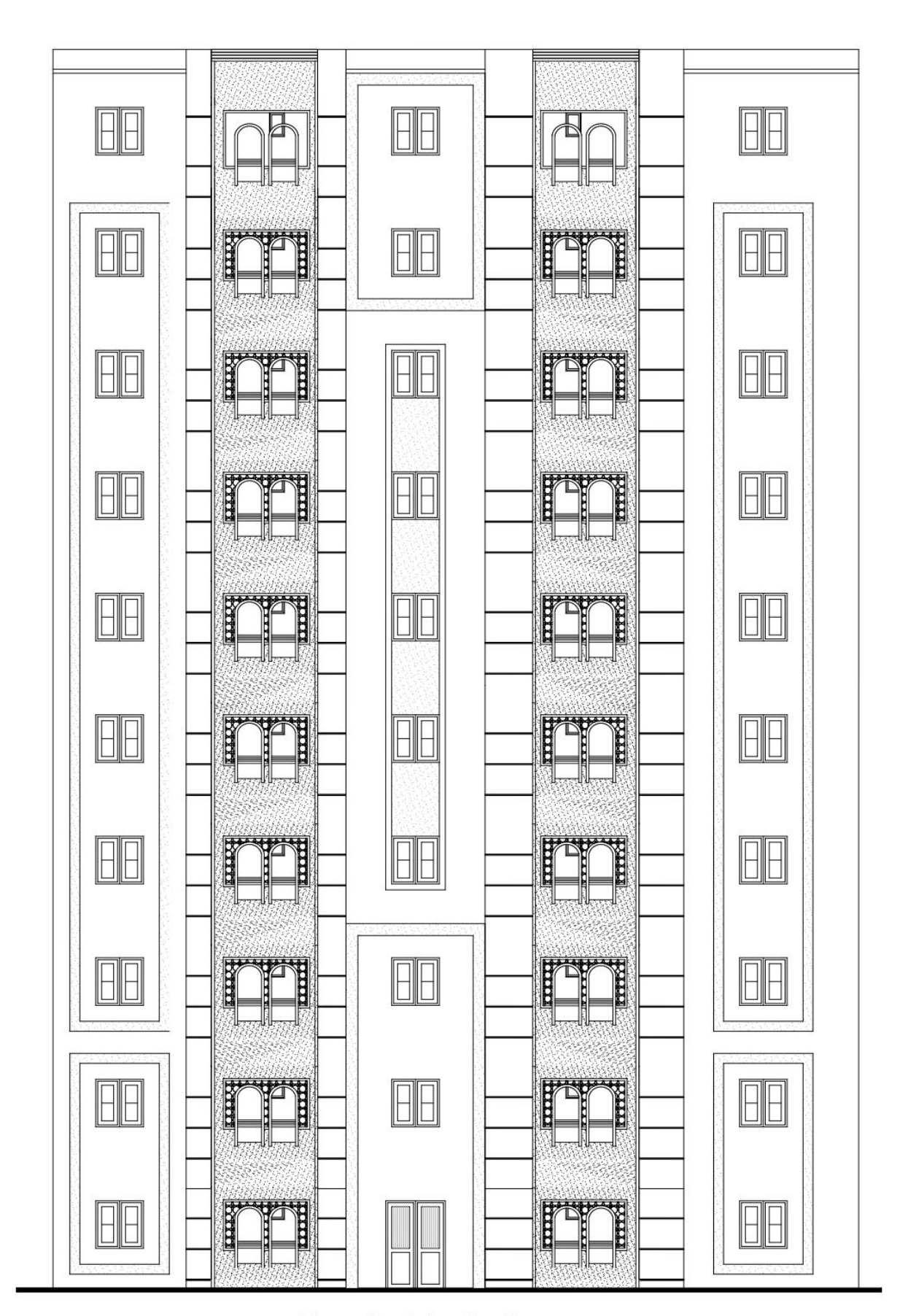
Figure VI. 1. l'effort tranchant max du poteau
Figure VI. 2. Schéma de ferraillage du poteau
Figure VI. 3. Moment de flexion des poutres principales en appuis et en travée à l'E.L.U113
Figure VI. 4. Moment de flexion des poutres principales en appuis et en travée à l'E.L.S114
Figure VI. 5. Moment de flexion max des poutres principales en appuis dans le cas accidentel 114
Figure VI. 6. Récapitulatif des valeurs des moments dans les poutres et dus au combinaisons les
plus défavorables
Figure VI. 7. Moment de flexion max des poutres principales en appuis116
Figure VI. 8. Effort tranchant max des poutres principales
Figure VI. 9. Moment de flexion des poutres secondaire en appuis et en travée à l'E.L.U119
Figure VI. 10. Moment de flexion des poutres secondaire en appuis et en travée dans le cas ELS
119
Figure VI. 11. Moment de flexion des poutres secondaire en appuis et en travée dans le cas
accidentel119
Figure VI. 12. Moment de flexion max des poutres secondaires en appuis121
Figure VI. 13. Effort tranchant max des poutres secondaires
Figure VI. 14. Schéma de ferraillage des poutres principales
Figure VI. 15. Schéma de ferraillage des poutres secondaires
Figure VI. 16. Schéma de ferraillage du voile
ChapitreVII: Etude de L'infrastructure
Figure VII. 1. Vue en 3D du débord
Figure VII. 2. Shéma statique de poutre semi-encastré
Figure VII. 3. Diagrammes des moments fléchissant de nervure du radier à l'E.L.U145
Figure VII. 4. Diagrammes des efforts tranchants de nervure du radier à l'E.L.U145
Figure VII. 5. Diagrammes des moments fléchissant de nervure du radier à l'E.L.S146
Figure VII. 6. Diagrammes des efforts tranchants de nervure du radier à l'E.L.S146
Figure VII. 7. ferraillage sur appui Et en travée de nervure
Figure VII. 8. ferraillage globale de radier

### Liste des Tableaux

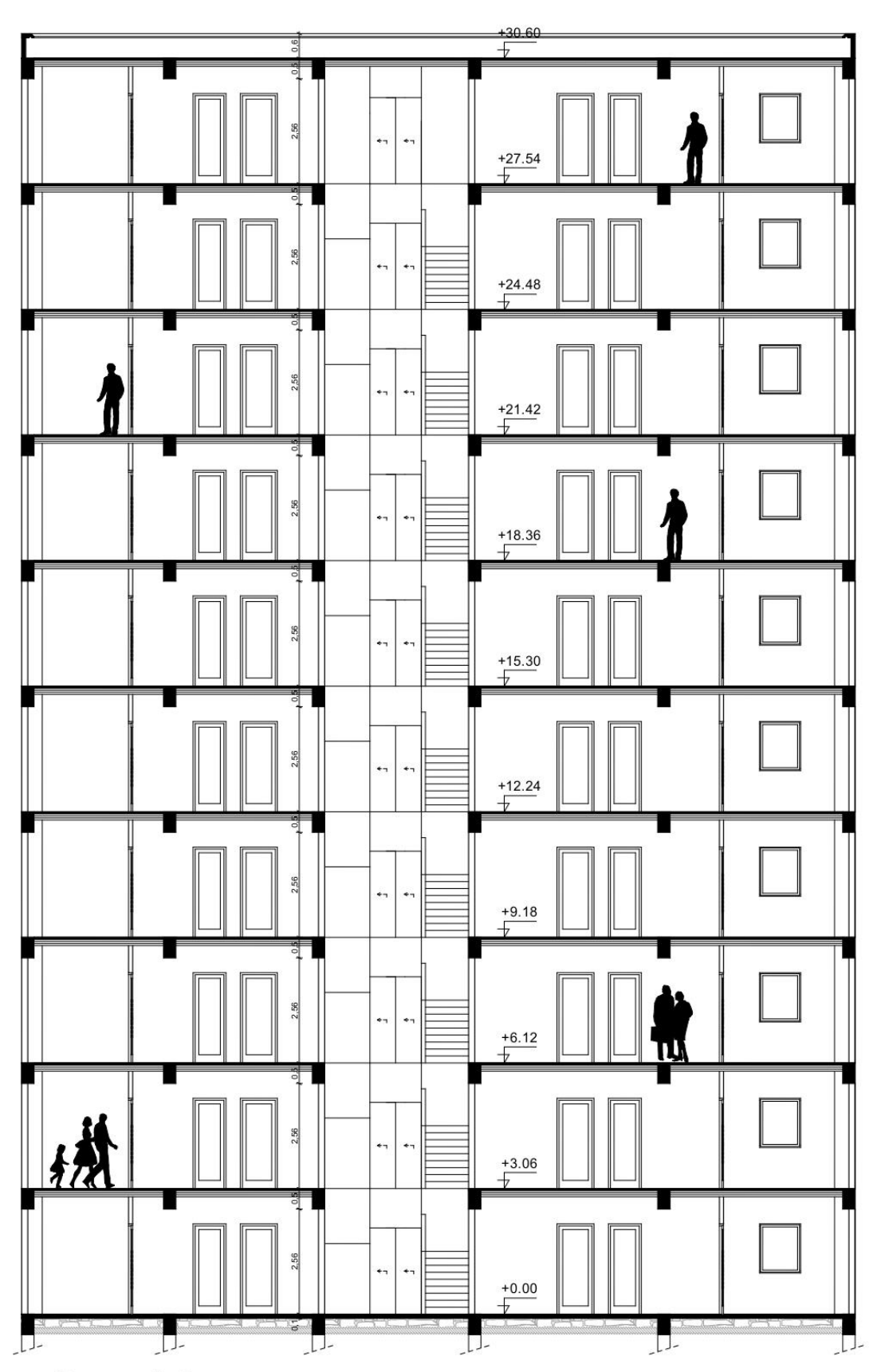
Chapitre I: Présentation du projet			
Tableau I. 1. Contraintes limites de traction des aciers	7		
Chapitre II: Pre dimensionnement des elements et descents de charge	es		
Tableau II. 1. Tab Charge due aux planchers terrasse inaccessible	17		
Tableau II. 2. Tab charge permanente due aux planchers étage courante	18		
Tableau II. 3. Tab Charge permanente d'un balcon	18		
Tableau II. 4. Tab Charge permanente d'une volée (paillasse)	19		
Tableau II. 5. Tab Charge permanente et d'exploitation d'un palier.	19		
Tableau II. 6. Tab Charge permanente d'un mur intérieur	20		
Tableau II. 7. Tab Charge permanente d'un mur extérieur.	20		
Tableau II. 8. Tab Résume des charges permanentes et d'exploitation.	21		
Chapitre III: Etude des éléments secondaires			
Tableau III. 1. Tab Récapitulatif résultats des sollicitations de balcon	32		
Tableau III. 2. Récapitulatif résultats des sollicitations de balcon.	37		
Tableau III. 3. Tab Récapitulatif résultats des combinaisons.	41		
Tableau III. 4. Tab récapitulatif résultats de l'armature longitudinale	42		
Tableau III. 5. Tab Récapitulatif résultats du ferraillage.	43		
Tableau III. 6. Récapitulatif résultats des combinaisons	49		
Tableau III. 7. Récapitulatif résultats des combinaisons	49		
Tableau III. 8. Récapitulatif résultats de l'armature longitudinale.	49		
Tableau III. 9. Récapitulatif résultats de la vérification à l'ELS.	50		
Tableau III. 10. Récapitulatif résultats du ferraillage.	50		
Tableau III. 11. Récapitulatif résultats du ferraillage	53		
Chapitre V: Etude Dynamique			
Tableau V. 1. Périodes et facteurs de participation massique du modèle (1ère variante)	80		
Tableau V. 2 .Accélération de zone A	83		
Tableau V. 3. Valeur du coefficient d'amortissement suivant le système structural	84		
Tableau V. 4. la période de calcul de VMSE.	86		
Tableau V. 5. Valeurs des pénalités Pq	87		

Tableau V. 6. Valeurs du coefficient de pondération	88
Tableau V. 7 Poids des étages	88
Tableau V. 8. L'effort tranchant à la base donné par la méthode statique équivalente	89
Tableau V. 9. Distribution des forces sismiques au niveau de chaque étage	90
Tableau V. 10. Déplacements absolus pour les deux sens	91
Tableau V. 11. Vérification de l'effet P-Δ pour le sens longitudinal	92
Tableau V. 12. Vérification de l9effet P- Δ pour le sens transversal	92
Tableau V. 13. Calcul du moment de renversement	93
Tableau V. 14. Centres de masses et rigidités et l'excentricité des niveaux	95
Tableau V. 15. L'excentricité accidentelle	96
Chapitre VI: Ferraillage des éléments structuraux	
Tableau VI. 1. Paramètres du béton et acier pour le calcul des armatures dans le cas acc	identel. 98
Tableau VI. 2. Les résultats des efforts et des moments pour chaque combinaisor	ı dans les
poteaux	100
Tableau VI. 3. Les armatures longitudinales utilisées pour les poteaux	106
Tableau VI. 4. Tableau récapitulatif pour le ferraillage des potea	111
Tableau VI. 5. Récapitulatif résultats de l'armature longitudinale	115
Tableau VI. 6. Section d'armatures longitudinales des poutres principales	117
Tableau VI. 7. Récapitulatif des valeurs des moments dans les poutres et dus au combir	naisons les
plus défavorables	120
Tableau VI. 8. Récapitulatif résultats de l'armature longitudinale des poutres secondaire	es121
Tableau VI. 9. Section d'armatures longitudinales des poutres secondaires	122
ChapitreVII: Etude de L'infrastructure	
Tableau VII. 1. Vérification de la stabilité du radier sous (0.8G± E)	137
Tableau VII. 2. Vérification au non soulèvement des fondations (G+Q+E)	138
Tableau VII. 3. Le calcul des moments en travée et en appuis selon la méthode de PIGE	EAUD.139
Tableau VII. 4. Résultats des moments du panneau sur appui et en travées à l'E.L.U	140
Tableau VII. 5. Calcul de ferraillage du panneau de radier à l'E.L.U	141
Tableau VII. 6. Résultats des moments du panneau sur appui et en travées à l'E.L.S	142
Tableau VII. 7. Calcul de ferraillage du panneau de radier à l'E.L.S	142
Tableau VII. 8. Les armatures longitudinales utilisées pour les radier	144





**Facade Principale** 



Coupe A-A



# **Introduction General**



#### Introduction générale

Les constructions en béton armé ont souvent subi des dégâts importants lors des tremblements de terre majeurs, plus particulièrement les ossatures en portiques. Ces dégâts sont dus en général à une conception architecturale incorrecte du point de vue parasismique, un ferraillage inadéquat ou une mauvaise qualité d'exécution.

Notre travail se base sur l'étude, la modélisation et la conception d'un bâtiment (R+9) avec un contreventement mixte implanté dans la wilaya de Sétif qui est considérée comme une zone de sismicité moyenne (zone II<sub>a</sub>).

Cependant, la réalisation des travaux doit se soumettre aux règlements et aux normes de construction tels que : BAEL91, CBA93 et le règlement parasismique algérien RPA.99/v2003.

Chaque étude de projet du bâtiment doit mener à des buts bien précis :

- La sécurité : qui consiste à assurer la stabilité de l'ouvrage.
- L'économie : qui sert à diminuer le coût général du projet

Ce mémoire est organisé en sept chapitres, entamés par une introduction générale. On présente dans le Chapitre 1 la présentation de l'ouvrage à étudier ainsi que les caractéristiques des matériaux utilisés. Le chapitre 2 sera consacrée au pré dimensionnement des éléments et la descente de charge. On étudie dans le Chapitre 3 les éléments secondaires de la structure (balcons, escaliers, acrotère). L'étude des planchers est présentée dans le chapitre 4. Le chapitre 5 est consacré à l'étude dynamique. le chapitre 6 pour le calcul des éléments structuraux. Finalement, le chapitre 7 traite l'étude de l'infrastructure.



# **Chapitre I**

Présentation du projet



#### I.1. Introduction

La stabilité de l'ouvrage est en fonction de la résistance des différents éléments structuraux (poteaux, poutres, voiles...) aux différentes sollicitations.

Pour le calcul des éléments constituants un ouvrage, on se base sur des règlements et des méthodes connues (BAEL91, RPA99modifiéen2003) qui s'appuie sur la connaissance des matériaux (béton et acier) et le dimensionnement et ferraillage des éléments porteurs de la structure.

#### I.2. Presentation de l'ouvrage

Le Présent projet consiste bâtiment(R+9) à usage d'habitation l'ossature est assurée par système de contreventement mixte (par des voiles et des portiques).le bâtiment est implanté à SETIF, c'est une zone classée par le RPA 99/version 2003 comme zone de moyenne sismicité (zone IIa).

#### I.3. Caractéristiques de la structure

Les caractéristiques de la structure sont :

• Largeur en plan: 13.8m

• Longueur en plan : 23m

• Hauteur du RDC: 3.06m

• Hauteur d'étage courant : 3.06m

• Hauteur totale : 30.6m

#### I.4. Données du site

Le bâtiment est implanté dans la Wilaya de Sétif donc dans une zone de sismicité moyenne (Zone IIa) selon le classement des RPA99/Version 2003. Le bâtiment est à usage d'habitation donc appartient au groupe d'usage 2. Le site est considéré comme meuble (S3) selon l'étude de sol.

#### I.5. Caracteristiques mecaniques des materiaux

Le béton et l'acier utilisés dans la construction de cet ouvrage serontchoisis conformément aux règles techniques de conception, et de calculdes ouvrages en béton armé **BAEL 91**, ainsi que le règlement parasismique Algérien **RPA 99/Version2003**.

#### I.5.1 Béton

Béton est un terme générique qui désigne un matériau de construction composite fabriqué à partir de granulats (sable, gravillons ...

La Composition courante d'1m³ du béton est la suivante :

- 350 kg de ciment de CPA 325.
- 400 kg de sable DS < 5 mm.
- 800 kg de gravillons.
- 175,1 d'eau de gâchage.

#### I.6. La résistance du béton :

#### I.6.1. La compression: BAEL 91 (Art. A.2.1, 11)

La résistance caractéristique à la compression du béton  $f_{cj}$  à j jours d'âge est déterminée à partir d'essais sur des éprouvettes normalisées de 16 cm de diamètre et de 32cm de hauteur. On utilise le plus souvent la valeur à 28 jours de maturité :  $f_{c28}$ . Pourdes calculs en phase de réalisation, on adoptera les valeurs à j jours, définies à partir de  $f_{c28}$  par:

- Pour des résistances f<sub>c28</sub> ≤ 40MPa :

$$f_{cj} = \frac{j}{4.76 + 0.83j} f_{c28}$$
 si j < 60 jours.  
$$f_{cj} = 1.1 \times f_{c28}$$
 si j > 60 jours.

- Pour des résistances  $f_{c28} > 40 MPa$ 

$$f_{cj} = \frac{j}{1.40 + 0.95j} f_{c28}$$
 si j < 28 jours. 
$$f_{cj} = f_{c28}$$
 si j > 28 jours.

La résistance a la compression a 28 jours fc28 = 25 MPa

#### I.6.2. Traction :BAEL 91 (Art. 2.1, 12)

La résistance caractéristique à la traction du béton à j jours, notéef $_{tj}$ , est conventionnellement définie par les relations :

$$\begin{split} f_{tj} &= 0.6 + 0.06 f_{cj} & \text{si } f_{c28} \leq 60 MPa. f_{tj} \ f_{tj} = 0.275 (f_{cj})^{2/3} & \text{si } f_{c28} > 60 MPa. \\ & \text{On atopte} \ f_{t28} = 2.1 \ MPa \end{split}$$

#### I.7. Déformation longitudinale du béton :

#### I.7.1. Module de Déformation longitudinale instantané : C.B.A [A.2.1.2.1]

Sous des contraintes normales d'une durée d'application inférieure a24 h, on admet a défaut de mesures, qu'a l'âge « j » jours.

Le module de déformation longitudinale instantané du béton Eij est égal a :

$$E_{ij} = 11000 \times f_{ci}^{1/3} \text{ MPa}$$

 $Pour \quad f_{c28}\!=\!25\; MPa \quad \ on \ a \ \ E_{ij}\!=\!32164.195\; MPa.$ 

#### I.7.2. Module de Déformation longitudinale différé : C.B.A [A.2.1.2.2]

Sous des contraintes de longue durée d'application, le module de déformation longitudinale diffère .ceci permet de calculer la déformation finale du béton. Elle est donnée par la formule

$$\begin{split} E_{vj} &= 3700 \times {f_{cj}}^{1/3} \\ Pour \ f_{c28} &= 25 \ MPa \ on \ a \end{split} \qquad E_{vi} = 10818.865 \ MPa. \end{split}$$

#### I.8. Coefficient de poisson : BAEL91 (Art A.2.1, 3)

Il est défini par la relation :

$$V = \frac{\text{déformation transversale}}{\text{déformation longitudinale}}$$

V = 0: pour le calcul des sollicitations E.L.U.

V = 0.2: pour le calcul des déformations E.L.S.

#### I.9. Diagramme Déformation

#### I.9.1. Contrainte Du Béton: BAEL91 (art A.4.3.4)

#### I.9.1.1. Etat limite ultime

Pour les vérifications à l'état limite ultime, on doit utiliser pour le béton un diagramme dit «parabole - rectangle», et dans un but de simplification, en utilisant le diagramme rectangulaire. Les déformations du béton sont :

$$\begin{split} &- \quad \epsilon_{bc1} = 2^{\circ}/_{00} \\ &- \quad - \epsilon_{bc2} = 3.5^{\circ}/_{00} \qquad \qquad Si \qquad \rightarrow f_{cj} \leq 40 Mpa \\ &- \quad - Min(4.5;0.025f_{cj})^{\circ}/_{00} \quad Si \qquad \rightarrow f_{cj} \geq 40 Mpa \end{split}$$

la valeur de calcul de la résistance en compression du béton f<sub>bu</sub> est donnée par:

$$fbu = \frac{0.85 \times f_{c28}}{\theta \times \gamma_b}$$

avec:

y coefficient de sécurité partiel (1.5 pour les combinaisons fondamentales et 1.15 pour les combinaisons accidentelles)

 $\theta$ : un coefficient qui tient compte de la durée d'application des charges :

- $\theta = 1$  si la durée est supérieure à 24h
- $\theta = 0.9$  si la durée est comprise entre 1h et 24h.
- $\theta = 0.85$  dans les autres cas.

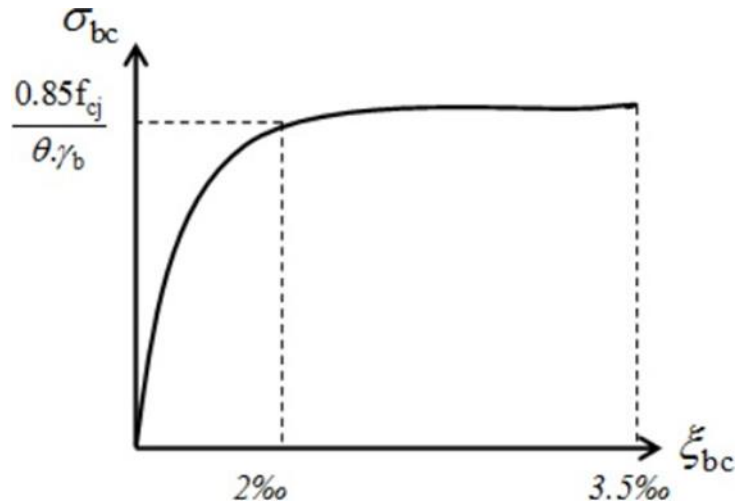


Figure I. 1. Diagramme déformation contrainte du béton à L'E.L.U

#### I.9.1.2. Etat limite de service :

La contrainte de compression de béton à l' E .L .S est limitée par  $\sigma_{bc}$  avec :

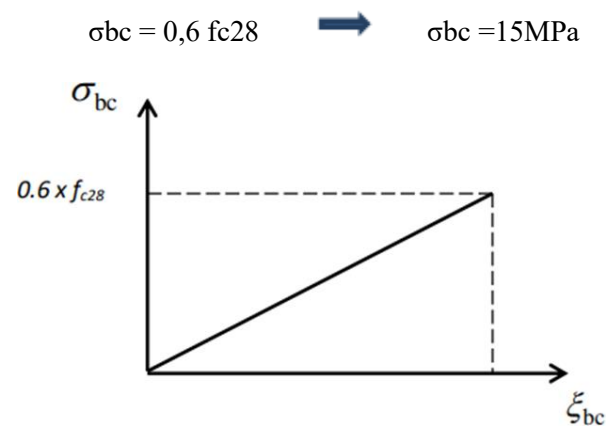


Figure I. 2. Diagramme déformation contrainte du béton à L'E.L.S.

#### I.10. Acier : BAEL 91(Art. A.2.2.) :

L'acier est alliage fer – carbone, il réponde aux efforts de traction, de compression, de cisaillement, et de torsion. Il ne réagit pas chimiquement avec le béton, il a le même coefficient de dilatation thermique que celui du béton, et il présente une bonne qualité d'adhérence avec le béton. On distingue deux types d'acier selon leurétat de surface :

Les barres à haute adhérence (HA) de nuanceFeE400. Treillis soudés en fils lisse TLE 520. Le module d'élasticité longitudinale : Es= 2.105MPa.

#### I.11. Contrainte limite ultime de l'acier :

#### I.11.1 ELU:

#### I.11.2. ELS:

#### I.12. Contraintes limites de traction des aciers

Cas	Conditions particulières	Contraintes limites de traction en MPa
Fissuration peu préjudiciable	Locaux ouverts et clos non soumis à condensations	$\bar{\sigma}_s \leq f_e$
Fissuration préjudiciable	Coefficient de fissuration : $\eta$ $\eta=1$ pour R.L $\eta=1,6$ pour H.A de $\Phi \geq 6$ mm $\eta=1,3$ pour H.A de $\Phi < 6$ mm	$\bar{\sigma}_s = \min\left(\frac{2}{3}f_e; 110\sqrt{\eta f_{tj}}\right)$
Fissuration très préjudiciable	Diamètres des aciers Φ>8 mm	$\bar{\sigma}_s = \inf(0.5f_e; 90\sqrt{\eta f_{tj}})$

Tableau I. 1. Contraintes limites de traction des aciers

#### I.13. Les sollicitations : BAEL91 (art A.3.2)

Il est rappelé que les sollicitations sont les efforts (effort normal, effort tranchant) et les moments (moment de flexion, moment de torsion) calculés à partir des actions par des méthodes appropriées.

#### I.14. Les combinaisons d'action : RPA99 (Article V.5.2)

Les combinaisons d'action à considérer sont :

-Situation durable:

-Situation accidentelles:

$$\begin{cases}
G+Q\pm E \\
0.8\times G\pm E
\end{cases}$$

#### I.15. Règles et normes de calcul :

On utilise pour le calcul de ce projet les règlements suivants :

- ✓ Règles parasismique Algérienne (RPA99 version 2003).
- ✓ Charges permanentes et charges d'exploitations (DTR-BC.2.2).
- ✓ Règles techniques de conception et de calcul des ouvrages et constructions en béton armé suivant la méthode des états limites(BAEL 91).
- ✓ Règlement neige et vent (RNV 99).
- ✓ CBA 93 (Code du béton armé).

# **Chapitre II**

Pre dimensionnement des elements et descents de charges



#### II.1. Introduction:

Pour assurer une bonne tenue et stabilité de l'ouvrage, il faut que tous les éléments de la structure soient dimensionnés pour résister aux différentes sollicitations, à savoir :

- Sollicitations verticales: dues aux charges permanentes, surcharges du plancher, poutrelles et poutres.
- Sollicitations horizontales : dues aux effets du vent et du séisme. Le pré dimensionnement de chaque élément de la structure est conforme au règlement BAEL & RPA.99.

#### II.2. Pré dimensionnement :

#### II.2.1 Planchers:

Le plancher proposé dans cette structure est un plancher à corps creux, ce choix est motivé par les raisons suivantes :

- Facilité de réalisation.
- Poids léger des corps creux.
- Plus économique que les planchers en dalle pleine.

#### II.2.2. Condition de flèche: BAEL91 (art B.6.8, 424) :

La rigidité n'est valable que pour des poutrelles pour lesquelles le rapport

$$\frac{h_t}{L} \ge \frac{1}{22.5} \quad \to \quad h_t \ge \frac{L}{22.5}$$

On a: L=500cm

donc 
$$\rightarrow$$
  $h_t = 22,22$ cm

Donc on adopte un plancher à corps creux de type 20+4

$$\mathbf{hc} = 20 \text{cm} \rightarrow \text{la hauteur du corps creux.}$$
 $\mathbf{ho} = 4 \text{cm} \rightarrow \text{épaisseur de la dalle de compression.}$ 

#### II.2.3. Les caractéristiques géométriques des poutrelles:

- ✓ Soit b0=10cm
- ✓ Le corps creux est normalisé par une hauteur de 20 cm et une longueur de 55cm.
- ✓ La section en travée à considérer est une section en T.

La largeur de la table est donnée par les conditions suivante :

$$b_1 = \min(\frac{L_n}{2} ; \frac{L}{10})$$

Ln : la distance entre deux nervures consécutives

L : la longueur de la nervure

$$b1 = min(\frac{L_n}{2} = 27.5; \frac{L}{10} = 50)$$

donc b1=27,5cm

$$b = 2.b1 + b0 = 65cm$$

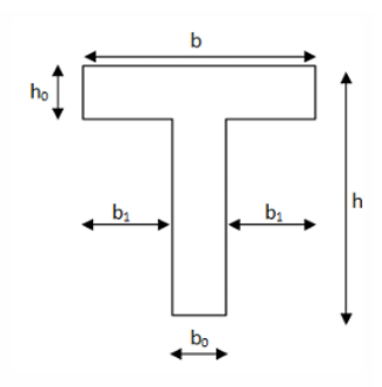


Figure II. 1. Coupe de nervure

Donc:

#### II. 2.2 ESCALIER:

#### II.2.2.1. Introduction:

L'escalier est la partie d'ouvrage qui sert à assurer la liaison entre les différents niveaux d'une construction.

#### II.2.2.2. Méthode de calcul:

L'escalier est calculé comme une poutre à section rectangulaire travaillant à la flexion simple, car il s'agit d'un escalier à paillasse.

Le calcul des armatures se fait sur une bande de 1 m de largeur.

#### II.2.2.3. Dimensionnement:

Pour le dimensionnement des marches (g) et des contre marche (h) on utilises généralement la formule de BLONDEL :

$$59 \le g + 2h \le 66$$

h: hauteurde contre marche (  $14cm \le h \le 18cm$  )

g: largeur de la marche ( $24cm \le g \le 32cm$ )

On prend h=17cm; g=30cm  $\longrightarrow$  59  $\leq$  64 $\leq$  66 $\longrightarrow$  CV

Nombre des marches :  $N = \frac{H}{h}$ 

H : hauteur d'étage et RDC → H=3,06cm

h: hauteur de la conter marcher  $\longrightarrow$  h = 17 cm.

$$\longrightarrow$$
 N= $\frac{306}{17}$ = 18 ( pour deux volée )

Nombre de marches dans une volée :

Longueur de la volée :

$$L=(n-1)\times g \longrightarrow L=240cm$$

> Largeur du palier :

$$5.8 - 2.4 = 3.4 \text{ m}$$
 (2 palier)  $\longrightarrow$  170 cm (un palier de depart et un autre d'arrivee)

> Inclinaison de la paillasse :

$$tg(\alpha) = \frac{n \times h}{L} \longrightarrow tg(\alpha) = 0.63 \longrightarrow \alpha = 32.5^{\circ}$$

Détermination de l'épaisseur de la paillasse :

En assimilant la paillasse à une dalle appuyée sur deux cotés. D'où:

$$e = Lmax(\frac{1}{30}; \frac{1}{20})$$
 avec Lmax = 480cm

donc 
$$\longrightarrow$$
 e= (15; 22.5)  $\longrightarrow$  e=18cm

#### II.2.3. Balcon:

#### II.2.3.1. Introduction:

Les balcons sont des dalles pleines qui sont supposées être des plaques horizontales minces en béton armé, dont l'épaisseur est relativement faible par rapport aux autres dimensions.

#### II.2.3.2. Hypothèse de calcul:

- Le balcon est une dalle pleine sollicitée en flexion simple.
- La fissuration est considérée comme préjudiciable.
- Le calcul se fait pour une bande de un mètre linéaire.

Les panneaux de la dalle pleine sont calculés comme une section rectangulaire à la flexion simple sous l'effet de :

- la charge permanente G.
- la charge d'exploitation Q.

Le pré dimensionnement du balcon consiste à déterminer l'épaisseur de dalle : Toutes les dalles utilisées comme balcon sont appuyées sur un seul appuis ( console )

 $e \ge \frac{L_x}{20}$  avec  $L_x$ : la petite portée de la dalle = 100cm

 $e \ge 5cm \implies e=12cm$ 

#### II.2.4. L'acrotere:

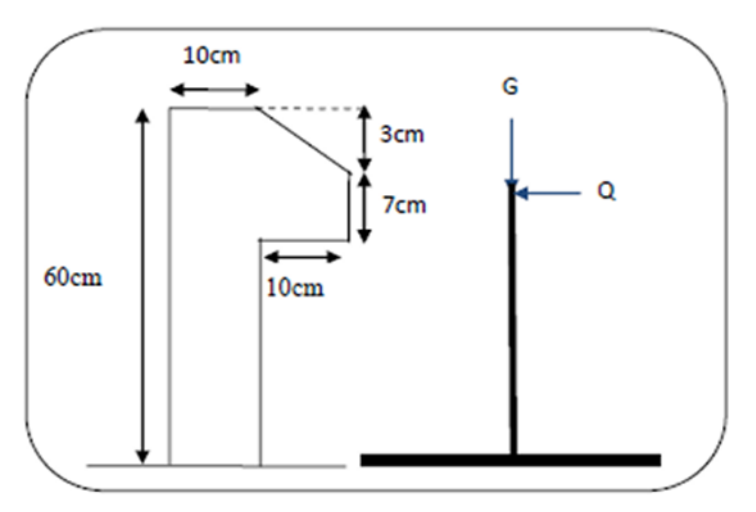


Figure II. 2. Schéma de l'acrotére

#### Les charges:

- G1 : poids de L'acrotère par mètre linéaire
- $G1 = 0.0685 \times 2500 \times 1 = 171.25 \text{daN}$
- G2 : poids de mortier de crépissage par mètre linéaire
- $G2 = 1 \times (0.01 \times 0.6)$ . 2000 = 12 KN/ml
- Le poids propre G = G1 + G2 = 171.25 + 12 = 183.25 daN/ml

G = 183.25 daN/ml

Les Surcharge d'exploitation :

D'après D.T.R.B.C.2.2 : « "Q" Force horizontal solliciter l'acrotère due à la main courante est 100 daN/m. Q×1m=1 daN/ml (Pour une terrasse inaccessible) ».

Q = 100 daN/ml

#### II.2.5. Les voiles :

Le pré-dimensionnement des voiles se fera selon les prescriptions du RPA 99. Le contreventement mixte, tel que donné dans le RPA 99, est défini par les trois conditions suivantes, qui doivent être respectées :

- ➤ Les voiles de contreventement doivent reprendre au plus 20% des sollicitations dues aux charges verticales ;
- Les charges horizontales sont reprises conjointement par les voiles et portiques proportionnellement à leur rigidité relative ainsi que les sollicitations résultant de leur interaction à tous les niveaux.
- Les portiques doivent reprendre, outre les sollicitations dues aux charges verticales, au moins 25% de l'effort tranchant de l'étage.
- L'épaisseur minimale des voiles doit être e ≥ 15cm, l'épaisseur doit être déterminée en fonction de la hauteur libre d'étage he et des conditions de rigidité.

#### II.2.5.1 Pré dimensionnement du voile

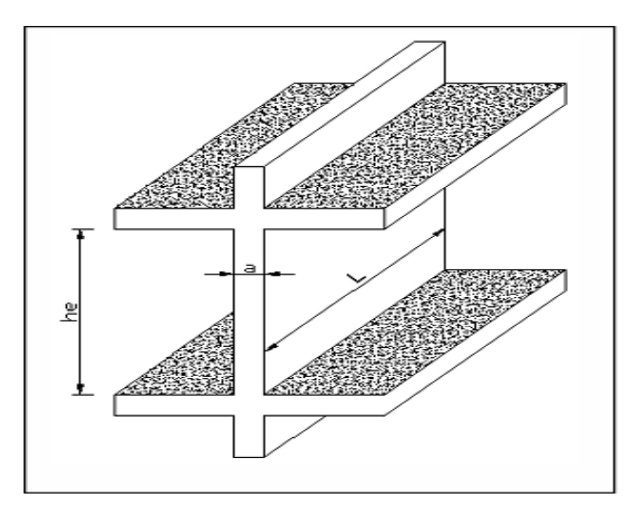


Figure II. 3. Coupe du voile en élévation

D'après le RPA 99 (article 7.7.1):

Les voiles doivent satisfaire la condition :  $L \ge 4a$  avec :

a : L'épaisseur du voile.

L : La longueur du voile.

On a 2 types de voiles :

• Voile1 : (L=2m) he=3,06-0,5=2,56 m ,  $a \ge \frac{he}{20}$ =12,8cm

On prend un voile d'épaisseur **a =15cm** 

• Voiles2 : (L=1,5m)

On prend un voile d'épaisseur **a =15cm** 

#### II.2.6. Les poutres :

#### II.2.6.1. Poutre principales : (Pp)

#### > Condition du porté (BAEL91) :

h= 
$$(\frac{1}{15} \div \frac{1}{10})L_{max}$$
  
avec  $L_{max}$ : la plus grande portée.  $\longrightarrow L_{max} = 580$ cm  
h=  $(38,66 \div 58)$   $\longrightarrow$  on prend  $\mathbf{h} = \mathbf{50cm}$   
b=  $(0,30 \div 0,40)$ h  $\longrightarrow$  b=  $(15 \div 20)$   $\longrightarrow$  on prend  $\mathbf{b} = \mathbf{30cm}$ 

#### **Condition de RPA 99 (art.7.5.1) :**

Donc les conditions de BAEL et RPA sont vérifiées, on prend une section de poutre longitudinales (PP) égale à  $(30 \times 50)$   $cm^2$ 

a) Poutre secondaires: (Ps)

Donc les conditions de BAEL et RPA sont vérifiées, on prend une section de poutre longitudinales (PP) égale à  $(30\times40)$   $cm^2$ 

Poutres	Section (cm <sup>2</sup> )
Principale	30×50
Secondaire	30×40

#### II.2.7. Poteaux:

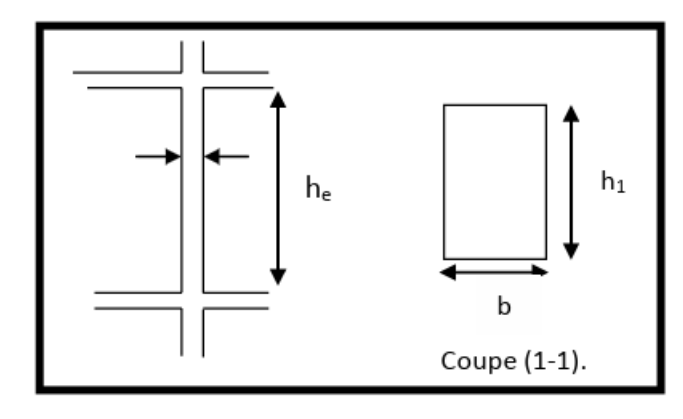


Figure II. 4. Hauteur libre d'étage.

Les poteaux des éléments porteurs verticaux, leur rôle est de reprendre les efforts dus aux surcharge et charge ramenée par les poutres, et ensuite les transmettre à la fondation. Selon les règles (BAEL) on a : pour un élément encastré

$$l_f = 0.7 \times h_0$$

 $l_f$ : la hauteur de flambement du poteau.

 $h_0$ : la hauteur d'étage sans prendre en compte la hauteur h de la section de la poutre

$$h_0 = 3,06-0,5 = 2,56\text{m} \longrightarrow l_f = 0,7 \times 2,56 \longrightarrow l_f = 1,792\text{m}$$
  
Condition: Max  $(\lambda_x; \lambda_y) \le 70$ 

Avec: 
$$\lambda_x = 3.46 \times \frac{l_f}{b_i}$$
,  $\lambda_y = 3.46 \times \frac{l_f}{h_i}$ 

 $b_i$ : parallèle à l'axe x

$$h_i$$
: parallèle à l'axe y

On a:  $\lambda_x = 3.46 \times \frac{l_f}{b_i}$ 

$$b_i \ge \frac{3.46 \times l_f}{70}$$

$$b_i \ge \frac{3.46 \times 179.2}{70}$$

 $b_i \geq 8.85cm$  on prend  $b_i = 60cm$ 

Soit  $b_i = h_i$  donc on adopte une section du poteau (60×60)  $cm^2$ 

➤ Selon les règles (RPA99/v.2003) :

• 
$$Min(b1, h1) \ge 25cm \implies 60 cm \ge 25cm$$
 (c.v)

• Min (b,h) 
$$\geq$$
 he/20  $\Rightarrow$  60 cm  $>$  15.3 cm (c.v)

• 
$$1/4 < b/h < 4$$
  $\implies 0.25 < 1 < 4$  (c.v)

#### II.2.3. Conclusion:

Elements	Section $(cm^2)$
Planchers	20+4
Poutres principales	(30×50)
Poutre secondaire	(30×40)
Poteaux	(60×60)
Voiles	15cm

# II.3. Charges Permanentes Et Surcharges d'exploitation :

#### II.3.1. Les charges :

II.3.1.1. L'acrotère:

Eléments	Charges G (kN/m2)	Charges Q (kN/m2)
acrotère	1,83	1

#### II.3.1.2. Planchers:

# > Plancher terrasse inaccessible :

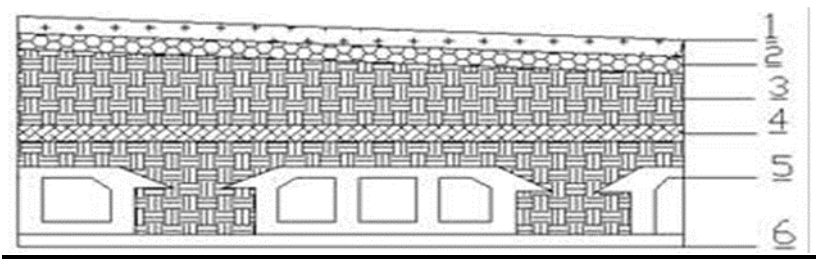


Figure II. 5. Planché terrasse.

N°	Désignation	e (m)	$\gamma (kN/m^3)$	Charge (kN/m²)
1	Gravillon de protection	0.04	20	0.80
2	Etanchéité multicouches	0.02	6	0.12
3	Isolation thermique en Polystyrène	0.04	4	0.16
4	Béton de pente	0.1	22	2.20
5	Plancher à corps creux	16+4	14	2.80
6	Enduit en plâtre	0.02	10	0.2
	·			GT =6.28

Tableau II. 1. Charge due aux planchers terrasse inaccessible

Charges sur plancher .....  $G = 6.28 \text{ KN/m}^2$ Surcharge sur plancher  $Q = 1.00 \text{ KN/m}^2$ 

# Plancher courant à etage courant :

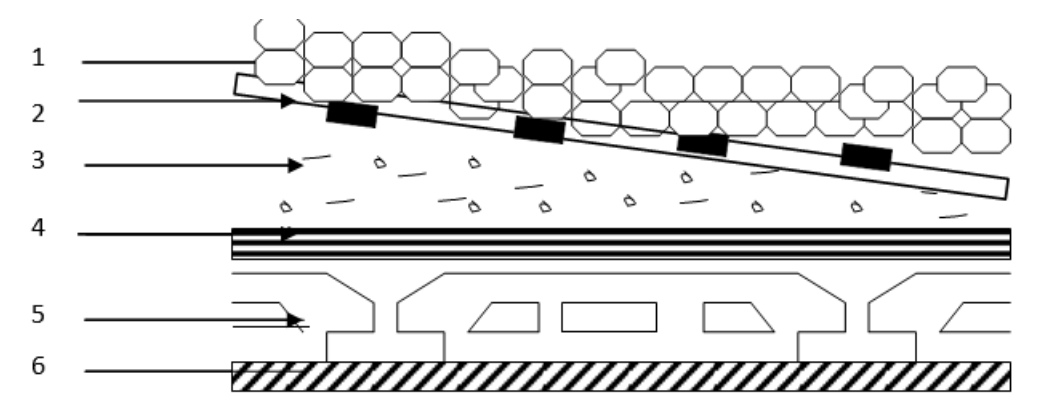


Figure II. 6. Coupe Plancher étage

N	Désignation	e (m)	$\gamma (KN/m^3)$	Charge (kN/m²)
1	Carrelage	0.02	22	0.44
2	Mortier de pose	0.02	20	0.40
3	Isolant phonique	0.02	18	0.36
4	Plancher à corps creux	(16+4)	14	2.80
5	Enduit en plâtre	0.02	10	0.2
6	Cloisons intérieures	/	/	1.00
				GE = 5.20

Tableau II. 2. charge permanente due aux planchers étage courante.

- Charge sur plancher...... $G = 5.20 \text{ KN/m}^2$
- Surcharge sur plancher......Q = 1.50 KN/m<sup>2</sup>

#### **II.3.1.3.** Balcon:

N	Désignation	e (m)	$\gamma (kN/m^3)$	Charges (kN/m²)
1	Revêtement en carrelage	0.02	20	0.4
2	Mortier de pose	0.02	20	0.4
3	Dalle en béton armé	0.14	25	3.5
4	Enduit en ciment	0.02	22	0.44
				G = 4.74

Tableau II. 3. Charge permanente d'un balcon

- Charge sur plancher...... $G = 4.80 \text{ KN/m}^2$
- Surcharge sur plancher.....Q =  $3.50 \text{ KN/m}^2$

#### II.3.1.4. Escaliers:

Pour le paillasse :

N°	Désignations	e (m)	$y (kN/m^3)$	Charges (kN/m²)
1	Carrelage + mortier de pose	0,04	20	0.8
2	Poids des marches	0,17/2	22	1.87
3	Poids de la paillasse	0,18	25	4.5
4	Enduit en plâtre	0,02	10	0.2
				$G_1 = 7.37 \text{ kN/m}^2$

Tableau II. 4. Charge permanente d'une volée (paillasse)

- Charge sur la paillasse......G =  $7.37 \text{ KN/m}^2$
- Surcharge de la paillasse ...... $Q = 2.50 \text{ KN/m}^2$

#### Pour le palier de repos :

N°	Désignations	e (m)	y (kN/m <sup>3</sup> )	Charges (kN/m <sup>2</sup> )
1	Carrelage + mortier de pose	0,04	20	0.8
2	Poids du palier	0,18	25	4.5
3	Enduit en plâtre	0,02	10	0.2
		•		G = 5.50

Tableau II. 5. Charge permanente et d'exploitation d'un palier.

# **II.3.1.5.** Les murs :

Murs intérieur :

N°	Composants	Épaisseur (m)	γ (KN/m³)
1	Enduit en plâtre	0.02	0.20
2	Brique creuse	0.10	0.90
3	Enduit en plâtre	0.02	0.20
	Charge permanente G		1.30 (KN/m²)

Tableau II. 6. Charge permanente d'un mur intérieur

# II.3.1.6. Murs extérieurs :

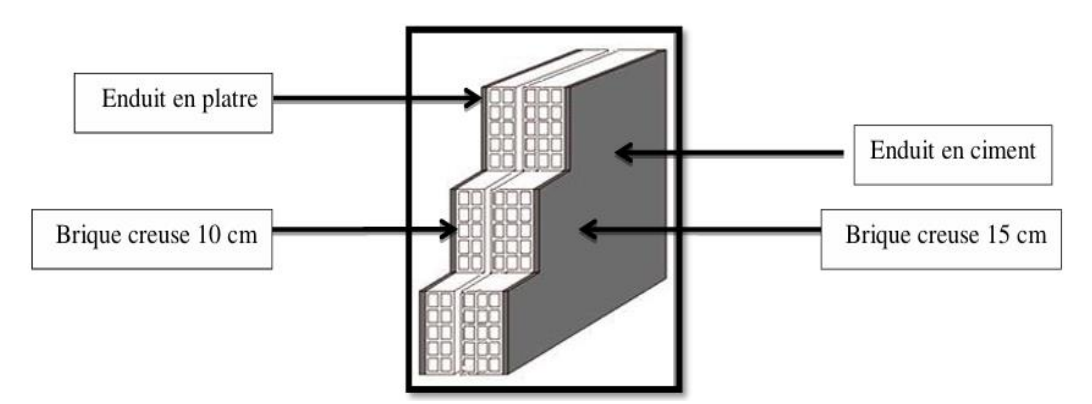


Figure II. 7. schèma du Mur extérieur

N°	Composants	Épaisseur ( m )	$\gamma (KN/m^3)$
1	Enduit en platre	0.02	0.20
2	Brique creuse	0.10	0.90
3	Brique creuse	0.15	1.30
4	Enduit extérieur en ciment	0.02	0.36
Charge permanente G			2.76(KN/m <sup>2</sup> )

Tableau II. 7. Charge permanente d'un mur extérieur.

#### II.3.1.7. Conclusion:

Elements	Charges G (KN/m²)	Charges Q (KN/m²)
L'acrotère	1.83	1
Plancher terrasse inaccessible	6.28	1
Plancher courant	5.20	1.5
L'escalier - Palier -	5.50	2.50
L'escalier - Paillasse -	7.37	2.50
Murs intérieur	1.30	-
.Murs extérieurs	2.76	-

Tableau II. 8. Résume des charges permanentes et d'exploitation.

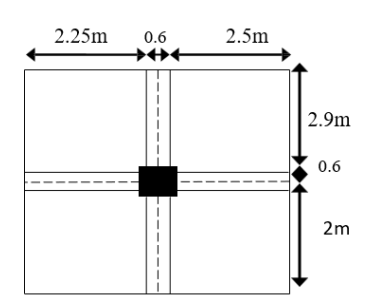
# II.4. Descente des charges :

Dans la descente des charges on étudie 2 cas de poteaux, un poteau d'angle, etun poteau intermédiaire, pour assurer le dimensionnement de la section du poteau le plus sollicité.

- Rôle de descente de charge :
- ✓ Evaluation des charges (G et Q) revenant aux fondations.
- ✓ Vérification de la section des éléments porteurs (poteaux).
  - Poteaux intermédiaire (E-2) :

#### Surface afférente

SG= 
$$(2.25+2.5) \times (2.9+2) = 23.275m^2$$
  
SQ=  $(2.25+0.6+2.5) \times (2.9+0.6+2) = 29.425m^2$   
SQ1=  $29.425 - (0.6 \times 0.6) = 29.0625m^2$ 



Eléments	G(KN)	Q (KN)
Plancher terrasse : 23.275×6.28= 146.167 Poutre principale : 0.30×0.50×25×4.9= 18.375 Poutre secondaire: 0.3×0.4×25×4.75= 14.25	178.792	29.0625×1 = 29.0625
-Venant 1-1 : 178.792 Poteau : (0,60×0,60) ×3.06×25=27.54	206.332	29.0625
-Venant 2-2 : 206.332 Plancher étage courant : 5.2×23.275= 121.03 Poutres.P : 18.375 Poutres.S: 14.25	359.987	29.0625+ (29.0625×1.5) =72.656
-Venant 3-3 : 359.987 Poteau : 27.54	387.527	72.656
-Venant 4-4 : 387.527 Plancher E.C+P.p+P.s: 153.655	541.182	72.656+ (43.593×0.9)
-Venant 5-5 : 541.182 Poteau : 27.54	568.722	111.889
-Venant 6-6 : 568.722 Plancher E.C+P.p+P.s: 153.655	722.377	72.656+ (43.593×0.8)
-Venant 7-7 : 722.377 Poteau :27.54	749.917	107.530
-Venant 8-8 : 749.917 Plancher E.C+P.p+P.s: 153.655	903.572	72.656+ (43.593×0.7)
-Venant 9-9 : 903.572 Poteau : 27.54	931.112	103.171
-Venant 10-10 : 931.112 Plancher E.C+P.p+P : 153.655	1084.767	72.656+ (43.593×0.6)
-Venant 11-11 :1084.767 Poteau: 27.54	1112.307	98.811
-Venant 12-12 1112.307 Plancher E.C+P.p+P.s: 153.655	1265.962	72.656+ (43.593×0.5)
-Venant 13-13 : 1265.962 Poteau : 27.54	1293.502	98.811
-Venant 14-14 : 1293.502 Plancher E.C+P.p+P.s: 153.655	1447.157	72.656+ (43.593×0.5)
-Venant 15-15 : 1447.157 Poteau : 27.54	1474.697	98.811
-Venant 16-16 :1474.697 Plancher E.C+P.p+P.s: 153.655	1628.352	72.656+ (43.593×0.5)

-Venant 17-17 : 1628.352 Poteau : 27.54	1655.892	98.811
Venant 18-18 : 1655.892 Plancher E.C+P.p+P.s: 153.655	1809.547	98.811
-Venant 19-19: 1809.547 Poteau : 27.54	1837.087	98.811

G= 1837.087 KN

Q= 98.811 KN

ELU:

Nu = 1.35 NG + 1.5 NQ

 $Nu = 1.35 \times 1837.087 + 1.5 \times 98.811$ 

Nu = 2628.283 KN

ELS:

$$NS = NG + NQ$$
  $NS = 1935.898 KN$ 

Vérification vis-à-vis du RPA 99 (ART 7.1.3.3):

$$V = \frac{N_d}{B.f_{C28}} \le 0.3$$
 avec :

Nd: désigne l'effort normal de calcul s'exerçant sur une section de béton.

B: est la section brute du poteau.

 $f_{c28}$ : est la résistance caractéristique du béton.

Vérification de la section de poteau: BAEL 91(B.8.4,1)

L'effort normal agissant ultime Nu d'un poteau doit être au plus égal à la valeur suivante :

$$N_U \le N = \alpha \left( \frac{B_r \cdot f_{c28}}{0.9. \gamma_b} + A \frac{f_e}{\gamma_s} \right)$$

Avec:

$$\lambda_x = \sqrt{12} \frac{l_f}{b}$$
;  $\lambda_y = \sqrt{12} \frac{l_f}{h}$  comme  $h = b \longrightarrow \lambda_x = \lambda_y$ 

$$l_f = 0.7L_0 = 0.7 \times 3.06 = 2.14 \text{m}$$
  
 $\lambda = \sqrt{12} \times \frac{2.14}{0.60} = 12.35 \le 50 \implies \alpha = \frac{0.85}{1 + 0.2 \times (\frac{\lambda}{35})^2} = 0.82$ 

 $\alpha$ : est un coefficient en fonction de l'élancement mécanique ».

B<sub>r</sub>: section brute du poteaux

$$B_r = (60-2)(60-2) = 3364 \text{ cm}^2$$

A: est la section d9acier comprimé, elle est prise en compte dans le calcul.

$$A = \max (A_{min}^{BAEL}, A_{min}^{RPA})$$

$$A_{min}^{BAEL} = \max \begin{cases} \frac{8 \times (b+h)}{100} = \frac{8 \times (600+600)}{100} = 96 \text{mm}^2\\ \frac{0.2 \times b \times h}{100} = \frac{0.2 \times 600 \times 600}{100} = 720 \text{mm}^2 \end{cases}$$

$$A_{min}^{BAEL} = 720 \text{mm}^2$$

$$A_{min}^{RPA} = 0.9\%$$
 B (zone IIb et zone III .RPA. Art.7.4.2.1)  
 $A_{min}^{RPA} = 0.9 \times \frac{600 \times 600}{100} = 3240 \text{ mm}^2$ 

Donc  $A = 3240 \text{ mm}^2$ 

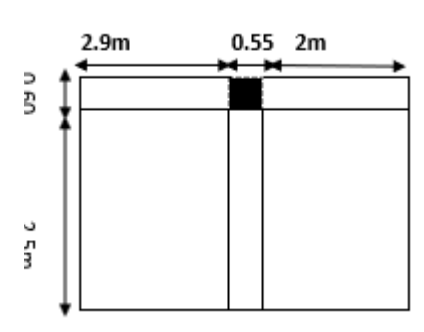
$$\begin{array}{l} AN: \overline{N=} \ 0.82 \ (\frac{3364 \times 10^2 \times 25}{0.9 \times 1.5} + 3240 \ \frac{400}{1.15}) = 6.032 \times \ 10^6 N \\ & = 6.032 \times \ 10^3 KN \\ N_u = 2628.283 \ KN < \overline{N=} \ 5.04 \times \ 10^3 KN ...... (CV) \end{array}$$

Poteaux de rive (F-2)

$$SG = (2.5) \times (2.9+2) = 12.25m^2$$

$$SO=(2.9+0.60+2)\times(2.5+60)=17.05m^2$$

$$SQ1 = 17.05 - (0.60 \times 0.60) = 16.69 \text{m}^2$$



Elémens	G (KN)	Q (KN)
Plancher terrasse :12.25 ×6.28= 76.93  Poutre principale : 0.30×0.50×25×4.9= 18.375  Poutre secondaire: 0.3×0.4×25×2.5= 7.5  Acrotère : 1.83×1.53=2.799	105.604	(16.69×1)= 16.69
-Venant 1-1 : 105.604 Poteau : (0,55×0,55) ×3.06×25=23.141	128.745	16.69
-Venant 2-2 : 128.745 Plancher étage courant : 5.2×12.25=63.7 Poutres.P : 18.375 Poutres.S: 7.5	218.32	16.69+ (16.69×1.5) =41.725
-Venant 3-3 : 218.32 Poteau : 23.141	241.461	41.725
-Venant 4-4 : 241.461 Plancher E.C+P.p+P.s: 89.575	331.036	41.725+ (25.035×0.9)
-Venant 5-5 : 331.036 Poteau : 23.141	354.177	64.256
-Venant 6-6 : 354.177 Plancher E.C+P.p+P.s: 89.575	443.752	41.725+ (25.035×0.8)
-Venant 7-7 : 443.752 Poteau :23.141	466.893	61.753
-Venant 8-8 : 466.893 Plancher E.C+P.p+P.s: 89.575	556.468	41.725+ (25.035×0.7)
-Venant 9-9 : 556.468 Poteau : 23.141	579.609	59.249
-Venant 10-10 : 579.609 Plancher E.C+P.p+P : 89.575	669.184	41.725+ (25.035×0.6)
-Venant 11-11 :669.184 Poteau: 23.141	692.325	56.746
-Venant 12-12 : 692.325 Plancher E.C+P.p+P.s: 89.575	781.9	41.725+ (25.035×0.5)
-Venant 13-13 : 781.9 Poteau : 23.141	805.041	54.021
-Venant 14-14 : 805.041 Plancher E.C+P.p+P.s: 89.575	894.616	41.555+ (24.933×0.5)
-Venant 15-15 : 894.616 Poteau : 23.141	917.757	54.242
-Venant 16-16 :917.757 Plancher E.C+P.p+P.s: 89.575	1007.332	41.725+ (25.035×0.5)

ELU:

$$N_u = 1.35 \text{ NG} + 1.5 \text{ NQ}$$

$$N_u = 1.35 \times 1143.189 + 1.5 \times 54.242$$

$$N_u = 1624.668 \ KN$$

#### ELS:

$$N_S = N_G + N_Q \longrightarrow N_S = 1197.43 \text{ KN}$$

Vérification vis-à-vis du RPA 99 (ART 7.1.3.3):

$$V = \frac{N_d}{B.f_{C28}} \le 0.3$$
 avec :

Nd: désigne l'effort normal de calcul s'exerçant sur une section de béton.

B: est la section brute du poteau.

 $f_{c28}$  : est la résistance caractéristique du béton.

AN: 
$$V = \frac{1197.43 \times 10^3}{600 \times 600 \times 25} = 0.133 > 0.3...$$
CV

Vérification de la section de poteau: BAEL 91(B.8.4,1):

L'effort normal agissant ultime Nu d'un poteau doit être au plus égal à la valeur suivante :

$$N_U \le \overline{N} = \alpha \left( \frac{B_r \cdot f_{c28}}{0.9. Y_h} + A \frac{f_e}{Y_s} \right)$$

Avec:

 $\alpha$ : est un coefficient en fonction de l'élancement mécanique ».

$$\lambda_x = \sqrt{12} \frac{l_f}{b}$$
;  $\lambda_y = \sqrt{12} \frac{l_f}{h}$  comme  $h=b$   $\longrightarrow \lambda_x = \lambda_y$ 

$$l_f = 0.7L_0 = 0.7 \times 3.06 = 2.14$$
m

$$\lambda = \sqrt{12} \times \frac{2.14}{0.55} = 13.47 \le 50$$
  $\Longrightarrow \alpha = \frac{0.85}{1 + 0.2 \times (\frac{\lambda}{35})^2} = 0.82$ 

B<sub>r</sub>: section brute du poteaux

$$B_r = (60-2)(60-2) = 3364 \text{ cm}^2$$

A: est la section d'acier comprimé, elle est prise en compte dans le calcul.

$$A = \max (A_{min}^{BAEL}, A_{min}^{RPA})$$

$$A_{min}^{BAEL} = \max \begin{cases} \frac{8 \times (b+h)}{100} = \frac{8 \times (600+600)}{100} = 96 \text{mm}^2 \\ \\ \frac{0.2 \times b \times h}{100} = \frac{0.2 \times 600 \times 600}{100} = 720 \text{mm}^2 \end{cases}$$

$$A_{min}^{BAEL} = 720 \text{mm}^2$$

$$A_{min}^{RPA} = 0.9\%$$
B (zone IIb et zone III .RPA. Art.7.4.2.1)

$$A_{min}^{RPA} = 0.9 \times \frac{600 \times 600}{100} = 3240 \text{ mm}^2$$

Donc  $A = 3240 \text{ mm}^2$ 

AN: 
$$\overline{N}$$
= 0.82 ( $\frac{3364 \times 10^2 \times 25}{0.9 \times 1.5}$  + 3240  $\frac{400}{1.15}$ ) = 6.03× 10<sup>6</sup>N

$$= 6.03 \times 10^3 \text{KN}$$

$$N_u = 1624.668 \text{ KN} < \overline{N} = 5.03 \times 10^3 \text{KN}.....(CV)$$

Donc on adopte la section du poteaux (60×60)cm



# **Chapitre III**

Etude des éléments secondaires



#### **III.1. Introduction**

L'acrotère est un mur périphérique qu'on réalise en béton armé pour contourner le bâtiment au niveau de la terrasse, son rôle est d'éviter l'infiltration des eaux pluviales entre la forme de pente et le plancher terrasse par un relevé d'étanchéité en paralume. Il sert également à retenir la protection lourde sur l'étanchéité comme il peut servir de garde-corps lors de l'opération d'entretien de la terrasse.

#### III.2. Mode de travail

L'acrotère se compte comme une console encastrée à sa base au niveau du plancher terrasse, elle est soumise à l'action de :

- 1. L'effet normal dû à son poids propre G.
- 2. La surface horizontale due à la main courante.

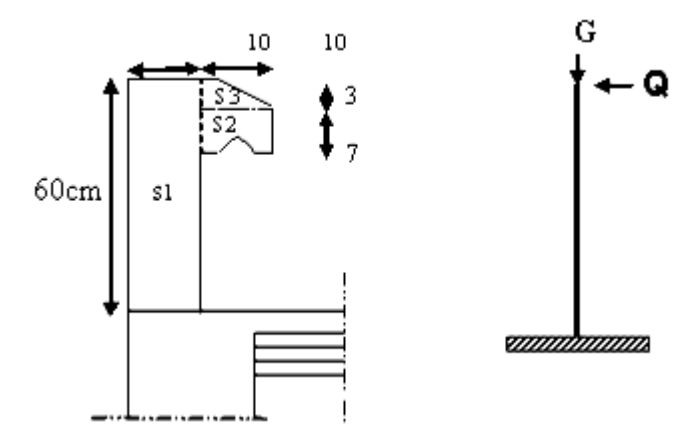


Figure III. 1. schéma isostatique de l'acrotère

Le calcul des armatures se fait sur une bande de 1m de largeur :

#### • Surface:

$$S_1 + S_2 + S_3 = (0.10 \times 0.6 + 0.07 \times 0.1 + 0.1 \times 0.03 \times 0.5)$$

 $S_T = 0.0685 \text{ m}^2$ 

#### • Charge:

G : poids de L'acrotère par mètre linéaire

$$G = 0.0685 \times 2500 \times 1 = 171.25 daN$$

#### • Surcharge:

#### D'après D.T.R.BC.2.2

Q: force horizontale sollicite l'acrotère due à la main courante est 1000 N/m

$$Q \times 1m = 1000 \text{ N}$$

#### D'après RPA 99/ V2003 (art 6.2.3)

Les éléments non structuraux doivent être calculés sous l'action des forces horizontales suivant la formule :

$$F_p = 4 \times A \times C_p \times W_p$$

- A : coefficient d'accélération de zone.
- C<sub>P</sub>: facteur de force horizontale.
- Groupe 2, zone (II.a) donc :
- A = 0.15 selon le tableau 4.1
- C<sub>P</sub>=0.80 élément en console tableau 6.1, donc :
- $F_P=4\times0.15\times0.80\times1712.5 \Rightarrow F_P=822N/ml$ .
- $F= max (Q, F_P) \Rightarrow F= Q= 1000N/ml.$
- G = 183.25 da N/ml Q=100 da N/ml
- $M_Q = 1000x \ 0.6 = 600 \ N.m$
- D'une force tranche  $T\mu = Q = 1000N$

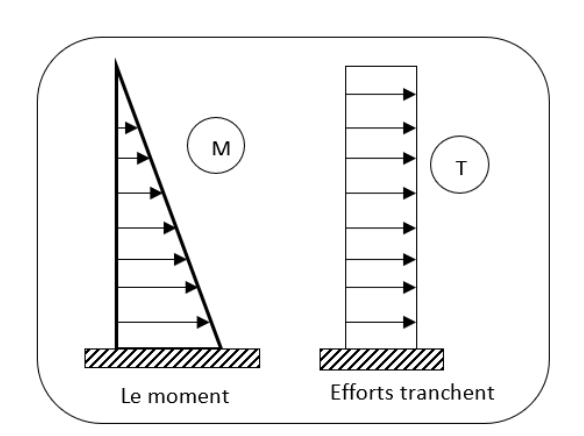


Figure III. 2. schéma isostatique de l'acrotère

#### • Sollicitation:

La section la plus dangereuse se trouve au niveau d'encastrement (à la base).

$$M=q\times h=100\times 0.6=60kg.m$$

$$N_u = G = 183.25 kg$$
.

$$T = q = 100 \text{ kg}.$$

#### • Combinaison d'action :

$$N_u = 1 \times N_g = 1832.5 N/m \ell$$
;

On ne le majore pas puisque le poids du béton travaille dans le sens favorable.

$$M_u = 1.5 M = 1.5 \times 600 = 900 N.m$$

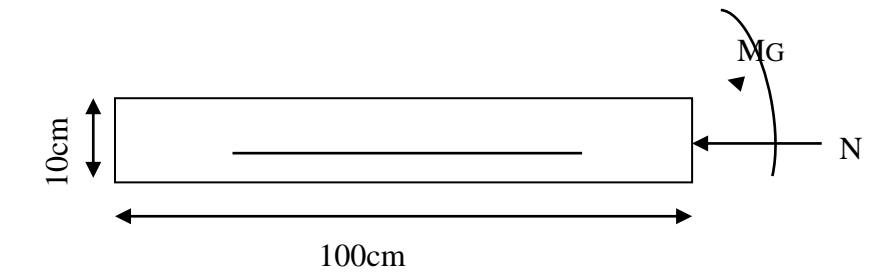
$$T_u \, = 1.5 \; T = 1.5 \times 1000 = 1500 \; N/m\ell$$

#### E.L.S:

$$N^{ser}=N_g=1832.5N~N/m\ell$$

$$M^{ser} = M = 600 \text{ N.m} \ell$$

# III.3. Calcul de ferraillage :



La section de calcul est rectangulaire de largeur b = 100cm et de hauteur h = 10 cm (épaisseur) On adopte un enrobage d'armatures de type exposé aux intempéries

$$e = \frac{M_u}{N_u} = \frac{900}{1832.5} = 0.5m$$

$$\frac{h}{2} = \frac{0.10}{2} = 0.05 \, m \longrightarrow \text{comme e} > \frac{h}{2} \, \text{donc} :$$

Le centre de pression se trouve à l'extérieur de la section.

Donc la section est partiellement comprimée, et par conséquent elle sera calculée en flexion simple soumise à un moment  $M_1$  égale au moment par rapport aux armatures tendues.

## III.3.1. Détermination de la section des armatures à la flexion simple :

$$M_1 = M_u + N_u \left[ \left( \frac{h}{2} - c \right) \right] = 900 + 1832.5 \left( \frac{0.1}{2} - 0.03 \right) = 936.65 N.m$$

$$\mu = \frac{M_1}{\overline{\sigma_b} \cdot b \cdot d^2} = \frac{936.65}{14.2 \times 100 \times (7)^2} = 0.0134 < \mu \ell = 0.392$$

Donc les armatures comprimées ne sont pas nécessaires ( $A_{SC}$ ' = 0).

$$\alpha$$
= 1.25( 1- $\sqrt{1}$  – 2 $\mu$  ) = 0.017

$$\beta$$
= (1-0.4 $\alpha$ ) = 0.993

$$A_1^u = \frac{936.65}{348 \times 0.993 \times 7} = 0.387 cm^2$$

#### III.3.2. Détermination de la section des armatures à la flexion composée :

N est un effort de compression  $A = A_1 - \frac{N}{100\sigma_s}$ ;  $A' = A'_1 = 0$ 

$$A = 0.387 - \frac{1832.5}{100 \times 348} = 0.334 cm^2$$

$M_1(N.m)$	μ	α	β	A <sub>1</sub> <sup>u</sup> (cm <sup>2</sup> )	A(cm <sup>2</sup> )
936.65	0.0134	0.017	0.993	0.387	0.334

Tableau III. 1. Tab Récapitulatif résultats des sollicitations de balcon.

#### **E.L.S**:

#### III.3.3. Détermination de l'excentricité du centre de pression :

$$e = \frac{M_{ser}}{N_{ser}} = \frac{600}{1832.5} = 0.327 \text{ m}$$
 La section est partiellement comprimée.

#### III.3.4. Calcul de la section à la flexion simple :

$$M_1^{ser} = M_{ser} + N_{ser} \left| \left( \frac{h}{2} - c \right) \right| = 600 + 1832.5 \left( \frac{0.1}{2} - 0.03 \right) = 636.65 N.m$$

$$\mu = \frac{M_1}{\overline{\sigma_b} \cdot b \cdot d^2} = \frac{636.65}{348 \times 100 \times (7)^2} = 0.0004 < \mu \ell = 0.392$$

$$\mu = 0.0004$$
  $\longrightarrow$   $\alpha = 0.0005$   $\longrightarrow$   $\beta = 0.99$ 

K = 0.0095

$$\sigma_b = K \times \overline{\sigma_s} = 0.0095 \times 201.63 \longrightarrow \sigma_b = 1.91 MPa$$

Comme : 
$$\sigma_b = 1.91 MPa < \overline{\sigma_b} = 0.6 f_{c28} = 15 MPa$$

$$A_1^{ser} = \frac{M_1^{ser}}{\sigma_{s.\beta.d}} = \frac{636.65}{201.63 \times 0.99 \times 7} = 0.45 cm^2$$

#### III.3.5. Calcul de la section à la flexion composée :

$$A^{ser} = A_1^{ser} - \frac{N^{ser}}{100.\overline{\sigma_s}} \longrightarrow A^{ser} = 0.45 - \frac{1832.5}{100 \times 201.63}$$

$$A^{ser} = 0.36cm^2$$

#### III.3.6. Condition De Non Fragilité : BAEL (A.4.2.1)

$$A^{min} \geq 0.23 \times b \times d \times \frac{f_{t28}}{f_e}$$

$$A^{min} \ge 0.23 \times 100 \times 7 \times \frac{2.1}{400} \longrightarrow A^{min} \ge 0.845 \text{cm}^2$$

$$A = max (A^u; A^{ser}; A^{min}) \longrightarrow A = A^{min} = 0.84 cm^2$$

On adopte :  $A^{\ell} = 5 \ \emptyset \ 6 = 1.41 \ cm^2$ .

#### III.3.7. Vérification De L'effort Tranchant : BAEL (A.5.1,1)

$$\tau_u = \frac{V_U}{b_0 \times d} = \frac{1500}{1000 \times 70} = 0.021 \, MPa.$$

La fissuration et préjudiciable, alors :

$$\overline{\tau_u} = \min(0.10 f_{c28}; 4 MPa) \implies \overline{\tau}_u = 2.50 MPa$$

$$\tau_u = 0.021 MPa \le \overline{\tau_u} = 2.50 MPa$$
 (C.V)

Donc les armatures transversales ne sont pas nécessaires.

# **Armatures De Répartition :**

$$A^{r} = (\frac{1}{4}; \frac{1}{2})A^{l} \longrightarrow A^{r} = (0.35 \div 0.705)$$

On adopte  $A^r = 3 \ \emptyset \ 6 = 0.85 \ cm^2$ 

# **Espacement Des Armatures:**

$$A_{\ell} = 5 \phi 8 \rightarrow S_{t} = \frac{100}{5} = 20 cm$$
  
 $A_{r} = 3 \phi 6 \rightarrow S_{t} = 25 cm$ 

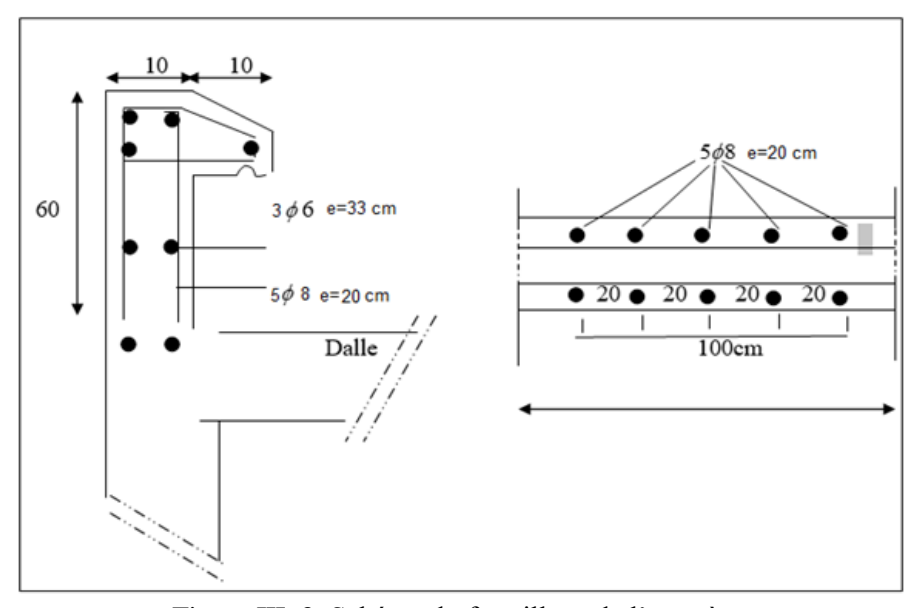


Figure III. 3. Schéma du ferraillage de l'acrotère.

# III.4. Balcon:

1.1 Méthode de calcul:

Le calcul se fait sur une bande de 1m de largeur d'une section rectangulaire travaillant à la flexion simple dû à :

G : Poids propre de la console.

Q : Surcharge d'exploitation.

P : Charge concentrée due au poids des murs extérieurs.

Balcon accessible:

- Charge permanente G = 4800 N/m2.
- Charge d'exploitation Q = 3500 N/m2.

Murs extérieurs:

La hauteur du mur : h = 1.20 m

On prend une bande de 1 m.

• 
$$P = 2760 \times 1.20 \times 1 = 3312 \text{ N}$$

$$M_u = (1.35G+1.5Q)^{\frac{L^2}{2}} + 1.35PL$$

$$M_u = (1.35 \times 4800 + 1.5 \times 3500) \frac{1^2}{2} + 1.35 \times 3312 \times 1$$

 $M_u = 9461.95 \text{ N.m}$ 

$$M_{ser} = (G+Q)^{\frac{L^2}{2}} + PL \longrightarrow M_{ser} = 7462 \text{ N.m}$$

$$Tu = (1,35G + 1,5Q) L + 1,35P$$

$$T_u = (1,35 \times 4800 + 1,5 \times 3500) \times 1 + 1,35 \times 3312$$

$$Tu = 16201.2 \text{ N}$$

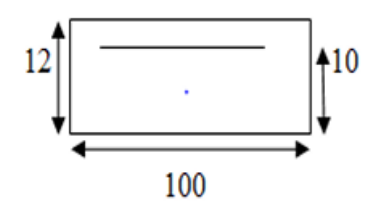
#### III.4.1. Les sollicitations du balcon :

	M (N.m)	Tu (N)
E.L.U	9461.95	16201.2
E.L.S	7462	-

### III.4.2. calcul du ferraillage :

#### > ELU:

On prend C=2cm; d = h-C = 12-2= 10cm



$$\mu = \frac{Mu}{\overline{\sigma_b} \cdot b \cdot d^2} = \frac{9461.95}{14.2 \times 100 \times (10)^2} = 0.066 < \mu \ell = 0.3$$

La section est simplement armée  $\longrightarrow$  A'=0

$$\alpha$$
= 1.25( 1- $\sqrt{1}$  – 2 $\mu$  ) = 0.085

$$\beta$$
= (1-0.4 $\alpha$ ) = 0.966

$$A_1^u = \frac{9461.95}{348 \times 0.996 \times 10} = 2.73 cm^2$$

# $\triangleright$ ELS:

La fissuration est peut nuisible, donc il n'y a aucune vérification concernant  $\sigma$ s. La condition suivante doit etre remplie :

$$\alpha \leq \bar{\alpha} = \frac{\gamma - 1}{2} + \frac{f_{C28}}{100}$$

$$\text{Avec}: \gamma = \frac{M_u}{M_s} \longrightarrow \gamma = \frac{9461.95}{7462} = 1.268$$

$$\longrightarrow \text{AN}: \ \bar{\alpha} = \frac{1.268 - 1}{2} + \frac{25}{100} \longrightarrow \bar{\alpha} = 0.384$$

$$\text{Donc} \qquad \alpha = 0.085 < \bar{\alpha} = 0.384 \dots (CV)$$

#### III.5. Les vérifications :

#### III.5.1. Pourcentage minimal : BAEL 91 (Art. B.5.3.1)

$$A'_{min} \ge 0.0025 \times b \times h = 0.0025 \times 100 \times 10 = 2.5 \text{ cm}^2$$

#### III.5.2. Condition de non fragilité : BAEL 91 (art. A.4.2.1)

$$A_{min} \ge 0.23 \times b \times d \times \frac{f_{t28}}{f_e} = 1.20 \text{ cm}^2$$

$$A_{min} \geq 0.23 \times 100 \times 10 \times \frac{2.1}{400} = 1.2 cm^2$$

#### III.5.3. Vérification de la contrainte de cisaillement BAEL 91 (Art.5.1)

$$\tau_u = \frac{v}{b \times d} = \frac{16201.2}{1000 \times 100} = 0.162 \, MPa$$

Comme la fissuration est peu prejudiciale donc :

$$\tau_u = \min(0.13 f_{c28}; 4\text{MPa})$$

$$\tau_{su} = \min (3.25 ; 4\text{MPa}) = 3.25 \text{ MPa}$$

Comme  $\tau_{su} \ge \tau_u$  — donc les armatures transversales ne sont pas nécessaires

#### • Tableaux récapitulatif :

$\mathbf{A}_{\mathbf{u}}(\mathbf{cm}^2)$	Amin (cm <sup>2</sup> )	A'min(cm <sup>2</sup> )	$A_{max}(cm^2)$	$A_{adpte}$ (cm <sup>2</sup> )
2.73	1.2	2.5	2.73	4HA12 = 4.52

Tableau III. 2. Récapitulatif résultats des sollicitations de balcon.

# III.5.4. Les armatures de répartition :

$$A_r = \frac{A}{4} = \frac{4.52}{4} = 1.13 \text{ cm}^2 \text{ soit } A_r = 2.01 \text{cm}^2 \text{ (4HA8)}$$

# III.5.4.1. Espacement entre les armatures : BAEL 91 (Art. A.8.2, 42)

$$S_t = \frac{100}{4} = 25 \ cm$$

# III.6. Vérification de la flèche : CBA 93 (Art. 6.5.1)

• 
$$\frac{h}{l} \ge \frac{1}{16}$$
  $\longrightarrow$   $\frac{12}{100} = 0.12 > \frac{1}{16} = 0.0625$  .....(CV)  
•  $\frac{A}{b \times d} \le \frac{4.2}{f_e}$   $\longrightarrow$   $\frac{4.52}{100 \times 10} = 0.0045 < \frac{4.2}{400} = 0.0105$  ....(CV)

Les 2 conditions sont vérifiées, donc le calcul de la flèche ne s'impose pas.

# III.7. Présentation du ferraillage :

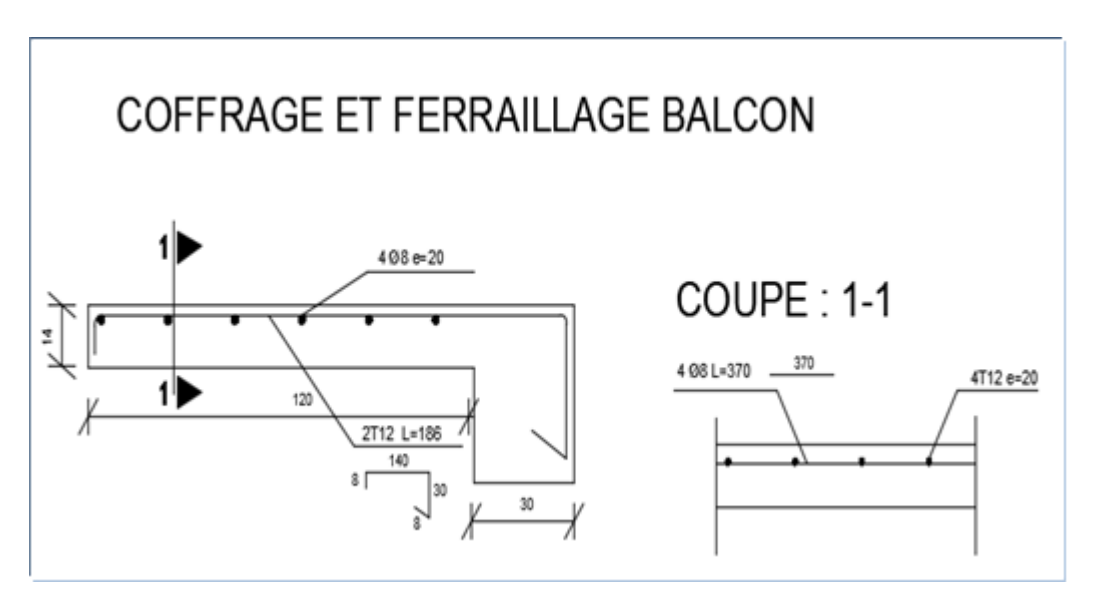


Figure III. 4. schéma de ferraillage du balcon

#### III.8. Escalier:

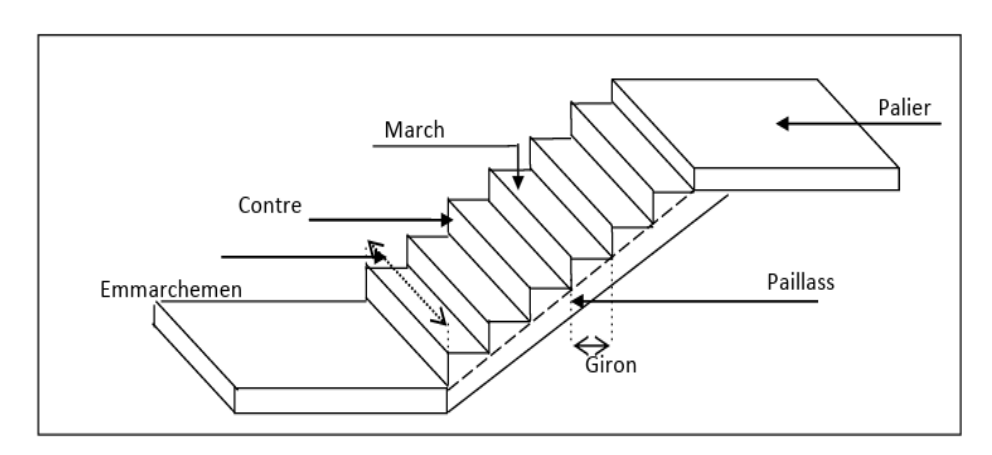
#### III.8.1. Introduction:

L'escalier est une construction architecturale constituée d'une suite régulière de marches. C'est la partie d'ouvrage qui sert à assurer la liaison entre les différents niveaux d'une construction.

# III.8.2. Composition d'un escalier :

Il est caractérisé par :

- La marche : la partie horizontale des gradins constituant l'escalier (M)
- La contre marche : la partie verticale des gradins (CM)
- La montée ou la hauteur d'escalier (H).
- La hauteur d'une marche (h).
- Le giron : la largeur de la marche (g).
- L'emmarchement : la largeur de la volée (b).
- La volée : suite ininterrompue des marches.
- La paillasse : le support des marches.
- Le palier : la partie horizontale entre deux volées.



#### III.8.3. Méthode de calcul:

L'escalier est calculé comme une section rectangulaire soumise à la flexion simple. Le calcul des armatures se fait sur une bande de 1 m de largeur.

#### III.8.4. Combinaisons d'action:

- **4** Paillasse:
- Charge sur la paillasse  $G = 7370 \text{ N/m}^2 => G = 7370 \text{ x } 1 = 7370 \text{ N/ml}$
- Surcharge de la paillasse  $Q = 2500 \text{ N/m}^2 => Q = 2500 \text{ x } 1 = 2500 \text{ N/ml}$

$$P_U = 1.35 \times G + 1.5 \times Q = P_U = 1.35 \times 7370 + 1.5 \times 2500$$

$$P_u = 13699.5 \ N$$

#### > ELS:

$$P_{ser} = G + Q \implies P_{ser} = 7370 + 2500$$

$$P_{ser} = 9870 \; N$$

# ♣ Palier :

- Charge sur la paillasse  $G = 5500 \text{ N/m}^2 => G = 7370 \text{ x } 1 = 7370 \text{ N/ml}$
- Surcharge de la paillasse  $Q = 2500 \text{ N/m}^2 => Q = 2500 \text{ x } 1 = 2500 \text{ N/ml}$

#### > ELU:

$$P_U = 1.35 \times G + 1.5 \times Q = P_U = 1.35 \times 5500 + 1.5 \times 2500$$

$$P_u = 11175 \ N$$

## > ELS:

$$P_{ser} = G + Q \implies P_{ser} = 5500 + 2500$$

$$P_{ser} = 8000 \; N$$

Désignation	Paillasse (N/ml)	Palier (N/ml)
ELU	13699.5	11175
ELS	9870	8000

Figure III. 5. Tab Récapitulatif résultats des combinaisons.

# ♣ Schéma statique :

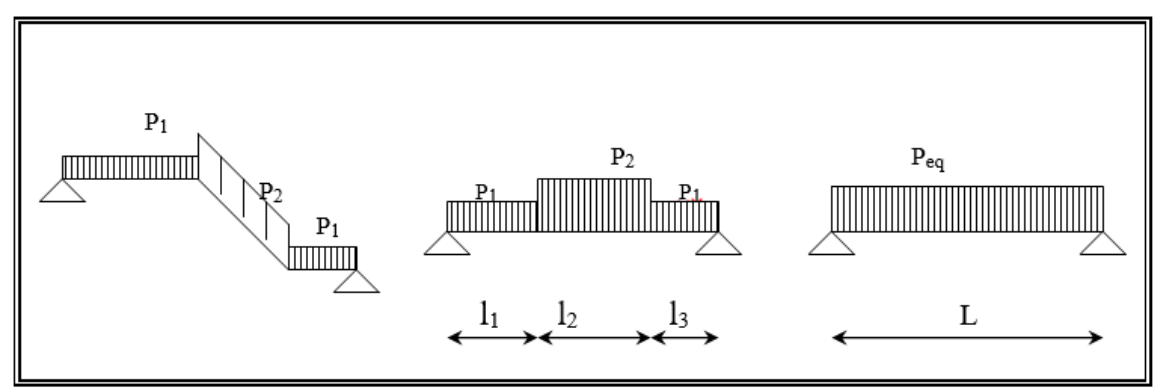


Schéma statique de l'escalier

Avec:  $L_1 = L_3 = 170 \text{ cm}$ ;  $L_2 = 240 \text{ cm}$ 

# III.8.5. Charge équivalente la paillasse :

La charge équivalente :  $P_{eq} = \frac{P_1.L_1 + P_2.L_2 + P_3.L_3}{L_1 + L_2 + L_3}$ 

Le moment isostatique :  $M_0 = \frac{P_{eq} \cdot L^2}{8}$ 

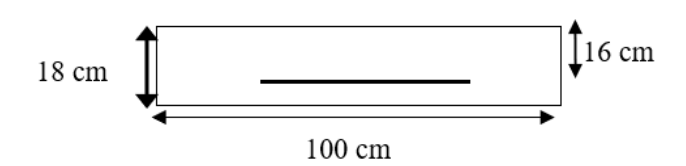
L'effort tranchant :  $T_U = \frac{P_{eq}.L}{2}$ 

Désignation	P <sub>eq</sub> (N/ml)	$M_0$ (N.m)	$M^a = 0.3 \text{ M}_0$	$M^t = 0.85 \text{ M}_0$	$T_{U}(N)$
ELU	12219.62	51383.5	15415.05	43675.97	35436.89
ELS	8773.79	36893.78	11068.13	31359.71	25443.99

Tableau III. 3. Tab Récapitulatif résultats des combinaisons.

## III.8.6. Calcul des armature:

h =18 cm ; b =100 cm ; d = h-c = 16 cm   
 
$$\sigma_s = 348 \ MPa$$
 ;  $\sigma_b = 14.2 \ MPa$ 



ELU: (en traveé)

$$\mu = \frac{Mt}{\overline{\sigma_b} \cdot b \cdot d^2} = \frac{43675.97}{14.2 \times 100 \times (16)^2} = 0.12 < \mu \ell = 0.3$$

La section est simplement armée  $\longrightarrow$  A'=0

$$\alpha = 1.25(1 - \sqrt{1} - 2\mu) = 0.16$$

$$\beta$$
= (1-0.4 $\alpha$ ) = 0.936

$$A_t^u = \frac{43675.97}{348 \times 0.996 \times 16} = 7.87 \ cm^2$$

Sur appuis:

$$\mu = \frac{Ma}{\overline{\sigma_b} \cdot b \cdot d^2} = \frac{15415.05}{14.2 \times 100 \times (16)^2} = 0.042 < \mu \ell = 0.3$$

La section est simplement armée  $\longrightarrow$  A'=0

$$\alpha$$
= 1.25( 1- $\sqrt{1}$  – 2 $\mu$  ) = 0.053

$$\beta$$
= (1-0.4 $\alpha$ ) = 0.978

$$A_a^u = \frac{15415.05}{348\times0.996\times12} = 3.70 \ cm^2$$

Element	M∪ (N.m)	μ	β	$A_{cal}^{u}$ (cm <sup>2</sup> )
Traveé	43675.97	0.12	0.936	7.87
Appuis	15415.05	0.042	0.978	3.70

Tableau III. 4. Tab récapitulatif résultats de l'armature longitudinale.

#### ELS:

- La fissuration est considérée comme peut nuisible, donc il n'y a aucune vérification concernant σs.
- la vérification de la contrainte max du béton n'est pas nécessaire si l'inégalité suivante est vérifiée :

$$\alpha \leq \bar{\alpha} = \frac{\gamma - 1}{2} + \frac{f_{c28}}{100}$$

$$\text{Avec}: \gamma = \frac{M_u}{M_s} \longrightarrow \gamma = \frac{43675.97}{31359.71} = 1.392$$

$$\longrightarrow \text{AN}: \ \bar{\alpha} = \frac{1.392 - 1}{2} + \frac{25}{100} \longrightarrow \bar{\alpha} = 0.946$$

$$\text{Donc} \qquad \alpha = 0.053 < \bar{\alpha} = 0.946 \dots (CV)$$

## III.8.7. Conditions de non fragilité :

$$A_{\min} \ge 0.23 \times b \times d \times \frac{f_{t28}}{f_e}$$

$$\longrightarrow$$
 A<sub>min</sub>  $\ge 0.23 \times 100 \times 16 \times \frac{2.1}{400} = 1.932 \text{cm}^2$ 

# III.8.9. Pourcentage minimal: BAEL 91 (art B.6.4)

$$A_{min}^1 \ge 0.001 \times b \times h$$

$$A_{min}^1 \ge 0.001 \times 100 \times 18 = 1.8 \text{cm}^2$$

Elment	A <sub>cal</sub> (cm <sup>2</sup> )	A <sub>min</sub> (cm <sup>2</sup> )	$A_{min}^1$ (cm <sup>2</sup> )	A <sub>max</sub> (cm <sup>2</sup> )	A <sub>adp</sub> (cm <sup>2</sup> )	Choix
Traveé	7.87	1.932	1.8	7.87	7.87	4HA16
appuis	3.70	1.932	1.8	3.70	3.70	3HA14

Tableau III. 5. Tab Récapitulatif résultats du ferraillage.

## III.8.10. Les armatures de répartition :

En travée : 
$$A_r^t = \frac{A}{4} = \frac{7.87}{4} = 1.96$$
 soit 3HA10 = 2.36 cm<sup>2</sup>

En appuis : 
$$A_r^a = \frac{A}{4} = \frac{3.70}{4} = 0.92$$
 soit 2HA8 = 1.01 cm<sup>2</sup>

#### III.8.11. Vérification de l'effort tranchant :

$$\tau_u = \frac{T_u}{b_0.d} \longrightarrow \tau_u = \frac{35436.89}{100.160} = 2.21 \text{ MPa}$$

Les armatures d'âme sont droites et les fissurations peu nuisibles, donc :

$$\overline{\tau_u} = \min(0.15 f_{c28/\gamma b}; 5 \text{ MPa}) \text{ (BAEL91 art A.5.1,211)}$$

$$\overline{\tau_u} = \min(3.33; 5) \Rightarrow \tau_u = 3.33 \text{ MPa}$$

$$\tau_u = 2.21 MPa < \overline{\tau_u} = 3.33 MPa$$
 (Condition .Vérifier)

#### III.8.13. Vérification de la flèche: BAEL91 (art B.6.5, 1)

$$1/\frac{h_t}{l} > \frac{M_t}{10.M_0} = > \frac{18}{480} = 0.037 < \frac{43675.97}{10.51383.5} = 0.085....(C.N.V).$$

$$2/\frac{A}{b.d} \le \frac{4.2}{f_e} \implies \frac{7.87}{100.16} = 0.004 \le \frac{4.2}{400} = 0.01 \dots (C.V)$$

$$3/\frac{h_t}{l} \ge \frac{1}{16} \implies \frac{18}{480} = 0.037 \le \frac{1}{16} = 0.062 \dots (C.N.V)$$

Comme les conditions (1) et (3) ne sont pas vérifiées, donc on doit vérifier la condition :

$$\Delta f_t = f_{gv} - f_{ji} + f_{pi} - f_{gi} \le f_{adm}$$

Avec : fadm = L / 500, pour les éléments supports reposant sur 2 appuis et la portée L au plus égale à 5 m (BAEL 91(art B.6.5,3)).

#### III.8.14. Calcul de la flèche: BAEL 91 (art B.6.5, 2)

• Position du centre de gravité de la section homogéne :

$$y_G = \frac{b \cdot \frac{h^2}{2} + \eta \cdot A \cdot d}{b \cdot h + \eta \cdot A}$$
 avec  $\eta = \text{coefficient d'équivalence } (\eta = 15)$ 

$$y_G = \frac{100.\frac{18^2}{2} + 15 \times 13.57 \times 16}{100.18 + 15.13.57} \longrightarrow y_G = 9.71 \text{ cm}^2$$

Alors 
$$y'_G = h - y_G \longrightarrow y'_G = 18 - 9.71 = 8.29 \text{ cm}^2$$

$$\delta = d - y_G \longrightarrow \delta = 16 - 9.71 = 6.29 \text{ cm}^2$$

- Moment d'inertie :

$$I = \frac{b \times h^3}{12} + 15A(d - y^2)$$

$$I = \frac{100 \times 18^3}{12} + 15 \times 7.87(16 - 9.71^2)$$

 $I = 39358.56 \text{ cm}^4$ 

Moment d'inertie de la section homogène :

$$I_0 = \frac{b \times h^3}{12} + b \times h \times (\frac{h}{2} - y_G)^2 + \eta \times A \times (d - y_G)^2$$

$$I_0 = \frac{100 \times 18^3}{12} + 100 \times 18 \times (\frac{18}{2} - 9.71)^2 + 15 \times 7.87 \times (16 - 9.71)^2$$

$$I_0 = 54177.92 \text{ cm}^4$$

- Déformations instantanées :

$$\lambda_i = \frac{0.05 f_{t28}}{(2+3\frac{b_0}{h})\rho} \text{ avec } \rho = \frac{A}{d \times b_0} \longrightarrow \rho = \frac{7.87}{16 \times 100} = 0.0049$$

Pour les déformations instantanées :  $b_0=b$  ;  $f_{t28}=2.1$  MPa

$$\lambda_i = \frac{0.05 \times 2.1}{(2+3)0.0049} = 4.28 MPa$$

Déformation de longue durée :

$$\lambda_v = \frac{0.02 f_{t28}}{(2+3\frac{b_0}{b_0})\rho} = \frac{0.02 \times 2.1}{(2+3)0.0049} = 1.71$$

- Calcul du moment fléchissant d'ELS:

$$g = \frac{2(G_{palier} \times L_{palier}) + (G_{paillasse} \times L_{paillasse})}{L_{palier} + L_{paillasse}}$$

g : c'est l'ensemble de la charge permanent

$$g = \frac{2 \times 5.5 \times 1.7 + 7.37 \times 2.4}{3.4 + 2.4} = 6.27 \text{ KN/ml}$$

j : charge permanente sans revêtement.

$$j = \frac{2 \times 5.3 \times 1.7 + 7.17 \times 2.4}{3.4 + 2.4} = 6.07 \text{ KN/ml}$$

$$\rho = g + Q \longrightarrow \rho = 6.27 + 2.5 = 8.77 \text{ KN/ml}$$

$$M_g = \frac{0.85 \times g \times l^2}{8} = \frac{0.85 \times 6.27 \times 5.8^2}{8} = 22.41 \text{ N.m}$$

$$M_j = \frac{0.85 \times j \times l^2}{8} = \frac{0.85 \times 6.39 \times 5.8^2}{8} = 22.83 \text{ N.m}$$

$$M_{\rho} = \frac{0.85 \times \rho \times l^2}{8} = \frac{0.85 \times 8.77 \times 5.8^2}{8} = 31.34 \text{ N}.$$

- Calcul des contraintes des tractions effectives de l'armature:

Pour une section rectangulaire à la flexion simple, on appliquant la formule (61) (P. Charon) pour déterminer les contraintes on a :

$$\rho_1 = 100 \times \rho = 0.49 \longrightarrow \beta_1 = 0.869$$

$$\sigma_s^g = \frac{M_g}{A \times \beta_1 \times d} = \frac{22.41 \times 10^3}{7.87 \times 0.869 \times 16} = 204.79 Mpa$$

$$\sigma_s^j = \frac{M_j}{A \times \beta_1 \times d} = \frac{22.83 \times 10^3}{7.87 \times 0.869 \times 16} = 208.63 Mpa$$

$$\sigma_s^{\rho} = \frac{M_{\rho}}{A \times \beta_1 \times d} = \frac{31.34 \times 10^3}{7.89 \times 0.869 \times 16} = 206.40 Mpa$$

#### Calcul de coefficient « μ »:

$$\mu_g = 1 - \frac{1.75 f_{t28}}{4. \rho_1. \sigma_s^g + f_{t28}} = 1 - \frac{1.75 \times 2.1}{(4 \times 0.84 \times 118.77) + 2.1} = 0.99$$

$$\mu_j = 1 - \frac{1.75 f_{t28}}{4. \rho_1. \sigma_s^j + f_{t28}} = 1 - \frac{1.75 \times 2.1}{(4 \times 0.84 \times 121) + 2.1} = 0.991$$

$$\mu_g = 1 - \frac{1.75 f_{t28}}{4. \rho_1. \sigma_s^{\rho} + f_{t28}} = 1 - \frac{1.75 \times 2.1}{(4 \times 0.84 \times 166.1) + 2.1} = 0.993$$

#### - Moment d'inertie fictifs:

$$I_{fv}^g = 1.1 \frac{I_0}{1 + \lambda_v \times \mu_g} = 1.1 \frac{57560.65}{1 + (1.1 \times 0.99)} = 31817.44 cm^4$$

$$I_{fi}^g = 1.1 \frac{I_0}{1 + \lambda_i \times \mu_g} = 1.1 \frac{57560.65}{1 + (2.5 \times 0.99)} = 18220.63 cm^4$$

$$I_{fv}^{j} = 1.1 \frac{I_0}{1 + \lambda_v \times \mu_j} = 1.1 \frac{57560.65}{1 + (1 \times 0.991)} = 31801.46 cm^4$$

$$I_{fv}^{j} = 1.1 \frac{I_0}{1 + \lambda_i \times \mu_{\rho}} = 1.1 \frac{57560.65}{1 + (1 \times 0.993)} = 31769.55 cm^4$$

#### - Calcul de la fléche:

On a: 
$$E_{ij} = 32164.2 \text{ Mpa}$$

$$E_{vj} = 10818.87 \text{ Mpa}$$

$$f_v^g = \frac{M_g. L^2}{10. E_v. I_{fv}^g} = \frac{22.41 \times 10^3 \times 580^2}{10 \times 10818.87 \times 31817.44} = 2.19cm$$

$$f_i^g = \frac{M_g. L^2}{10. E_v. I_{fI}^g} = \frac{22.41 \times 10^3 \times 580^2}{10 \times 10818.87 \times 18220.63} = 3.82 cm$$

$$f_v^j = \frac{M_j.L^2}{10.E_v.I_{fv}^j} = \frac{22.83 \times 10^3 \times 580^2}{10 \times 10818.87 \times 31801.46} = 2.19cm$$

$$f_v^{\rho} = \frac{M_{\rho}.L^2}{10.E_v.I_{fv}^{\rho}} = \frac{31.34 \times 10^3 \times 580^2}{10 \times 10818.87 \times 31769.55} = 3.06cm$$

$$\Delta_{ft} = f_v^g - f_i^j + f_i^p - f_i^g < f_{adm}$$

$$2.19 - 2.19 + 3.82 - 3.06 = 0.76 \ cm \ < f_{adm} = 0.5 + \frac{580}{1000} = 1.08 \ cm$$

Alors la condition de flèche est vérifiée.

#### • Présentation du ferraillage de l'escalier :

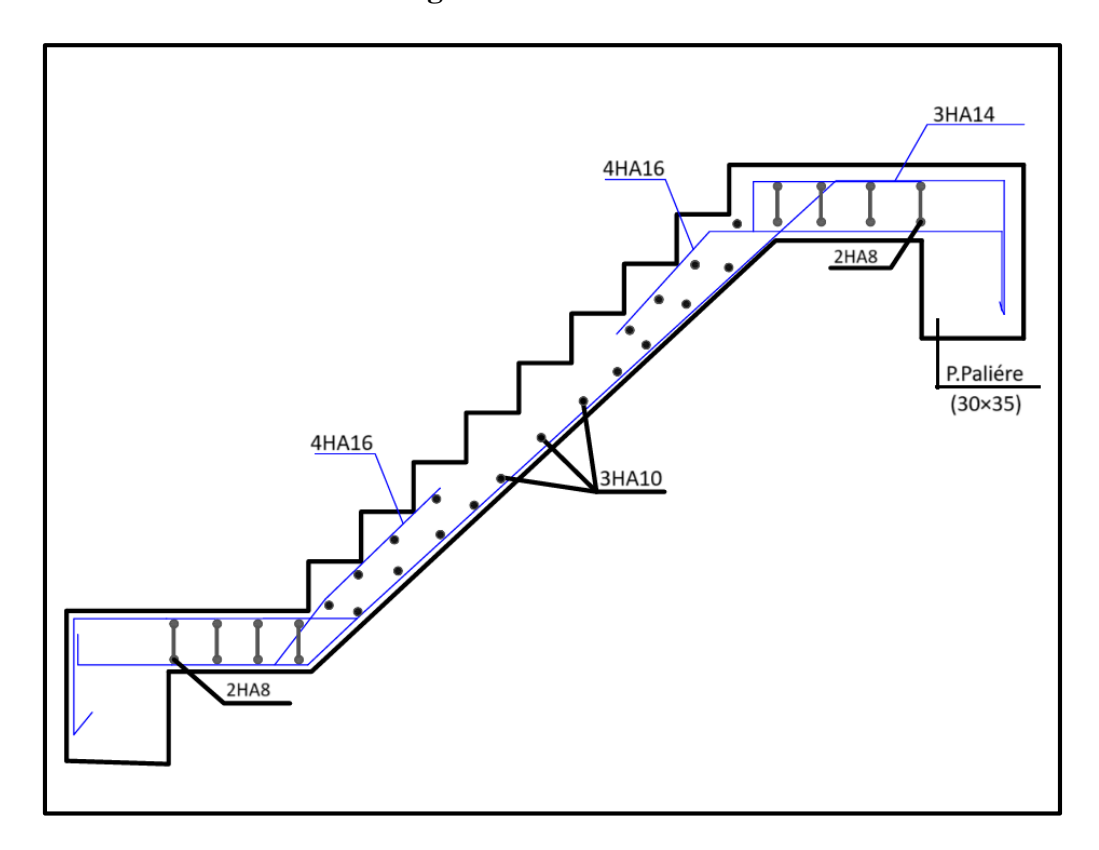


Figure III. 6. Schéma du ferraillage des escaliers.

# III.9. La poutre palière :

#### III.9.1. Pré-dimensionnement :

La poutre palière est dimensionnée d'après les formules empiriques données par le BAEL et vérifié en considérant le RAP 99/version 2003.

**Selon le BAEL 91** A partir de la condition du flèche. La hauteur 'h' de la poutre palière doit être :

$$\frac{L}{15} \le h \le \frac{L}{10} \iff \frac{450}{15} \le h \le \frac{450}{10}$$

 $30 \le h \le 45$  donc on prend **h**= **35 cm** 

La largeur b de la poutre palière doit être :

$$0.4h \le b \le 0.8h \leftrightarrow 16 \le b \le 32$$
 on prend b= 30cm

#### Condition de RPA 99 (art.7.5.1):

$$b \ge 20 \text{ cm} \longrightarrow b=30 \text{ cm}...$$
 CV

$$h/b < 4 \longrightarrow 1.33 < 4$$
.....CV

Donc on choisie une section de la poutre palière (30×35) cm<sup>2</sup>

#### Les charges:

• Poids propre de la poutre :

$$g = b. h. \gamma = g = 0.35 \times 0.30 \times 25 = 2.62 KN$$

• La réaction d'escalier ou niveau du palier :

$$P = P_{eq} \times \frac{L}{2} = 12.21 \times \frac{4.8}{2} = 29.3 \text{ KN/m} \ell$$

• La surcharge:

$$q = Q \times \frac{L}{2} = 2.5 \times \frac{4.8}{2} = 6 \text{ KN/m} \ell$$

• Poids du mur :

$$g_m=2.76 \times \left(\frac{3.06}{2} - 0.4\right) = 3.11 \text{ KN/m}\ell$$

#### III.9.2. Calcul de la poutre à la flexion:

#### > Combinaisons d'actions :

ELU	Pu	1.35(g + P + gm) + 1.5q	56.8 (KN.m)
ELS	Pser	(g + P + gm)+q	41.41 (KN.m)

Tableau III. 6. Récapitulatif résultats des combinaisons.

#### III.9.3. Les sollicitations:

	$\mathbf{M0} = \frac{Pl^2}{8} \left( \mathbf{KN.m} \right)$	Ma=0.3M0	Mt=0.85M0	$Tu = \frac{Pl}{2}$
E.L.U	109.58	49.07	93.15	136.32
E.L.S	119.26	35.77	101.37	99.38

Tableau III. 7. Récapitulatif résultats des combinaisons.

#### III.9.4. Calcul de ferraillage:

#### > ELU:

# L'enrobage:

$$\implies$$
 C = 3cm  $\implies$  d = h -3= $\implies$  d= 35-3= 32 cm.

$$\bullet \quad \mu = \frac{M_u}{\sigma_b.b.d^2}$$

•  $\mu < \mu_l = 0.392 \implies Ac = 0 \implies$  Donc les armatures comprimées ne sont pas nécessaires

• 
$$\alpha = 1.25(1 - \sqrt{1} - 2\mu)$$

$$\bullet \quad \beta = (1 - 0.4\alpha)$$

$$\bullet \quad A_u = \frac{M_u}{\sigma_s \cdot \beta \cdot d}$$

	Ми	μ	α	β	$A_{cal}$
Travée	139.04	0.23	0.33	0.87	1.97
Appui	49.07	0.081	0.11	0.96	3.96

Tableau III. 8. Récapitulatif résultats de l'armature longitudinale.

#### > ELS:

- La fissuration est peu nuisible  $\Rightarrow$  Il n'y a aucune vérification concernent  $\sigma$ s.
- La vérification de la contrainte max du béton n'est pas nécessaire si l'inégalité suivante est: :  $\alpha < \bar{\alpha} = \frac{\gamma 1}{2} + \frac{f_{c28}}{100} = \gamma = \frac{M_u}{M_{ser}}$

	Mu	Mser	γ	$fc_{28}$	α	$\bar{\alpha}$	condition
	(KN.m)	(KN.m)					
Travée	139.04	101.37	1.37	25	0.33	0.436	CV
Appuis	49.07	35.77	1.37	25	0.11	0.437	CV

Tableau III. 9. Récapitulatif résultats de la vérification à l'ELS.

#### III.9.5. Condition de non fragilité selon BAEL91 (art A.4.2.1) page 22:

$$A'_{min} \ge 0.23 \times b \times d \times \frac{f_{t28}}{f_e} = A'_{min} \ge 0.23 \times 30 \times 37 \times \frac{2.1}{400} = 1.34 cm^2$$

#### III.9.6. Pourcentage minimal CBA93 article (B.6.4):

$$Amin'' \ge 0.001 \times b \times h = Amin'' \ge 0.001 \times 30 \times 40 = 1.2cm^2$$

$$Amin = max (A min'; Amin'') = A min' = 1.34 cm^2$$

	$A_{cal}(cm^2)$	$A'_{min}$ (cm <sup>2</sup> )	$A_{min}$ "(cm <sup>2</sup> )	$A_{\text{max}}(\text{cm}^2)$	$A_{adopt}(cm^2)$
Travée	1.97	1.34	1.2	1.97	4HA8=2.01
Appuis	3.96	1.34	1.2	3.96	4HA12=4.52

Tableau III. 10. Récapitulatif résultats du ferraillage.

# III.9.7. Vérification de l'effort tranchant: BAEL 91 (A.5.1)

• 
$$\tau_u = \frac{T_u}{b_0 d} = \frac{136.32 \times 10^3}{300 \times 370} = 1.22 \text{ Mpa}$$

• les fissurations peu nuisibles, donc:

$$\overline{\tau_u} = min\left[0.20 \frac{f_{c28}}{\gamma_b}; 5Mpa\right] = min\left[0.20 \frac{25}{1.5}; 5Mpa\right] = min[3; 33; 5] = 3.33Mpa$$

Alors: 1.22 < 3.33 Mpa(CV)

#### III.9.8. Les armatures transversales:RPA 99/version2003(7.5.2.2)

#### • Zone nodale:

 $St=min (h/4;12Ø_1) = min (10;36) = 10cm$ 

$$At = 0.003$$
.  $St.b = >> At = 0.003$ . 10.  $30=0.9$ cm<sup>2</sup>

 $\Rightarrow$  On adopte  $2\emptyset8 = 1.01$ cm<sup>2</sup>

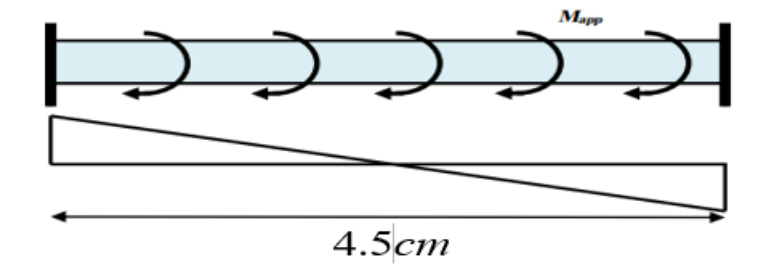
#### • Zone courante:

$$S \le \frac{h}{2} = \gg S \le \frac{40}{2} = \gg S = 20cm$$

$$At = 0.003$$
. St. b=>>  $At = 0.003$ . 20.  $30=1.8$ cm<sup>2</sup>

=>> 0n adopte 2Ø12 = 2.26cm<sup>2</sup>

#### III.9.9. Calcul de la poutre palière à la torsion:



La torsion de la poutre palière est provoquée par la flexion de l'escalier:

$$Tu = Ma$$
 (escalier) = 15.41 KN.m

Le moment de torsion maximale:

Mtor = Ma 
$$\times \frac{L}{2}$$
 = 15.41 $\times \frac{5.8}{2}$  = 44.68 KN. m

#### III.9.10. Vérification de béton:

# III.9.10.1. Contrainte tangente due a l'effort tranchant :BAEL91(A.5.4.21)

On remplace la section réelle par une section creuse équivalente dont l'épaisseur de paroi " t'' est égale au t'' du diamètre du plus grand cercle qu'il est possible d'inscrire dans le contour extérieur de la section.

$$\tau_{uv} = \frac{T_u}{2 \times \Omega \times b_0}$$
 formule de "Rausch"

 $T_u = Moment \ de \ torsion \ (T_u = 15.41 \ KN.m) = 15410 \ N.m$ 

$$b_0 = b_t = \frac{b}{6} = \frac{30}{6} = 5cm$$

Ω:aire de contour à mi-épaisseur

$$\Omega = (40-5) (30-5) = 875 \text{ cm}^2$$

$$\tau_{uv} = \frac{15410}{2 \times 875 \times 5} = 1.76 \text{ Mpa}$$

$${\tau_u}^2 + {\tau_{uv}}^2 \le (\bar{\tau}_{ultim})^2 section pleine$$

$$\Rightarrow 1.22^2 + 1.76^2 \le 3.33^2 \Rightarrow 4.58 < 11.09 \dots (CV)$$

#### III.9.11. Les armatures longitudinales :

$$A_l = \frac{\mu.\,M_{tor}}{2.\,\Omega.\,\sigma_s} = \frac{120 \times 15410}{2 \times 875 \times 348} = 3.03cm^2 \gg On \ adopte \ 3HA12 = 3.39cm^2$$

 $\mu$ : Le périmètre du contour d'aire  $\Omega$  de la section efficace.

$$\mu = 2[(b - b_t) + (h - b_t)]$$
$$= 2[(30 - 5) + (40 - 5)] = 120 \text{ cm}$$

## III.9.12. Les armatures transversales :

$$\frac{A_t}{S_t} = \frac{M_{tor}}{2 \times \Omega \times \sigma_s} = \gg = A_t = \frac{M_{tor} \times S_t}{2 \times \Omega \times \sigma_s} = \gg A_t = \frac{15410 \times 20}{2 \times 875 \times 348}$$

$$\Rightarrow A_t = 0.50cm^2$$

Soit l'espacement 20 cm en prond  $\Rightarrow A_t = 3\emptyset 8 = 1.51cm^2$ 

On prend les armatures transversales calcul à la flexion.

#### III.9.13. Les armatures totales:

## • Armatures longitudinales:

Nappe supérieure: 
$$A_l^{totale} = A_l^{flexion} + \frac{A_l^{torsion}}{2}$$

	$A_l^{flexion}cm^2$	$A_l^{torsion}cm^2$	$A_l^{totale}cm^2$	$A_l^{adopt}cm^2$
En travée	1.97	3.03	3.48	3HA12=3.59
Sur appui	3.96	3.03	5.47	5HA12=5.65

Tableau III. 11. Récapitulatif résultats du ferraillage.

Nappe inférieure:  $A_l^{totale} = \frac{A_l^{torsion}}{2}$ 

	$A_l^{torsion}cm^2$	$A_l^{totale}cm^2$	$A_l^{adopt}cm^2$
En travée	3.03	1.51	3HA12=3.59
Sur appui	3.03	1.52	3HA12=3.59

#### III.9.14. Armatures transversales:

$$A_t^{totale} = A_t^{flexion} + A_t^{torsion} = 2.26 + 0.51 = 2.77 cm^2 on \ adopte \ 6\emptyset8 = 3.02 cm^2$$

## III.9.15. Vérification de la flèche: BAEL91 (art B.6.5, 1)

• 
$$\frac{h}{l} \ge \frac{1}{16} = \gg \frac{40}{580} \ge \frac{1}{16} = \gg 0.068 > 0.0625 \dots \dots \dots \dots (CV)$$

• 
$$\frac{A}{b.d} \le \frac{4.2}{fe} = \gg \frac{16.08 \times 10^2}{370 \times 300} \le \frac{4.2}{400} = \gg 0.01 \le 0.01 \dots \dots (CV)$$

• 
$$\frac{h}{l} \ge \frac{M_t}{10M_0} = \gg \frac{40}{580} \ge \frac{139.04}{10 \times 163.58} = \gg 0.08 > 0.068...(CV)$$

Les trois conditions sont vérifiées, donc il n'est pas nécessaire de vérifier la flèche.

# III.9.16. Présentation du ferraillage :

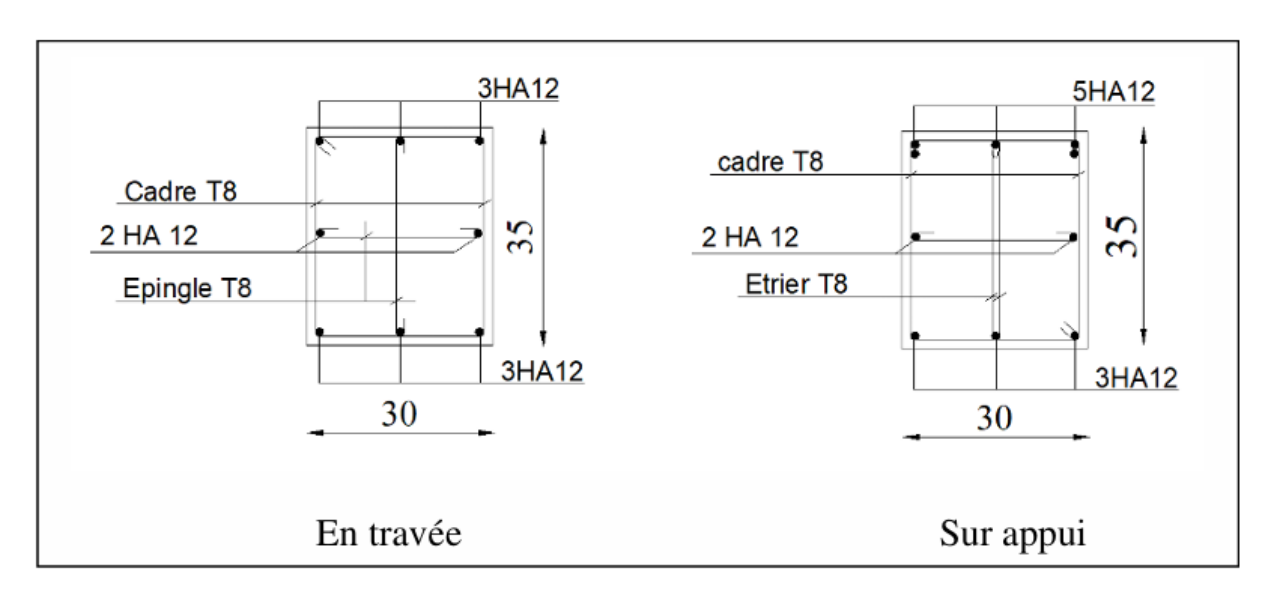


Figure III. 7. Schéma de ferraillage de la poutre palière.



# **Chapitre IV**

Etude des planchers



#### **IV.1. Introduction:**

Les planchers sont des plateformes horizontales qui divisent l'espace de construction en plusieurs niveaux ou étages. Ce sont des ouvrages autoporteurs (de leur poids propre, de charges d'exploitation, des charges climatiques s'il s'agit d'une toiture, et des accessoires).

Pour transmettre les efforts horizontaux aux éléments verticaux, le plancher doit être capable d'agir comme un diaphragme de très grande rigidité.

## **IV.2.** Conception des planchers :

Les planchers ont un rôle très important dans la structure. Ils supportent les charges verticales puis les transmettent aux éléments porteurs, ils isolent aussi les différents étages du point de vue thermique et acoustique, la structure étudiée comporte des planchers à corps creux... Ce type de plancher est constitué par des éléments porteurs (poutrelles), et par des éléments de remplissage (corps creux).

## IV.3 Méthode de calcul des planchers en corps creux :

Plusieurs méthodes peuvent être utilisées dans le calcul des éléments secondaires d'un bâtiment, nous citerons comme exemple:

la méthode forfaitaire et la méthode exacte. Le bon choix de la méthode de calcul permet d'aboutir au bon résultat, c'est-à-dire la détermination de la section nécessaire d'armature pour chaque élément secondaire

- Combinaisons d'actions :
  - Plancher terrasse:

Charges sur plancher ......  $G = 6.28 \text{ KN/m}^2$ 

Surcharge sur plancher......Q =  $1.00 \text{ KN/m}^2$ 

- Plancher étage courant:

Charge sur plancher...... $G = 5.20 \text{ KN/m}^2$ 

Surcharge sur plancher.....Q = 1.50 KN/m<sup>2</sup>

• ELU:

$$P_{\nu}^{ter}$$
 = (1.35G + 1.5Q)×0.65 = 6.48 KN

$$P_{\nu}^{et}$$
 = (1.35G + 1.5Q)×0.65 = 6.02 KN

• ELS:

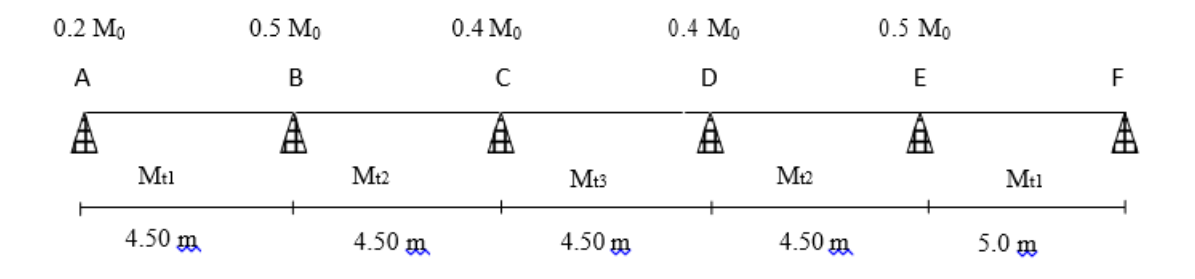
$$P_{ser}^{ter} = (G + Q) \times 0.65 = 4.73 \text{ KN}$$
  
 $P_{ser}^{et} = (G + Q) \times 0.65 = 4.35 \text{ KN}$ 

	P.terrasse (KN)	P.etage (KN)
ELU		
	6.48	6.02
ELS		
	4.73	4.35

- ✓ On utilise la méthode forfaitaire si les conditions suivantes sont satisfaisantes :
- Les charges d'exploitation sont modérées Q≤ 2G
   On a : Q=1.5 KN/m² ; G=5.20 KN/m² → 1.5 < 10.4.....(CV)</li>
- La fissuration n'est pas préjudiciable.....(CV)
- Les moments d'inertie des sections transversales sont les mêmes dans les différentes travées.....(CV)
- Les portées successives sont comprises entre  $(0.8 \le \frac{L_i}{L_{i+1}} \le 1.25)$

$$0.8 \le \frac{5}{4.5} \le 1.25 \longrightarrow 0.8 < 1.11 < 1.25 \dots (CV)$$
  
 $0.8 \le \frac{4.5}{5} \le 1.25 \longrightarrow 0.8 < 0.9 < 1.25 \dots (CV)$ 

- Donc la méthode forfaitaire est applicables .
  - Calcul des planchers à corps creux : TYPE 1 Poutre reposant sur 6 appuis :



Plancher terrasse inaccessible :

( 
$$G = 6.28 \text{ KN/m}^2$$
;  $Q = 1.00 \text{ KN/m}^2$ )

• Calcule du α :

$$\alpha = \frac{Q}{Q+G} \longrightarrow \alpha = \frac{1}{1+6.28} \longrightarrow \alpha = 0.137$$

$$- 1+0.3\alpha = 1.041$$

$$- \frac{1.2+0.3\alpha}{2} = 0.62$$

$$- \frac{1+0.3\alpha}{2} = 0.52$$

• Pour la travée de rive :

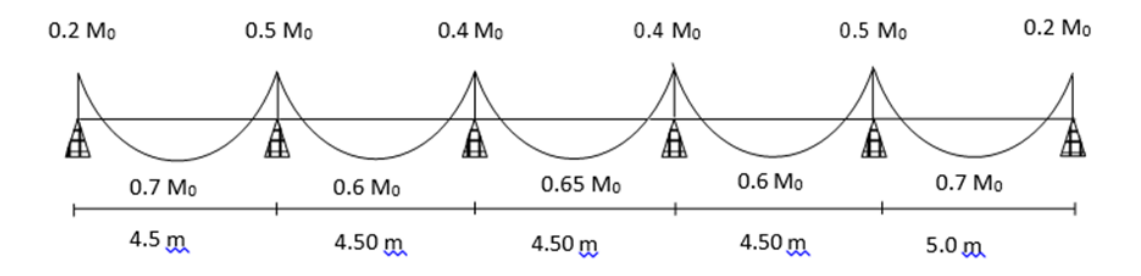
• 
$$M_t + \frac{M_w + M_e}{2} \ge \max (1.05M_0; (1+0.3\alpha)M_0)$$
  
 $M_t + \frac{0.2M_0 + 0.5M_0}{2} \ge \max (1.05M_0; 1.041M_0)$   
 $M_t \ge 1.05M_0 - 0.35M_0 \longrightarrow M_t \ge 0.7M_0$   
•  $M_t \ge \frac{1.2 + 0.3\alpha}{2} M_0 \longrightarrow M_t \ge 0.62M_0$ 

On prend  $M_t = 0.7M_0$ 

Pour la travée intermédiaires :

On prend  $M_t = 0.6M_0$ 

En appliquant la formule du moment isostatique :  $M = \frac{q \cdot l^2}{8}$ 



E.L.U	Les travées		E.L.S	Les tra	avées
	4.5 m	5.0 m		4.5 m	5.0 m
Pu(KN/ml)	6.48	6.48	Pu(KN/ml)	4.73	4.73
M0(KN.m)	16.4	20.25	M0(KN.m)	11.97	14.78

# - Les moments en travée:

Travées(m)	Coefficient	E.LU		E.I	LS
		M0 (KN.m)	Mt (KN.m)	M0 (KN.m)	Mt (KN.m)
4.50	0.7	16.4	11.48	11.97	8.37
4.50	0.6	16.4	9.84	11.97	7.18
4.50	0.65	16.4	10.66	11.97	7.78
4.50	0.6	16.4	9.84	11.97	7.18
5.0	0.7	20.25	14.17	14.78	10.34

# Les moments en appui:

Appuis	Coefficient	E.L.U		E.	L.S
		M0 (KN.m)	Ma (KN.m)	M0 (KN.m)	Ma (KN.m)
A	0.2	16.4	3.28	11.97	2.39
В	0.5	16.4	8.2	11.97	5.98
С	0.4	16.4	6.56	11.97	4.78
D	0.4	16.4	6.56	11.97	4.78
Е	0.5	20.25	10.12	14.78	7.39
F	0.2	20.25	4.05	14.78	2.95

## Les efforts tranchants:

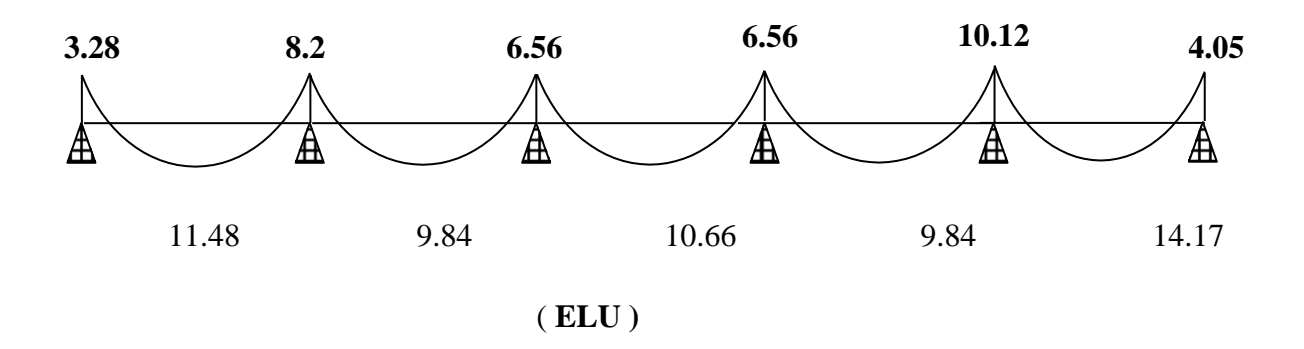
$$\mathrm{T_W} = \frac{P \times l}{2} + \frac{M_e - M_w}{l} \qquad ; \quad \mathrm{T_e} = -\frac{P \times l}{2} + \frac{M_e - M_w}{l}$$

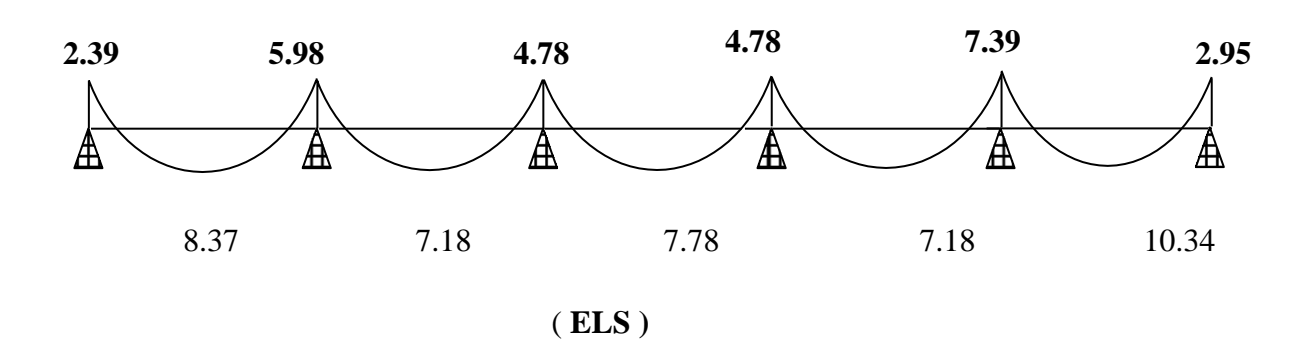
Tw: l'effort tranchant à gauche de la travée.

Te : l'effort tranchant à droite de la travée.

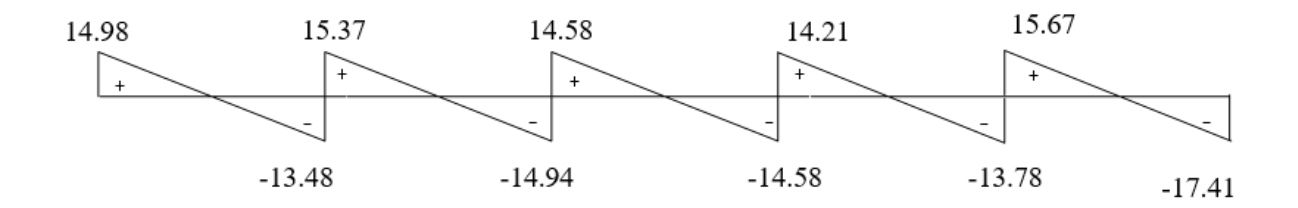
Travée	L (m)	Tw (KN)	Te (KN)
A-B	4.50	15.67	-13.48
В-С	4.50	14.21	-14.94
C-D	4.50	14.58	-14.58
D-E	4.50	15.37	-13.78
E-F	5.0	14.98	-17.41

• Diagramme de M:





• Diagramme de T :



> Plancher étage courant :

$$(G = 5.20 \text{ KN/m}^2; Q = 1.50 \text{ KN/m}^2)$$

• Calcule du α :

$$\alpha = \frac{Q}{Q+G} \longrightarrow \alpha = \frac{1.5}{1.5+5.2} \longrightarrow \alpha = 0.22$$

$$-1+0.3\alpha = 1.066$$

$$-\frac{1.2+0.3\alpha}{2} = 0.63$$

$$-\frac{1+0.3\alpha}{2} = 0.53$$

• Pour la travée de rive :

• 
$$M_t + \frac{M_w + M_e}{2} \ge \max (1.05M_0; (1+0.3\alpha)M_0)$$

$$M_t + \frac{0.2M_0 + 0.5M_0}{2} \ge \max (1.05M_0; 1.066M_0)$$

$$M_t \ge 1.066M_0 - 0.35M_0 \longrightarrow M_t \ge 0.71M_0$$
•  $M_t \ge \frac{1.2 + 0.3\alpha}{2} M_0 \longrightarrow M_t \ge 0.63M_0$ 
On prend  $M_t = 0.71M_0$ 

• Pour la travée intermédiaires :

• 
$$M_t + \frac{M_w + M_e}{2} \ge \max (1.05M_0; (1+0.3\alpha)M_0)$$

$$M_t + \frac{0.5M_0 + 0.4M_0}{2} \ge \max (1.05M_0; 1.066M_0)$$

$$M_t \ge 1.05M_0 - 0.45M_{\overline{0}} \longrightarrow M_t \ge 0.61M_0$$
•  $M_t \ge \frac{1+0.3\alpha}{2}M_0 \longrightarrow M_t \ge 0.52M_0$ 

On prend  $M_t = 0.61M_0$ 

E.L.U	Les travées		E.L.S	Les tra	nvées
	4.5 m	5.0 m		4.5 m	5.0 m
Pu(KN/ml)	6.02	6.02	Ps(KN/ml)	4.35	4.35
M0(KN.m)	15.23	18.81	M0(KN.m)	11.01	13.59

# - Les moments en travée:

Travées(m)	Coefficient	E.LU		E.LS	
		M0 (KN.m)	Mt (KN.m)	M0 (KN.m)	Mt (KN.m)
4.50	0.71	15.23	10.81	11.01	7.81
4.50	0.61	15.23	9.29	11.01	6.71
4.50	0.65	15.23	9.89	11.01	7.16
4.50	0.61	15.23	9.29	11.01	6.71
5.0	0.71	18.81	13.35	13.59	9.64

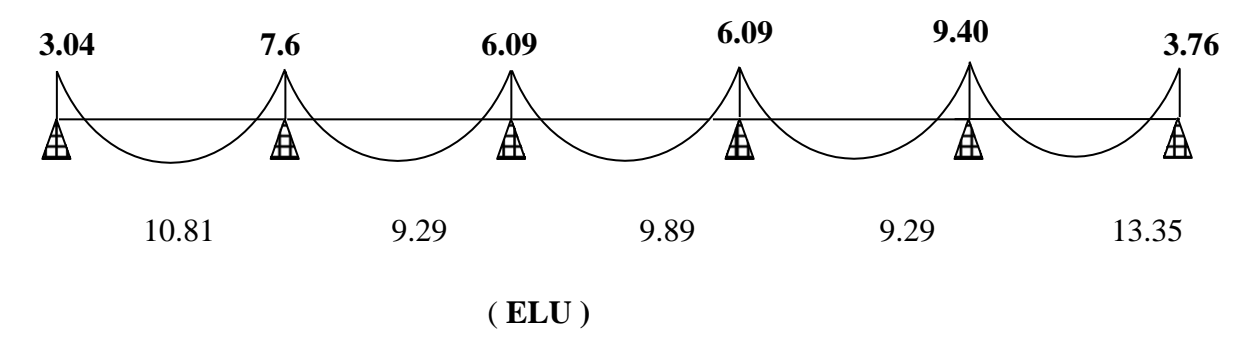
# - Les moments en appui:

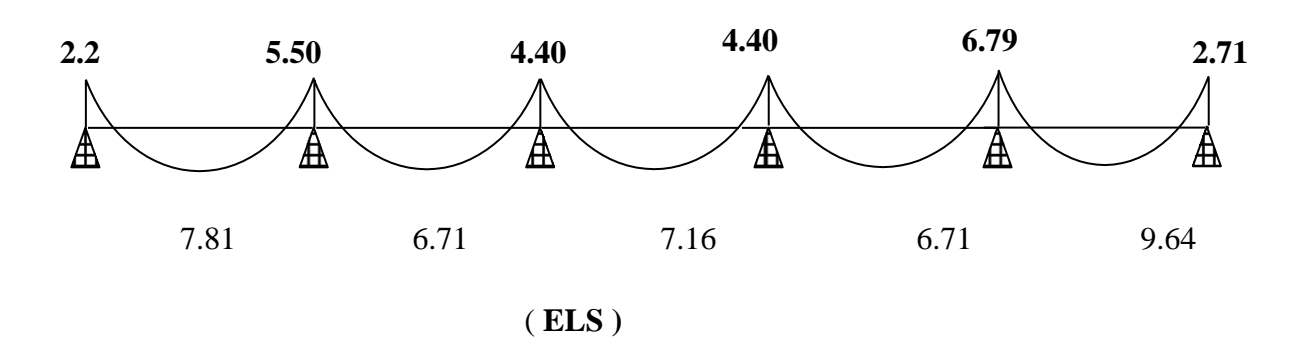
Appuis	Coefficient	E.L.U		E.L	S
		M0 (KN.m)	Ma (KN.m)	M0 (KN.m)	Ma (KN.m)
A	0.2	15.23	3.04	11.01	2.2
В	0.5	15.23	7.6	11.01	5.5
С	0.4	15.23	6.09	11.01	4.4
D	0.4	15.23	6.09	11.01	4.4
Е	0.5	18.81	9.4	13.59	6.79
F	0.2	18.81	3.76	13.59	2.71

# - Les efforts tranchants:

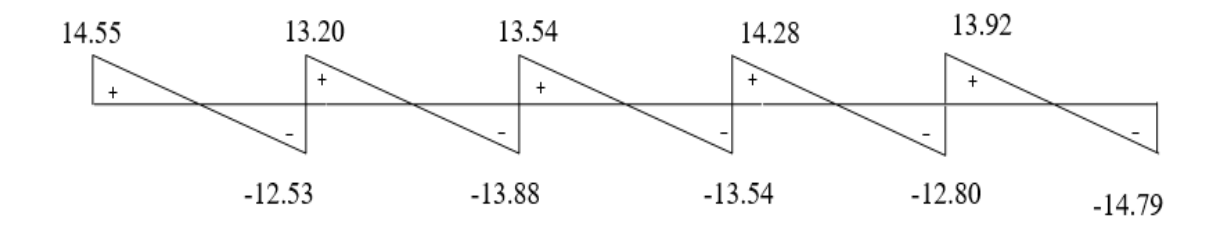
Travée	L (m)	Tw (KN)	Te (KN)
A-B	4.50	14.55	-12.53
В-С	4.50	13.20	-13.88
C-D	4.50	13.54	-13.54
D-E	4.50	14.28	-12.80
E-F	5.0	13.92	-14.79

# • Diagramme de M:





# • Diagramme de T :



# > Plancher terrasse inaccessible :

	<i>M</i> <sup>max</sup> ( <b>KN.m</b> ) t	<i>M</i> <sup>max</sup> ( <b>KN.m</b> ) <i>a</i>	Tmax (KN)
E.L.U	14.17	10.12	17.41
E.L.S	10.34	7.39	

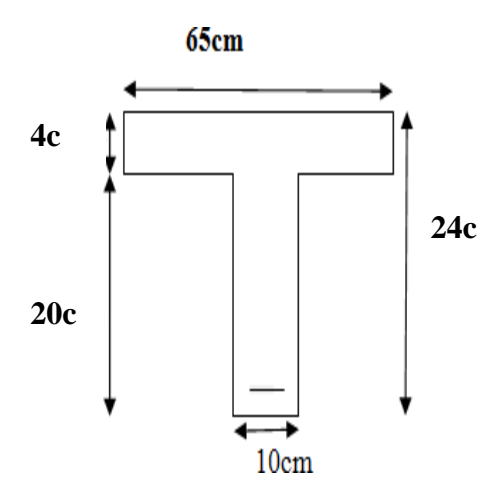
# > Plancher étage courant :

	<i>M</i> <sup>max</sup> ( <b>KN.m</b> ) t	<i>M</i> <sup>max</sup> ( <b>KN.m</b> ) <i>a</i>	Tmax (KN)
E.L.U	13.35	9.4	14.79
E.L.S	9.64	6.79	

# IV.4. Calcul du ferraillage:

## a) Plancher terrasse inaccessible :

- b=65cm
- h=24cm
- $b_0 = 10 \text{cm}$
- $h_0=4$ cm
- $b_1 = 27,5$ cm
- d=22cm



## IV.4.1. Calcul des armatures longitudinales:

- En travée:

$$M_{\text{table}} = \sigma_b \times b \times h_0 (d - \frac{h_0}{2})$$

$$M_{table} = 14.2 \times 650 \times 40(0.22 - 0.02) \longrightarrow M_{table} = 73840 \text{ N.m}$$

$$M_{table} = 73.840 \text{ KN.m}$$

Comme 
$$M_t^{max} = 14.17 KN. m < M_{table} = 73.840 KN. m$$

la section en "T" sera calculée comme une section rectangulaire de largeur b×h.

$$\mu = \frac{M_t^{max}}{\overline{\sigma_b} \times b \times d^2} \longrightarrow \mu = \frac{14.17 \times 10^6}{14.2 \times 650 \times 220^2} \longrightarrow \mu = 0.03 < \mu_l = 0.3$$

La section est simplement armée A'=0

$$\alpha$$
= 1.25( 1- $\sqrt{1}$  – 2 $\mu$  ) = 0.038

$$\beta$$
= (1-0.4 $\alpha$ ) = 0.984

$$A_u^t = \frac{14.17 \times 10^3}{348 \times 0.984 \times 22} = 1.88cm^2$$

#### Sur appuis:

Le moment sur appuis est négatif donc le béton de la dalle se trouve dans la partie tendue, alors nous considérons une section rectangulaire de largeur  $b_0 = 10$  cm.

$$\mu = \frac{\mathit{M}_a^{max}}{\overline{\mathit{o}_b} \times b \times d^2} \longrightarrow \mu = \frac{10.12 \times 10^6}{14.2 \times 100 \times 220^2} \longrightarrow$$

 $\mu = 0.147 < \mu_l = 0.3$  La section est simplement armée A'=0

$$\alpha$$
= 1.25( 1- $\sqrt{1}$  – 2 $\mu$  ) = 0.12

$$\beta$$
= (1-0.4 $\alpha$ ) = 0.952

$$A_u^a = \frac{10.12 \times 10^3}{348 \times 0.952 \times 22} = 1.38cm^2$$

Elément	Mmax (KN.m)	b0 (cm)	μ	$\mu_l$	а	β	Acalcu (cm <sup>2</sup> )
Travée	14.17	65	0.03	0.392	0,038	0,984	1.88
Appui	10.12	10	0.147	0.392	0,12	0,952	1.38

# IV.4.2. Conditions de non fragilité :

$$A_{min} \geq 0.23 \times b \times \ d \times \frac{f_{t28}}{f_e}$$

Sur travée :  $A_{min} \ge 0.23 \times 65 \times 22 \times \frac{2.1}{400} = 1.72 cm^2$ 

Sur appuis :  $A_{min} \ge 0.23 \times 10 \times 22 \times \frac{2.1}{400} = 0.26 \text{cm}^2$ 

## IV.4.3. Pourcentage minimal: BAEL 91 (art B.6.4)

$$A_{min}^1 \ge 0.001 \times b \times h$$

- Sur travée :  $A_{min}^1 \ge 0.001 \times 65 \times 18 = 1.17 \text{cm}^2$ - Sur appuis :  $A_{min}^1 \ge 0.001 \times 10 \times 18 = 0.18 \text{cm}^2$ 

 $A = \max(A_{cal}; A_{min}; A_{min}^{1})$ 

Eléments	Acal (cm <sup>2</sup> )	Amin (cm <sup>2</sup> )	A'min (cm²)	Amax(cm <sup>2</sup> )	Aadp(cm <sup>2</sup> )	Choix
Travée	1.88	1.72	1.17	1.88	2.26	2 HA 12
Appui	1.38	0.26	0.18	1.38	1.57	2HA10
**						

#### IV.4.4. Vérification a l'ELS:

Donc

$$\alpha \leq \bar{\alpha} = \frac{\gamma - 1}{2} + \frac{f_{c28}}{100}$$

$$\text{Avec}: \gamma = \frac{M_u}{M_s} \longrightarrow \gamma = \frac{14.17}{10.34} = 1.37$$

$$\text{AN}: \ \bar{\alpha} = \frac{1.37 - 1}{2} + \frac{25}{100} \rightarrow \ \bar{\alpha} = 0.435$$

$$\alpha = 0.038 < \bar{\alpha} = 0.435 \dots (CV)$$

> Vérification de l'effort tranchant :

$$\tau_u = \frac{T_u}{b_0.d} \longrightarrow \tau_u = \frac{17.41 \times 10^3}{100.220} = 0.79 \text{ MPa}$$

Les armatures d'âme sont droites et les fissurations peu nuisibles, donc :

$$\overline{\tau_u} = \min(0.2f_{c28/\gamma b}; 5 \text{ MPa}) \text{ (BAEL91 art A.5.1,211)}$$

$$\overline{\tau_u} = \min(3.33; 5) \Rightarrow \tau_u = 3.33 \text{ MPa}$$

$$\tau_u = 0.79 \text{ MPa} < \overline{\tau_u} = 3.33 \text{ MPa}$$
 (C.V)

➤ Diamètre minimale : BAEL91 (Art A.7.2, 2)

$$\emptyset_t \leq \min(\frac{h_t}{35}; \emptyset_l; \frac{b_0}{10})$$

$$\longrightarrow \emptyset_t \le \min(\frac{240}{35}; 12; \frac{100}{10}) \longrightarrow \emptyset_t \le \min(6.85; 12; 10)$$

$$\emptyset_t \le 6.85$$
 on prend  $\emptyset_t = 6$ mm

Donc on adopte des cadres 6\psi d'o\u00e0 :

At=
$$2\phi6$$
=0.57cm<sup>2</sup> de nuance FeE235

Espacement des cadres : BAEL91 (Art. A.5.1, 22)

$$S_{t1} = min(0.9d; 40cm) = 19.8 cm$$

$$S_{12} = \frac{A_t \cdot f_e}{0.4.b_0} = \frac{0.57.235}{0.4.10} = 33.48 \text{ cm}$$

$$\begin{split} S_{t3} = & \frac{0.9 A_t.f_e}{b_0.\gamma_S(\tau_u - 0.3f_{t28})} = \frac{0.9 \times 0.57 \times 235}{10 \times 1.15 \times (0.79 - 0.3 \times 2.1)} = 65.51 \text{ cm} \\ S_t \leq & \text{min ( } S_{t1} \text{ ; } S_{t2} \text{ ; } S_{t3} \text{ )} = 19.8 \text{ cm} \\ Soit S_t = 15 \text{cm} \end{split}$$

#### b) Plancher étage courant :

	<i>M</i> <sup>max</sup> ( <b>KN.m</b> ) <i>t</i>	<i>M</i> <sup>max</sup> ( <b>KN.m</b> ) <i>a</i>	Tmax (KN)
E.L.U	13.35	9.4	14.79
E.L.S	9.64	6.79	

#### - En travée:

$$M_{\text{table}} = \sigma_b \times b \times h_0 (d - \frac{h_0}{2})$$

$$M_{table} = 14.2 \times 650 \times 40(0.22 - 0.02) \longrightarrow M_{table} = 73840 \text{ N.m}$$

$$M_{table} = 73.84 \text{ KN.m}$$

Comme 
$$M_t^{max} = 13.35 KN. m < M_{table} = 73.84 KN. m$$

la section en "T" sera calculée comme une section rectangulaire de largeur b×h.

$$\mu = \frac{M_t^{max}}{\overline{\sigma_b} \times b \times d^2}$$
  $\mu = \frac{13.35 \times 10^6}{14.2 \times 650 \times 220^2}$   $\mu = 0.029 < \mu_l = 0.3$ 

La section est simplement armée A'=0

$$\alpha$$
= 1.25( 1- $\sqrt{1}$  – 2 $\mu$  ) = 0.036

$$\beta$$
= (1-0.4 $\alpha$ ) = 0.985

$$A_u^t = \frac{13.35 \times 10^3}{348 \times 0.985 \times 22} = 1.77 cm^2$$

## - Sur appuis:

Le moment sur appuis est négatif donc le béton de la dalle se trouve dans la partie tendue, alors nous considérons une section rectangulaire de largeur  $b_0 = 10$  cm.

$$\mu = \frac{M_a^{max}}{\overline{\sigma_b} \times b \times d^2} \longrightarrow \mu = \frac{9.4 \times 10^6}{14.2 \times 100 \times 220^2} \longrightarrow \mu = 0.136 < \mu_l = 0.3$$

La section est simplement armée A'=0

$$\alpha$$
= 1.25( 1- $\sqrt{1}$  – 2 $\mu$  ) = 0.183

$$\beta$$
= (1-0.4 $\alpha$ ) = 0.926

$$A_u^a = \frac{9.4 \times 10^3}{348 \times 0.926 \times 22} = 1.32 cm^2$$

Elément	Mmax (KN.m)	b0 (cm)	μ	$\mu_l$	а	β	Acalcu (cm <sup>2</sup> )
Travée	13.35	65	0.029	0.392	0,036	0,985	1.77
Appui	9.4	10	0.136	0.392	0,183	0,926	1.32

# Conditions de non fragilité :

$$A_{min} \geq 0.23 \times b \times \ d \times \frac{f_{t28}}{f_e}$$

 $\begin{array}{ll} \text{Sur trav\'e}: \ A_{min} \geq 0.23 \times 65 \times 22 \times \frac{2.1}{400} = 1.72 cm^2 \\ \text{Sur appuis}: \ A_{min} \geq 0.23 \times 10 \times 22 \times \frac{2.1}{400} = 0.26 cm^2 \end{array}$ 

➤ Pourcentage minimal : BAEL 91 (art B.6.4)

 $A_{min}^1 \ge 0.001 \times b \times h$ 

- Sur travée :  $A_{min}^1 \ge 0.001 \times 65 \times 18 = 1.17 \text{cm}^2$ - Sur appuis :  $A_{min}^1 \ge 0.001 \times 10 \times 18 = 0.18 \text{cm}^2$ 

 $A = \max(A_{cal}; A_{min}; A_{min}^1)$ 

Eléments	Acal (cm <sup>2</sup> )	Amin (cm <sup>2</sup> )	A'min (cm <sup>2</sup> )	Amax(cm <sup>2</sup> )	Aadp(cm <sup>2</sup> )	Choix
Travée	1.77	1.72	1.17	1.77	2.26	2HA12
Appui	1.32	0.26	0.18	1.32	1.57	2HA10

# • Vérification a l'ELS :

$$\alpha \le \bar{\alpha} = \frac{\gamma - 1}{2} + \frac{f_{c28}}{100}$$

$$\text{Avec}: \gamma = \frac{M_u}{M_s} \longrightarrow \gamma = \frac{13.35}{9.64} = 1.38$$

$$\text{AN}: \ \bar{\alpha} = \frac{1.38 - 1}{2} + \frac{25}{100} \to \ \bar{\alpha} = 0.44$$

$$\alpha = 0.038 < \bar{\alpha} = 0.44 \dots (CV)$$

• Vérification de l'effort tranchant :

$$\tau_u = \frac{T_u}{b_0.d} \longrightarrow \tau_u = \frac{14.79 \times 10^3}{100.220} = 0.67 \text{ MPa}$$

Les armatures d'âme sont droites et les fissurations peu nuisibles, donc :

$$\overline{\tau_u} = \min(0.2f_{c28/\gamma b}; 5 \text{ MPa}) \text{ (BAEL91 art A.5.1,211)}$$

$$\overline{\tau_u} = \min(3.33; 5) \Rightarrow \tau_u = 3.33 \text{ MPa}$$

Donc

$$\tau_{\rm u} = 0.67 {\rm MPa} < \overline{\tau_{\it u}} = 3.33 {\rm MPa}$$
 (C.V)

➤ Diamètre minimale : BAEL91 (Art A.7.2, 2)

$$\begin{split} & \emptyset_t \leq \min(\frac{h_t}{35}; \emptyset_l; \frac{b_0}{10}) \longrightarrow \\ & \emptyset_t \leq \min(\frac{240}{35}; 12; \frac{100}{10}) \longrightarrow \emptyset_t \leq \min(6.85; 12; 10) \\ & \emptyset_t \leq 6.85 \quad \text{on prend} \quad \emptyset_t = 6 \text{mm} \end{split}$$

Donc on adopte des cadres 6φ d'où :

At=2φ6=0.57cm<sup>2</sup> de nuance FeE235

Espacement des cadres : BAEL91 (Art. A.5.1, 22)

$$S_{t1} = min(0.9d; 40cm) = 19.8 cm$$

$$S_{t2} = \frac{A_t \cdot f_e}{0.4 \cdot b_0} = \frac{0.57.235}{0.4.10} = 33.48 \text{ cm}$$

$$S_{t3} = \frac{0.9.A_t.f_e}{b_0.\gamma_s(\tau_u - 0.3f_{t28})} = \frac{0.9 \times 0.57 \times 235}{10 \times 1.15 \times (0.68 - 0.3 \times 2.1)} = 209.66 \text{ cm}$$

$$S_t \le \min (S_{t1}; S_{t2}; S_{t3}) = 19.8 \text{ cm}$$

Soit 
$$S_t = 15cm$$

• Vérification de la flèche : BAEL91 (art B.6.5, 1)

$$1/\frac{h_t}{l} > \frac{M_t}{10.M_0} = > 0.48 > 0.085$$
 .....(C.V).

$$2/\frac{A}{b.d} \le \frac{4.2}{f_e} \implies \frac{2.26}{65.20} = 0.0017 \le \frac{4.2}{400} = 0.01 \dots (C.V)$$

$$3/\frac{h_t}{l} \ge \frac{1}{16} \implies 0.48 \ge \frac{1}{16} = 0.062 \dots (C.V)$$

Influence de l'effort tranchant au voisinage des appuis : BAEL91 (art.A.5.1.31)

a) Sur un appui de rive ou intermédiaire on vérifier que :

On a : 
$$T_u \le 0.264 \times a \times b_0 \times f_{c28}$$

Avec :  $a = 0.9 \times d = 0.9 \times 22 = 19.8 \text{ cm}$ 

$$0.264 \times a \times b_0 \times f_{c28} = 0.264 \times 198 \times 100 \times 25 = 130680 \, N$$

$$T_u = 14790 N$$

$$T_u = 14790 N < 0.264 \times a \times b_0 \times f_{c28} = 130680 N \dots (C.V)$$

b) Au droit d'un appui simple, la section A des armatures longitudinales inférieures doit être telle que l'on ait :

$$A \ge \gamma_s \frac{T_u}{f_e}$$

$$A = 2HA12 = 2.26 \text{ cm}^2 = 226 \text{ mm}^2$$

$$\gamma_s \frac{T_u}{f_e} = 1.15 \frac{14790}{400} = 42.52 \ mm^2$$

$$A = 226 \text{ } mm^2 > \gamma_s \frac{T_u}{f_e} = 42.52 \text{ } mm^2 \dots (C.V)$$

# IV.4.5. Schéma de ferraillage

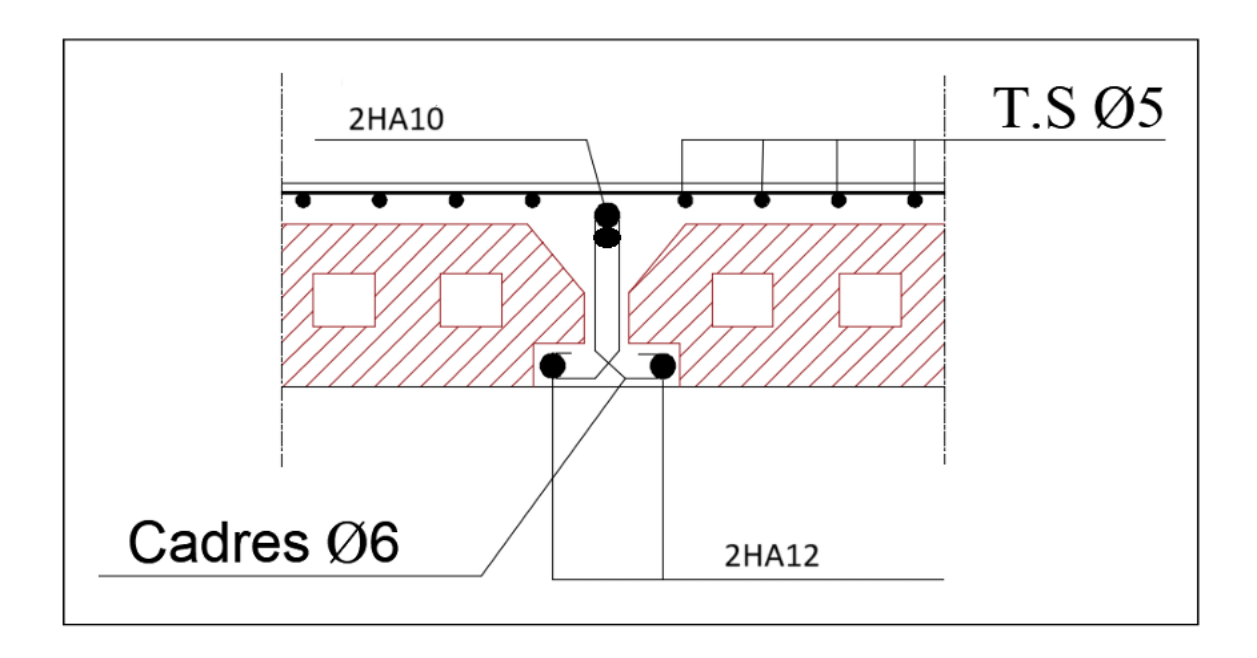


Figure IV. 1. Schéma de ferraillage des poutrelles des planchers à corps creux

# IV.5. Ferraillage de la dalle de compression (Hourdie) : BAEL91 (B.6.8, 423)

La dalle de compression a une épaisseur de 4cm, elle est armée d'un quadrillage de barres dont les dimensions des mailles ne doivent pas dépasser :

- 20 cm pour les armatures perpendiculaires aux nervures.
- 30 cm pour les armatures parallèles aux nervures.
- Fe = 235 MPa (acier rond lisse).
- b : longueur entre axe des nervures

## IV.5.1. Les armatures perpendiculaires aux nervures :

$$A_{\perp} \ge \frac{4.b}{f_e} = \frac{4.65}{235} = 0.65 \ cm^2$$

On choisit  $6\emptyset6 = 1.70 \text{ } cm^2$ 

## IV.5.2. Les armatures parallèles aux nervures :

$$A_{//} = \frac{A_{\perp}}{2} = 0.32 \ cm^2$$

On choisit  $6\emptyset6 = 1.70 \text{ cm}^2$ 

## IV.5.3. Schéma de ferraillage

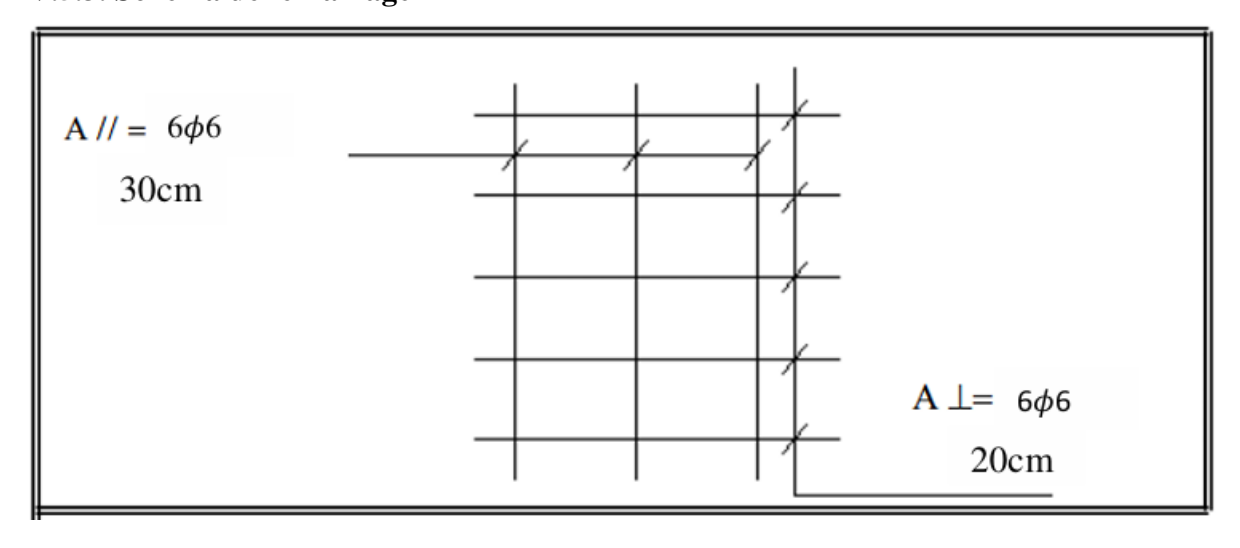


Figure IV. 2. ferraillage de la dalle de compression



# **Chapitre V**

Etude Dynamique



#### **V.1. Introduction:**

La dynamique des structures est un champ d'expertise dont la maîtrise est désormais indispensable pour tout projet de construction. Le développement des structures impose en effet à l'ingénieur civil d'en connaître les principes, tout comme ceux du génie parasismique, dont les effets sont dus principalement à l'effondrement des constructions. Il est donc primordial de prévenir les dommages sismiques graves en construisant des ouvrages capables de résister aux séismes et basés sur les règles parasismiques algériennes RPA 2003.

## V.2. Objectif de l'étude dynamique :

L'objectif initial de l'étude dynamique d'une structure est la détermination de ses caractéristiques dynamiques propres. Ceci est obtenu en considérant son comportement en vibration libre non-amortie. Cela nous permet de calculer les efforts et les déplacements maximums lors d'un séisme.

## V.3. Les méthodes de calcul : RPA 99 (Art. 4.1.1)

Le calcul des forces sismiques peut être mené suivant trois méthodes:

- par la méthode statique équivalente.
- par la méthode d'analyse modale spectrale.
- par la méthode d'analyse dynamique par accélérogrammes

## V.4. Méthode statique équivalente :

#### V.4.1. Définition :

Cette méthode consiste à remplacer l'ensemble des forces réelles dynamiques qui se développent dans la construction par un système de forces fictives dont les effets sont considérés équivalents à ceux de l'action sismique.

#### V.4.2. Conditions d'application de la méthode statique équivalente :

La méthode statique équivalente peut être utilisée dans les conditions suivantes :

- Le bâtiment ou bloc étudié, satisfaisait aux conditions de régularité en plan et en élévation avec une hauteur au plus égale à 65m en zones I et IIa et à 30m en zones IIb et III
- Le bâtiment ou bloc étudié présente une configuration irrégulière tout en respectant, outre les conditions de hauteur énoncées en , les conditions complémentaires suivantes

#### Zone I:

• tous groupes

#### Zone IIa:

- groupe d'usage 3
- groupe d'usage 2, si la hauteur est inférieure ou égale à 7 niveaux ou 23m.
- groupe d'usage 1B, si la hauteur est inférieure ou égale à 5 niveaux ou 17m
- groupe d'usage 1A, si la hauteur est inférieure ou égale à 3 niveaux ou 10m

#### Zone IIb et III:

- groupe d'usage 3 et2, si la hauteur est inférieure ou égale à5 niveaux ou 17m.
- groupe d'usage 1B, si la hauteur est inférieure ou égale à 3 niveaux ou 10m.
- groupe d'usage 1A, si la hauteur est inférieure ou égale à 2 niveaux ou 08m.

# V.5. Les Méthodes Dynamiques :

#### V.5.1. La méthode d'analyse modale spectrale :

La méthode d'analyse modale spectrale peut être utilisée dans tous les cas, et en particulier, dans le cas où la méthode statique équivalente n'est pas permise.

#### V.5.2. La méthode d'analyse dynamique par accélérogrammes :

La méthode d'analyse dynamique par accélérogrammes peut être utilisée par un personnel qualifié, ayant justifié auparavant les choix des séismes de calcul et des lois de comportement utilisées ainsi que la méthode d'interprétation des résultats et les critères de sécurité à satisfaire.

#### V.5.3. Choix de la méthode de calcul

Notre structure ne répond pas aux conditions exigées par le RPA99/version2003 pour pouvoir utiliser la méthode statique équivalente, donc le calcul sismique se fera par la méthode d'analyse modale spectrale.

#### V.5.4. Classification de l'ouvrage :

Selon les RPA99 / Version 2003

- ✓ Notre ouvrage est implanté dans la wilaya de SETIF donc en zone IIa.
- ✓ Notre bâtiment est à usage d'habitation collective donc classé dans le Groupe 2.
- ✓ Selon le rapport géotechnique relatif à notre ouvrage, on est en présence d'un sol meuble de catégorie S3.

## V.6. Méthode d'analyse modale spectrale : (RPA99, version2003 article 4.3)

#### V.6.1. Principe:

Par cette méthode, il est recherché pour chaque mode de vibration, le maximum des effets engendrés dans la structure par les forces sismiques représentées par un spectre de réponse de calcul. Ces effets sont par la suite combinés pour obtenir la réponse de la structure

#### V.6.2. Buts de l'analyse dynamique :

- Détermination des caractéristiques dynamiques propres de la structure.
- Détermination des modes et les périodes propres.
- La masse des planchers est calculée de manière à inclure une partie des surcharges d'exploitation Q ( $\beta = 0,2$ )

## V.6.3. Description du logiciel ROBOT VERSION 2018 :

Le système Robot est un logiciel CAO/DAO destiné à modéliser, analyser et dimensionner les différents types de structures. Robot permet de modéliser les structures, les calculer, de vérifier les résultats obtenus, de dimensionner les éléments spécifiques de la structure. La dernière étape générée par Robot est la création de la documentation écrite et graphique pour la structure calculée.

#### V.6.4. Modélisation:

Nous avons considéré pour notre modélisation, un modèle tridimensionnel encastré à la base, où les masses sont concentrées au niveau des centres de gravité des planchers avec trois (03) ddl (2 translations horizontales et une rotation autour de l'axe vertical)

#### V.6.5. Spectre de réponse de calcul :

Cette analyse compte essentiellement à représenter l'action sismique par un spectre de calcul comme il est indiqué dans l'article ( 4.3.3 du RPA 99 / version 2003 ) :

$$\frac{S_a}{g} = \begin{cases} Cas1: \ 1.25 \ A \ \left(1 + \frac{T}{T_i} \left(2.5 \eta \frac{Q}{R} - 1\right)\right) & Si \quad 0 \le T \le T_i \\ Cas2: \ 2.5 \eta \left(1.25 \ A\right) \frac{Q}{R} & Si \quad T_i \le T \le T_2 \\ Cas3: \ 2.5 \eta \left(1.25 A\right) \frac{Q}{R} \left(\frac{T_2}{T}\right)^{2/3} & Si \quad T_2 \le \ T \le 3.0 \ s \\ Cas4: \ 2.5 \eta \left(1.25 A\right) \frac{Q}{R} \left(\frac{T_2}{3}\right)^{2/3} \left(\frac{3}{T}\right)^{5/3} & Si \quad T \ge 3.0 \ s \end{cases}$$

Avec:

Sa /g: Accélération spectrale

g: accélération de la pesanteur.

A: coefficient d'accélération de zone.

 $\eta$  : facteur de correction d'amortissement (quand l'amortissement est différent de 5%)

$$\eta = \sqrt{\frac{7}{2+\xi}} \geq 7$$

Où  $\xi$  (%) est le pourcentage d'amortissement critique, fonction du matériau constitutif, du type de structure et de l'importance des remplissages.

ξ: est donnée par le tableau 4.2 du RPA99

**R**: coefficient de comportement de la structure donnée par le tableau 4.3 du RPA99, en fonction de système de contreventement.

# V.7. Représentations des résultats de la méthode modale spectrale et interprétations :

On a prit en considération le plan d'architecture et le nombre minimale des voiles dans chaque direction pour choisir une disposition initiale des voiles dans le bâtiment.

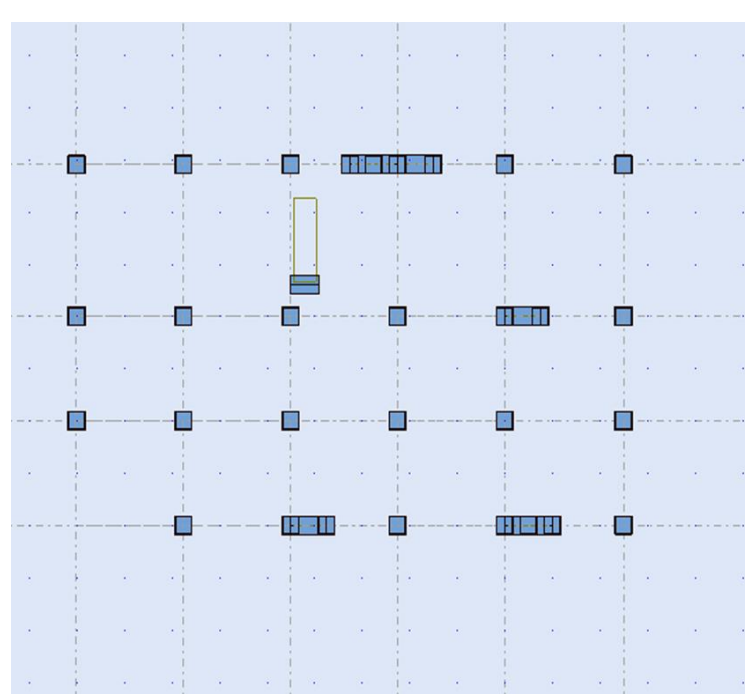


Figure V. 1. Disposition des voiles (1<sup>ére</sup> variante).

Après l'analyse automatique par le logiciel ROBOT, on a tiré les résultats qui sont illustrés dans le tableau ci-dessous

Cas/N	Mode	Fréquence [Hz]	Période [sec]	Masses Cumulées UX [%]	Masses Cumulées UY [%]	Masses Cumulées UZ [%]	Masse Modale UX [%]	Masse Modale UY [%]	Masse Modale UZ [%]	Tot.mas.UX [kg]	Tot.mas.UY [kg]
3/	1	1,53	0,65	0,19	81,48	0,0	0,19	81,48	0,0	3480848,82	3480639,34
3/	2	1,91	0,52	78,98	81,70	0,0	78,79	0,21	0,0	3480848,82	3480639,34
3/	3	1,96	0,51	78,99	81,84	0,0	0,01	0,14	0,0	3480848,82	3480639,34
3/	4	4,61	0,22	79,02	92,97	0,0	0,02	11,13	0,0	3480848,82	3480639,34
3/	5	5,93	0,17	88,35	93,00	0,0	9,33	0,03	0,0	3480848,82	3480639,34
3/	6	5,95	0,17	90,27	93,00	0,0	1,92	0,01	0,0	3480848,82	3480639,34
3/	1	7,88	0,13	90,27	96,23	0,0	0,00	3,23	0,0	3480848,82	3480639,34
3/	8	10,05	0,10	90,29	96,26	0,0	0,01	0,03	0,0	3480848,82	3480639,34
3/	9	10,53	0,09	94,21	96,27	0,0	3,92	0,01	0,0	3480848,82	3480639,34
3/	10	10,77	0,09	94,24	97,72	0,0	0,03	1,45	0,0	3480848,82	3480639,34

Tableau V. 1. Périodes et facteurs de participation massique du modèle

# • Interprétation :

- ✓ Le 1 ème mode de translation à Y-Y (UY=81.48%)
- ✓ Le 2<sup>ème</sup> mode de translation à X-X (UX=78.79%)

- ✓ Le 3 eme mode est mode torsion pure
- ✓ La participation massique dépasse le seuil des 90% à partir du 6<sup>ème</sup> mode selon les deux axes.

# Remarque:

On a diminué la section du poteaux de  $(60\times60)$  a  $(50\times50)$ cm<sup>2</sup>.

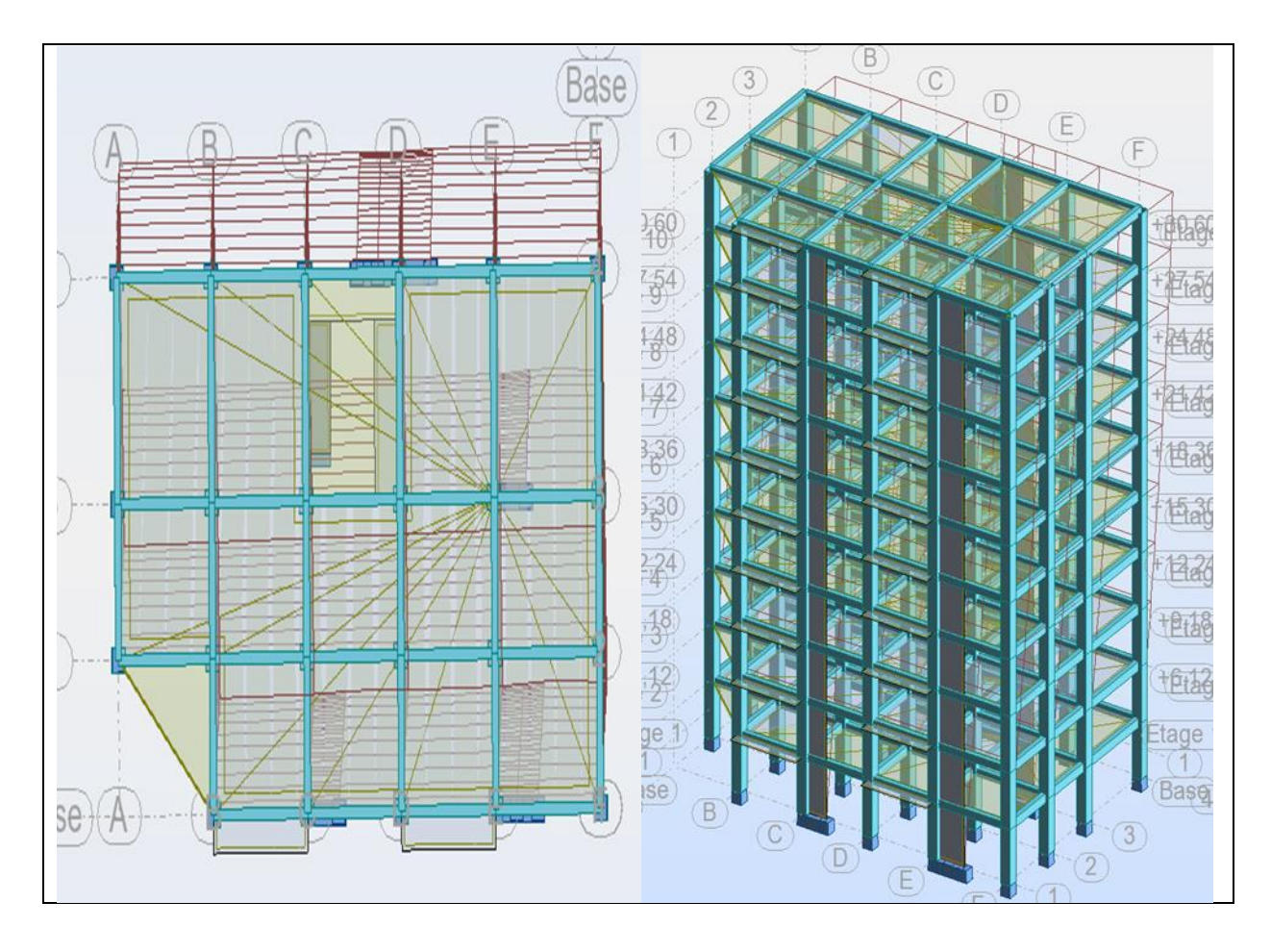


Figure V. 2. Premier mode de vibration Vue 3D et vue en plan (1er variante)

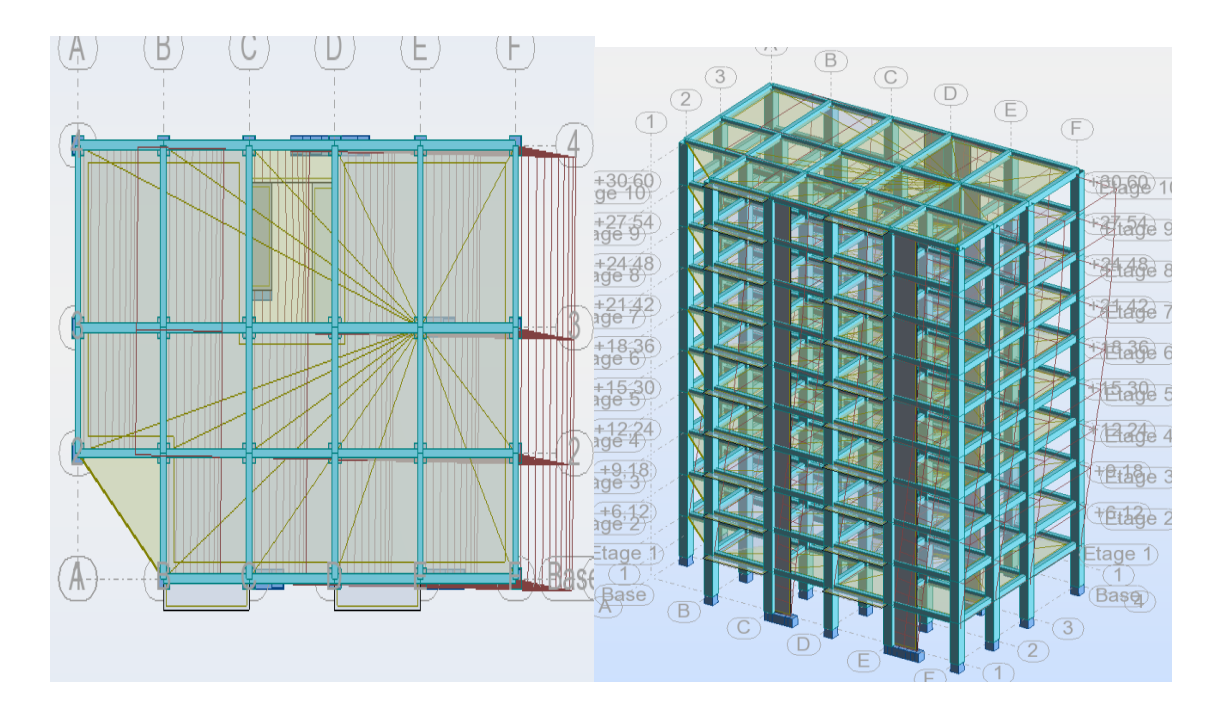


Figure V. 3 Deuxième mode de vibration Vue 3D et vue en plan (1er variante).

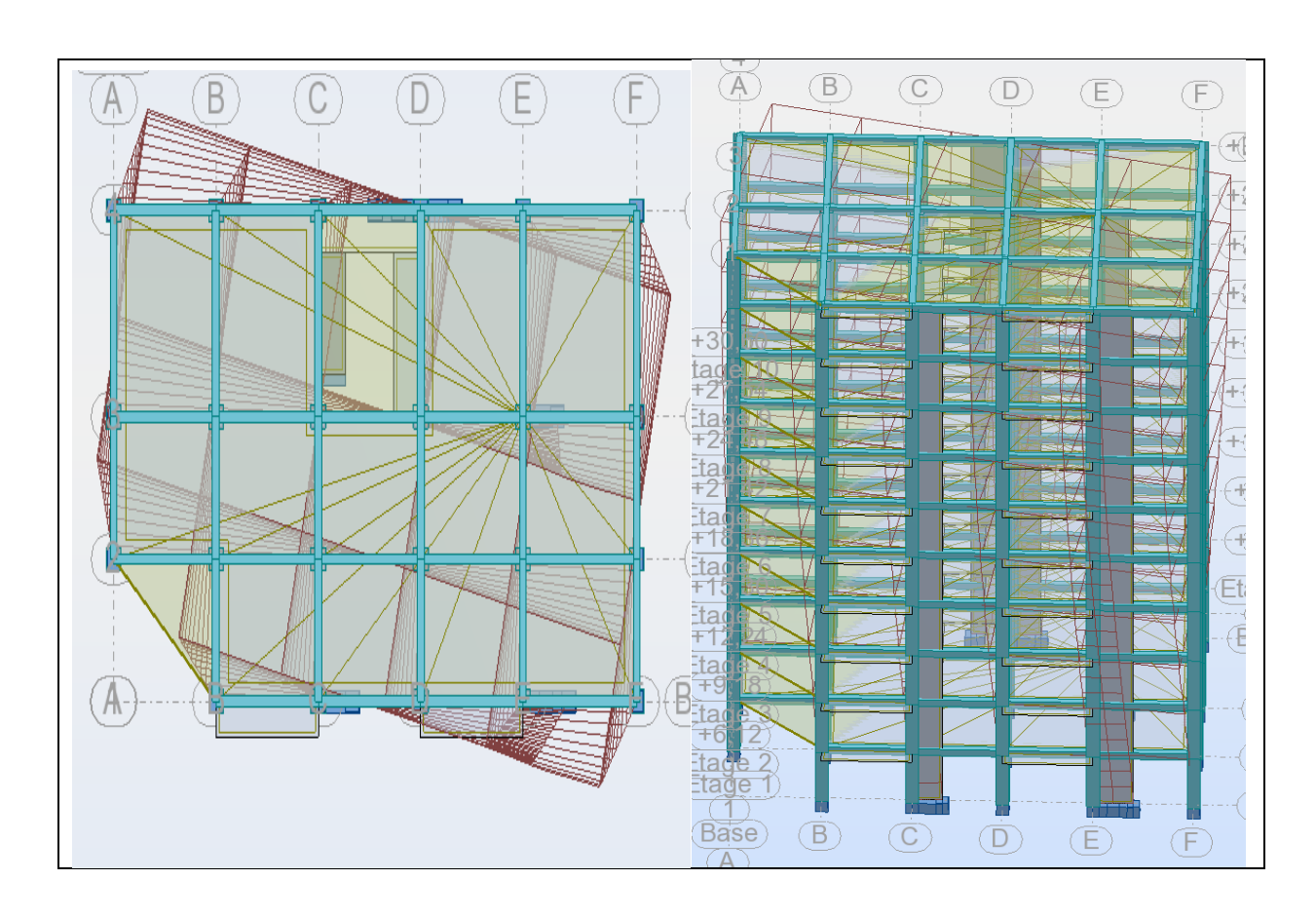


Figure V. 4. Troisième mode de vibration Vue 3D et vue en plan (1er variante).

## V.8. La Méthode Statique Equivalente : (l'art 4.2.3 de RPA99/version 2003)

La force sismique totale V, appliquée à la base de la structure, doit être calculée successivement dans les deux directions horizontales orthogonales selon la formule suivante :

$$V = \frac{A.D.Q}{R}.W$$

Avec:

A : coefficient d'accélération de zone, donnée par le tableau 4.1 RPA99 :

	ZONE						
Groupe	I	IIa	IIb	III			
1A	0,15	0,25	0,30	0,40			
1B	0,12	0,20	0,25	0,30			
2	0,10	0,15	0,20	0,25			
3	0,07	0,10	0,14	0,18			

Tableau V. 2 . Accélération de zone A

Selon le RPA, notre ouvrage est classé : groupe d'usage 2 dans la zone IIa, donc A = 0.15

D: facteur d'amplification dynamique moyen, fonction de la catégorie du site, du facteur de coefficient d'amortissement ( $\eta$ ) et de la période fondamentale de la structure T

$$D = \begin{cases} 2.5\eta & 0 \le T \le T_2 \\ \\ 2.5\eta (T_2/T)^{2/3} & T_2 \le T \le 3.0 \text{ sec} \\ \\ 2.5\eta (T_2/3.0)^{2/3} (3/T)^{5/3} & T \ge 3.0 \text{ sec} \end{cases}$$

 $T_1$  et  $T_2$  est la période caractéristique, associée à la catégorie du site et donnée par le tableau **4.7RPA99** :

Site	S1	S2	S3	S4
T1 (sec)	0.15	0.15	0.15	0.15
T2 (sec)	0.30	0.40	0.50	0.70

Dans notre site ( $S_3$ ):  $T_1 = 0.15$  s et  $T_2 = 0.50$  s

η: facteur de correction d'amortissement (quand l'amortissement est différent de 5%)

$$\eta = \sqrt{\frac{7}{2+\xi}} \geq 7$$

 $\xi$ : est donné par le tableau (4-2) du **RPA99/version 2003** présenté ci-après :

Remplissage	Por	tique	Voile ou murs
	Béton Armé	Acier	Béton Armé / Maçonnerie
Léger	6	4	10
Dense	7	5	

Tableau V. 3. Valeur du coefficient d'amortissement suivant le système structural.

On a 
$$\xi = 7$$
 — donc  $\eta = \sqrt{\frac{7}{2+7}} = 0.88$ 

## Estimation empirique de la période fondamentale

La période fondamentale dans une structure mixte correspond à la plus petite valeur obtenue par les formules **4.6** et **4.7** du **RPA99**.

$$T=\min\left\{C_T.h_n^{\frac{3}{4}};\frac{0.09\times h_n}{\sqrt{D}}\right\}$$

h<sub>N</sub>: hauteur en mètres à partir de la base de la structure jusqu'au dernier niveau

$$h_N = 30.6 \text{ m}$$

**C**<sub>T</sub>: Coefficient fonction du système de contreventement, du type de remplissage et donné par le tableau 4.6 du RPA99/version2003.

Contreventement assuré partiellement ou totalement par des voiles en BA=>  $C_T = 0.05$ 

D: la dimension du bâtiment mesurée à sa base dans la direction de calcul considérée.

$$D = \begin{cases} D_X = 23m \\ D_y = 13.8m \end{cases}$$

$$T_{X} = min \left\{ 0.05 \times 30.6^{\frac{3}{4}} \; ; \; \frac{0.09 \times 30.6}{\sqrt{23}} \right\} \longrightarrow T_{X} = min \; (\; 0.65 \; ; \; 0.57 \; )$$

$$T_{\rm X} = 0.57 \ {\rm s}$$

$$T_y = min \left\{ 0.05 \times 30.6^{\frac{3}{4}}; \frac{0.09 \times 30.6}{\sqrt{13.8}} \right\} \longrightarrow T_y = min (0.65; 0.74)$$

$$T_y = 0.65 s$$

L'analyse dynamique de la structure par ROBOT nous a permis d'obtenir les résultats suivants :

- La période fondamentale Tdyn(x)=0.52 s dans la direction X
- La période fondamentale Tdyn(y)=0.65 s dans la direction Y

D'après l'article (4.2.4) de RPA99/version2003 « les valeurs de T calculées à partir des formules de RAYLEIGH ou de méthodes numériques ne doivent pas dépasser celles estimées à partir des formules empiriques appropriées de plus de 30% »

$$1.3 \times \text{Temp} = 1.3 \times 0.65 = 0.84 \text{s} > \text{Tanalytique} = 0.65 \text{s}$$
 (C.V).

On trouve que le facteur d'amplification dynamique moyen D :

$$T_X = 0.65 \text{ s} \rightarrow T_2 = 0.5 \text{s} < T < 3.0 \text{ sec} \rightarrow D_X = 2.5 \eta (\frac{T_2}{T})^{\frac{2}{3}}$$

$$D_x = 2.5 \times 0.88 \left(\frac{0.5}{0.65}\right)^{\frac{2}{3}} \longrightarrow \mathbf{D}_x = \mathbf{1.84}$$

$$T_v = 0.65 \text{ s} \rightarrow T_2 = 0.5 \text{s} < T < 3.0 \longrightarrow D_v = 1.84$$

Vérification de la période de la structure

	Tempirique (sec)	1.3×T <sub>empirique</sub> (sec)	Tanalytique (sec)	Vérifiation	Tcalculeé (sec)
Sens-	0.52	0.67	0.65	Tempirique < Tanalytique < 1,3Tempirique	0.65
Sens- Y	0.65	0.84	0.52	Tanalytique < Tempirique	0.65

Tableau V. 4. la période de calcul de VMSE.

FX [KN]	FX sur les poteaux [KN]	FY [KN]	FY sur les poteaux [KN]	FZ [KN]	FZ sur les voiles [KN]
1002.72	1581,85	4465.71	20863.34	-30286,02	9278,15

**R**: est le coefficient de comportement global de la structure.

• Justification selon RPA 99-v2003 (Art : 3.4.4a) :

$$F_{zVoile}/F_{zTotal} = \frac{9278,15}{51645,40} = 17.9\% < 20\% \dots (C.V)$$

$$F_{xpoteaux}/F_{xTotal} = \frac{1581,85}{3526,09} = 44.86\% > 20\% \dots (C.V)$$

$$F_{ypoteaux}/F_{yTotal} = \frac{3107,83}{3166,26} = 98.1\% > 20\%$$
 .....(C.V)

Les conditions de l'interaction portique-voile est vérifiés donc la structure est à contreventement Mixte et le facteur de comportement est égal à 5.

**Q** : est le facteur de qualité et est fonction de :

- ✓ La redondance et de la géométrie des éléments qui la constituent.
- ✓ La régularité en plan et en élévation.
- ✓ La qualité du contrôle de la construction.

	Pq		
Critère q	Observé	N/observé	Observation
Conditions minimales sur les files de contreventement	0	0,05	Non observé
Redondance en plan	0	0,05	Non observé
Régularité en plan	0	0,05	Non observé
Régularité en élévation	1	0,05	observé
Contrôle de la qualité des matériaux	0	0,05	Non observé
Contrôle de la qualité de l'exécution	0	0,10	Non observé

Tableau V. 5. Valeurs des pénalités Pq

La valeur de ce facteur est déterminée par la formule :

$$Q = 1 + \sum_{1}^{5} P_q$$

Avec  $P_q$ : la pénalité qui dépend de l'observation ou non du critère « q » d'après le tableau 4.4 (R.P.A 99 / V2003) :

Donc Pq = 0.3

$$\rightarrow$$
 Q = 1 + Pq  $\longrightarrow$  Q = 1,3 « pour les deux sens»

 $\boldsymbol{W}$ : le poids total de la structure est égal à la somme des poids de

chaque niveau (i), calculé:

$$W = \sum_{i=1}^{n} W_i$$
 avec :  $W_i = W_{Gi} + \beta W_{Qi}$  (formule 4-5 R.P.A2003)

 $W_{Gi}$ : Poids du aux charges permanents.

 $W_{Oi}$ : Charge d'exploitation.

β: Coefficient de pondération, fonction de la nature et de la durée de la charge d'exploitation et donné par le tableau (4.5 du RPA99 version 2003).

Cas	Type d'ouvrage	β
1	Bâtiment d'habitation, bureaux ou assimilés.	0.20
2	Bâtiment recevant du public temporairement :	
	- Salles d9exploitation, de sport, lieux de culte, salles de réunions avec places	0.30
	debout.	
	- Salles de classes, restaurants, dortoirs, salle de réunions avec places assises	0.40
3	Entrepôts, hangars.	0.50
4	Archives, bibliothèques, réservoirs et ouvrage assimilés.	1.00
5	Autres locaux non visés ci-dessus.	0.60

Tableau V. 6. Valeurs du coefficient de pondération

Notre ouvrage est un bâtiment d'habitation, alors le coefficient de pondération est :  $\beta$ = 0.2

## V.8.1. Le poids de la construction :

On prend le poids calculé directement par le logiciel de calcul et modélisation ROBOT dans le tableau ci-après :

Cas/Et	age	Nom	Masse [kg]
3/	1	Etage 1	350298,88
3/	2	Etage 2	350298,88
3/	3	Etage 3	350298,88
3/	4	Etage 4	350298,88
3/	5	Etage 5	350298,88
3/	6	Etage 6	350298,88
3/	7	Etage 7	350298,88
3/	8	Etage 8	350298,88
3/	9	Etage 9	344852,17
3/	10	Etage 10	333605,62

Tableau V. 7 Poids des étages

Le poids total de la structure :

$$W = 3480848.83 \ kg \longrightarrow W = 3480.84883 \ t$$

V.8.2.	$\mathbf{L}^{2}$	effort?	trancl	hant	à	la	base	:

Sens	A	D	Q	W(t)	R	V stat (t)	0,8 Vstat (t)
Longitudinal	0,15	1.84	1,3	3480.848	5	249.785	199.828
Transversal	0,15	1.84	1,3	3480.848	5	249.785	199.828

Tableau V. 8. L'effort tranchant à la base donné par la méthode statique équivalente.

#### V.8.3. La résultante des forces sismiques de calcul :

D'après **l'art.4.3.6** de **RPA99**, la résultante des forces sismiques à la base Vdyn obtenue par la combinaison des valeurs modales ne doit pas être inférieure à 80% de la résultante des forces sismiques déterminée par la méthode statique équivalente V pour une valeur de la période fondamentale donnée par la formule empirique appropriée.

On vérifie la condition de RPA : **0.8Vstat < Vdyn** 

	Dynamique (ROBOT)	Statique (M.S.E)	Condition de RPA
Sens longitudinal	Vdyn= 352.609 t	0.8Vstat= 199.828 t	Vérifiée
Sens transversal	Vdyn= 316.626 t	0.8Vstat =199.828 t	vérifiée

#### V.8.4. Distribution de la résultante des forces sismiques selon la hauteur :

La résultante des forces sismiques a la base V doit être distribuée sur la hauteur de la structure selon les formules suivantes : (art.4.2.5. RPA99\_V2003):

$$V=Ft + \sum Fi$$

$$Soit : \begin{cases} Ft = 0.07 \times T \times V \text{ si } T > 0.7 \text{ S} \\ Ft = 0 \text{ si } T < 0.7 \text{ S} \end{cases}$$

$$Sens X-X: Tx = 0.65 \text{ sec} = \gg Tx = 0.65 \text{ sec} \le 0.7 \text{ sec} = \gg Ft = 0$$

$$Sens Y-Y: Ty = 0.65 \text{ sec} = \gg Tx = 0.65 \text{ sec} \le 0.7 \text{ sec} = \gg Ft = 0$$

$$F_i = \frac{(V-F_t).W_i.h_i}{\sum W_j.h_j}$$

Niveau	hi (m)	S	ens X-X			
		Vx	Fix(KN)	Vy	Fiy(KN)	
RDC	4,56	3526,09	62,79	3166,26	84,5	
1	7,62	3463,3	142,62	3081,76	150,66	
2	10,68	3320,68	212,61	2931,1	203,28	
3	13,74	3108,07	275,83	2727,82	253,29	
5	16,8	2832,24	339,02	2474,53	299,25	
5	19,86	2493,22	398,8	2175,28	345,53	
6	22,92	2094,42	453,06	1829,75	395,55	
7	25,98	1641,36	509,92	1434,2	447,45	
8	29,04	1131,44	564,84	986,75	495,29	
9	32,1	566,6	566,6	491,46	491,46	

## V.8.5. Vérification des déplacements:

Le déplacement horizontal à chaque niveau  ${\bf k}$  de la structure est calculé comme suit :  $\delta_K = R$ .  $\delta_{ek}$ 

 $\delta_{ek}$ : Déplacement dû aux forces sismiques Fi.

*R* : Coefficient de comportement, R=5

 $Δ_K$ : le déplacement relatif au niveau « k » par rapport au niveau « k-1 » est égal à:  $δ_K = δ_K - δ_{K-1}$ 

Etage	$\Delta k = \operatorname{dr} \operatorname{Ux}(\operatorname{cm})$	Δadm	$\Delta k = \text{drUy(cm)}$	Δadm	$\Delta k < \Delta adm$
RDC	0.2	3.06	0.2	3.06	C.V
1	0.2	3.06	0.3	3.06	C.V
2	0.3	3.06	0.3	3.06	C.V
3	0.2	3.06	0.3	3.06	C.V
4	0.2	3.06	0.3	3.06	C.V
5	0.2	3.06	0.3	3.06	C.V
6	0.2	3.06	0.3	3.06	C.V
7	0.2	3.06	0.2	3.06	C.V
8	0.2	3.06	0.2	3.06	C.V
9	0.1	3.06	0.2	3.06	C.V
10	0.1	3.06	0.2	3.06	C.V
	Tableau V. 1	0. Déplacem	ents absolus pour les de	eux sens	

## V.8.6. Justification vis-à-vis de l'effet $P-\Delta$ : Art.5.9 du RPA99/version2003:

Les effets du 2° ordre (ou effet P- $\Delta$ ) peuvent être négligés dans le cas des bâtiments si la condition suivante est satisfaite à tous les niveaux :  $\theta = \frac{P_K \cdot \Delta_K}{V_K \cdot h_K} \le 0.10$ 

#### Avec:

-  $P_K$ : poids de la structure et des charges d'exploitation associées au dessus du niveau « k »

$$P_{K} = \sum_{i=k}^{n} W_{Gi} + \beta W_{Qi}$$

- V<sub>K</sub>: effort tranchant d'étage au niveau k.

-  $\Delta_K$ : déplacement relatif du niveau k par rapport au niveau k-1.

- h<sub>K</sub>: hauteur de l'étage k.

## • Sens longitudinal (X):

Niveau	pk (KN)	Δk (cm)	V <sub>x</sub> (KN)	hk (cm)	θ	<0.1
RDC	89246,55	0,3	3526,09	306	0,025	vérifie
1	56015,56	0,5	3463,3	306	0,026	vérifie
2	26335,67	0,5	3320,68	306	0,013	vérifie
3	22991,46	0,5	3108,07	306	0,012	vérifie
4	19647,24	0,5	2832,24	306	0,011	vérifie
5	16303,03	0,5	2493,22	306	0,011	vérifie
6	12958,81	0,4	2094,42	306	0,008	vérifie
7	9614,6	0,3	1641,36	306	0,006	vérifie
8	6270,38	0,3	1131,44	306	0,005	vérifie
9	2978,43	0,2	566,6	306	0,003	vérifie

Tableau V. 11. Vérification de l'effet P- $\Delta$  pour le sens longitudinal.

## • Sens longitudinal (Y)

Niveau	p <sub>k</sub> (KN)	$\Delta_{\mathbf{k}}$ (cm)	$V_{x}(KN)$	h <sub>k</sub> (cm)	θ	<0.1
RDC	89246,55	0,7	3166,26	306	0,064	vérifie
1	56015,56	0,7	3081,76	306	0,042	vérifie
2	26335,67	0,7	2931,1	306	0,021	vérifie
3	22991,46	0,7	2727,82	306	0,019	vérifie
4	19647,24	0,6	2474,53	306	0,016	vérifie
5	16303,03	0,6	2175,28	306	0,015	vérifie
6	12958,81	0,5	1829,75	306	0,012	vérifie
7	9614,6	0,4	1434,2	306	0,009	vérifie
8	6270,38	0,3	986,75	306	0,006	vérifie
9	2978,43	0,2	491,46	306	0,004	vérifie

Tableau V. 12. Vérification de 19effet P-  $\Delta$  pour le sens transversal.

On remarque que les valeurs de  $\Theta$  <0.1 Donc : L'effet (P- $\Delta$ ) est négligeable pour les deux directions.

#### V.8.7. Vérification au renversement :

La vérification se fera sur les deux sens avec la condition suivante :

$$\frac{M_S}{M_r} \ge 1.5$$

avec:

M<sub>s</sub>: moment stabilisateur provoqué par les charges verticales.

$$\mathbf{M}_{s} = \mathbf{W} \times \frac{L}{2}$$
 ; W : le poids total de la structure

 $M_r$ : moment de renversement provoqué par les charges horizontales.

$$M_r = \sum F_i \times h_i$$

			Sen	s X-X	Sens Y-Y	
Etage	ANC(m)	hi (m)	F <sub>ix</sub> (KN)	$\mathbf{F}_{ix} \times \mathbf{hi}$	F <sub>iy</sub> (KN)	$\mathbf{F}_{iy} \times \mathbf{hi}$
RDC	1.2	4,26	62,79	267,4854	84,5	359,97
1	1.2	7,32	142,62	1043,9784	150,66	1102,8312
2	1.2	10,38	212,61	2206,8918	203,28	2110,0464
3	1.2	13,44	275,83	3707,1552	253,29	3404,2176
4	1.2	16,5	339,02	5593,83	299,25	4937,625
5	1.2	19,56	398,8	7800,528	345,53	6758,5668
6	1.2	22,62	453,06	10248,2172	395,55	8947,341
7	1.2	25,68	509,92	13094,7456	447,45	11490,516
8	1.2	28,74	564,84	16233,5016	495,29	14234,6346
9	1.2	31,8	566,6	18017,88	491,46	15628,428
		$M_r = \sum F_i \times I$	$\mathbf{1_i}$	30868,086	/	27620,598

Tableau V. 13. Calcul du moment de renversement

Sens x: 
$$M_{sx} = \frac{34808.48 \times 23}{2} = 400297.52 \text{ KN.m}$$

Sens y: 
$$M_{sy} = \frac{34808.48 \times 13.8}{2} = 240178.512 \text{ KN.m}$$

#### Vérification:

Sens	M <sub>r</sub> (KN.m)	M <sub>s</sub> (KN.m)	M <sub>r</sub> /M <sub>s</sub>	≥1.5	Condition
X-X	30868,086	400297.52	12.96	Oui	vérifie
Y-Y	27620,598	240178.512	8.69	Oui	vérifie

#### V.8.8. Détermination du centre de gravité des masses et le centre des rigidités :

#### V.8.8.1. Centre de gravité des masses :

La détermination du centre de gravité des masses est basée sur le calcul de centre des masses de chaque élément de la structure (acrotère, poteaux, poutres, plancher, escalier, voiles, balcons, maçonnerie extérieure, etc.),

Les coordonnées du centre de gravité des masses sont données par :

$$X_G = \frac{\sum M_i \cdot x_i}{\sum M_i}$$
 ;  $Y_G = \frac{\sum M_i \cdot y_i}{\sum M_i}$ 

Avec M<sub>i</sub> : la masse de l'élément i.

Xi, Yi : les coordonnés du centre de gravité de l'élément i par rapport à un repère global

## V.8.8.2. Centre de rigidités :

Les coordonnés du centre des rigidités peut être déterminé par les formules ci-après :

$$X_{C} = \frac{\sum I_{jy} \times X_{j}}{\sum I_{jy}}$$

$$Y_C = \frac{\sum I_{jx} \times Y_j}{\sum I_{jx}}$$

I<sub>vi</sub>: Inertie de l'élément i dans le sens y.

X<sub>i</sub> : Abscisse de l'élément I<sub>yi</sub>.

I<sub>xi</sub>: Inertie de l'élément i dans le sens x.

Y<sub>i</sub> : Ordonnée de l'élément I<sub>xi</sub>.

## • L'excentricité:

L'excentricité est la différence entre le centre de masse de la structure et le centre de rigidité, donnée par la formule suivante :

$$e_{x=}|X_G-X_C|$$

$$e_{y} = |Y_G - Y_C|$$

Etage	X <sub>G</sub> (m)	Y <sub>G</sub> (m)	Xcr(m)	YCR(m)	ex(m)	ey(m)
RDC	12.04	6.90	11.95	6.99	0.10	0,9
1	12.04	6.90	11.95	6.99	0.10	0,9
2	12.04	6.90	11.95	6.99	0.10	0,9
3	12.04	6.90	11.95	6.99	0.10	0,9
4	12.04	6.90	11.95	6.99	0.10	0,9
5	12.04	6.90	11.95	6.99	0.10	0,9
6	12.04	6.90	11.95	6.99	0.10	0,9
7	12.04	6.90	11.95	6.99	0.10	0,9
8	12.08	6.87	11.95	6.99	0,13	0,12
9	12.08	6.79	11.95	6.99	0.13	0.20

Tableau V. 14. Centres de masses et rigidités et l'excentricité des niveaux.

## Excentricité accidentelle :

L'article 4.3.7 du RPA99/v2003 impose dans le cas où il est procédé à une analyse tridimensionnelle, en plus de l'excentricité théorique calculée, une excentricité accidentelle égale à  $\pm$  0.05L (L étant la dimension du plancher perpendiculaire à la direction de d'action sismique) doit être appliquée au niveau du plancher considéré et suivant chaque direction.

NIVEAU	Lx (m)	Ly (m)	Ex (m)	Ey (m)
RDC	22.00	13.80	1.10	0.69
1	22.00	13.80	1.10	0.69
2	22.00	13.80	1.10	0.69
3	22.00	13.80	1.10	0.69
4	22.00	13.80	1.10	0.69
5	22.00	13.80	1.10	0.69
6	22.00	13.80	1.10	0.69
7	22.00	13.80	1.10	0.69
8	22.00	13.80	1.10	0.69
9	22.00	13.80	1.10	0.69

Tableau V. 15. L'excentricité accidentelle.



# **Chapitre VI**

Ferraillage des éléments structuraux



#### **VI.1 Introduction:**

La structure est un ensemble tridimensionnel des poteaux, poutres et voiles, liés rigidement et capables de reprendre la totalité des forces verticales et horizontales (ossature auto stable).

Pour pouvoir ferrailler les éléments de la structure, on a utilisé l'outil informatique à travers le logiciel d'analyse des structures (Robot Structural Analysais), qui permet la détermination des différents efforts internes de chaque section des éléments pour les différentes combinaisons de calcul.

Leurs ferraillages doivent être réalisés de façon à résister aux combinaisons des différentes actions en considérant les combinaisons les plus défavorables.

#### VI.2 Combinaisons d'actions :

Après la détermination des sollicitations M, N et T, on procède au ferraillage avec les combinaisons les plus défavorables à savoir :

• **Selon BAEL91 (art. 6.1.2)** (La combinaison fondamentale) :

$$ELS: G+Q$$

• Selon RPA 2003 Formule (5-1; 2) (Combinaisons accidentelles):

$$G+Q\pm E$$

$$0.8G {\pm}\ E$$

Les armatures seront calculées à l'E.L.U et dans le cas accidentel sous l'effet des sollicitations les plus défavorables avec ces paramètres :

Situation	Béton			Acier (FeE400)		
Situation	γb	Fc28 (MPa)	σ (MPa) b	γs	Fe (MPa)	σs (MPa)
Durable	1,5	25	14,2	1,15	400	348
Accidentelle	1,15	25	18.5	1	400	400

Tableau VI. 1. Paramètres du béton et acier pour le calcul des armatures dans le cas accidentel.

## VI.3 Recommandations du RPA99/V2003 : (art7.4.2 page 61)

#### VI.3.1. Armatures longitudinales:

- Les armatures longitudinales doivent être à haute adhérence, droites et sans crochets.
- Amin = 0.8 % de la section de béton (en zone II).
- Amax = 4 % b×h (en zone courante).
- Amax = 6 % b×h (en zone de recouvrement).
- $\phi$ min = 12 mm (diamètre minimal utilisé pour les barres longitudinales).
- La longueur minimale de recouvrement (Lmin) est de  $40 \, \phi$  en zone II.
- La distance ou espacement (St) entre deux barres verticales dans une face de poteau ne doit pas dépasser 25cm (zone II).
- Les jonctions par recouvrement doivent être faites si possible, à l'extérieur des zones nodales (zone critique)
- La zone nodale est constituée par le nœud poutres-poteaux proprement dit et les extrémités des barres qui y concourent.

#### VI.3.2. Armatures transversales:

D'après le RPA99V2003, Les armatures transversales des poteaux sont calculées à l'aide de la formule suivante :

$$A_{t} = \frac{\rho_{a} S_{t} T_{u}}{h_{1} f_{e}}$$

Tu: l'effort tranchant de calcul.

**h**<sub>1</sub>: hauteur totale de la section brute.

 $\mathbf{S}_{t}$ : espacement des armatures transversales.

- Dans la zone nodale :

 $t \leq \min(10\varphi; 15cm)$ 

- Dans la zone courante :

 $t \leq 15\phi$ 

 $\phi$ : Diamètre minimale des armatures longitudinales du poteau.

 $ho_a$  : Coefficient correcteur en fonction de l'élément, il est donné comme suit :

$$\rho_a = \begin{cases} 2.50 & \text{si } \lambda_g \ge 5 \\ 3.75 & \text{si } \lambda_g < 5 \end{cases}$$

Avec 
$$\lambda_g = \min(\frac{l_f}{a} ou \frac{l_f}{b})$$

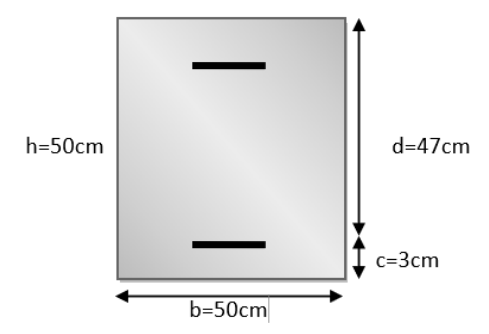
 $\lambda_g$ : est l'élancement géométrique du poteau.

**a** ; **b** : sont les dimensions de la section droite du poteau dans la direction de déformation considérée.

L<sub>f</sub>: Longueur de flambement du poteau.

## VI.4. Ferraillage des poteaux :

Les poteaux de notre structure ont la même section pour tous les étages : (50×50)cm<sup>2</sup>



Poteaux	<i>l</i> (m)	h (cm)	b (cm)	d (cm)	c (cm)	c'(cm)
1 00000	3,06	50	50	47	3	3

## VI.4.1. Les sollicitations des poteaux obtenus par ROBOT :

EI	LU	G + Q + EX		0,8 G + EX		ELS	
Nmax (KN)	Mcorr (KN.M)	Mmax (KN.M)	Ncorr (KN)	Nmin (KN)	Mcorr (KN.M)	Nmax (KN)	Mcorr (KN.M)
2020.98	1.88	234.15	1295.41	35.04	59.95	1478.28	1.36

Tableau VI. 2. Les résultats des efforts et des moments pour chaque combinaison dans les poteaux

## VI.4.2. Calcul des ferraillages :

1er cas: la combinaison ELU (1,35 G+1,5 Q):

$$N_{max} = 2020.98 \; KN$$
 ;  $M_{cor} = 1.88 \; KN.m$ 

Selon l'article (A.4.4 BAEL91), et l'article (A.4.3.5 du CBA93) en adoptant une excentricité totale de calcul :

$$e = e1 + e2$$
 ;  $e1 = ea + e0$ 

- **e1**: excentricité du premier ordre de la résultante des contraintes normales avant l'application des excentricités additionnelles.
- e2 : excentricité dus aux effets du second ordre
- **ea :** excentricité additionnelle traduisant les imperfections géométrique initiales (après l'exécution).

$$e_0 = \frac{M_{cor}}{N_{max}} = \frac{1.88}{2020.98} = 0.00093 \ m = 0.093 \ cm$$

$$e_a = max(2; \frac{l_0}{250})cm$$
  $e_a = max(2; \frac{306}{250} = 1.22) = 2cm$ 

$$\rightarrow e_1 = e_0 + e_a \rightarrow e_1 = 2.093 \text{ cm}$$

On a: 
$$\frac{l_f}{h} \le \max(1.5; 20.\frac{e_1}{h})$$

1 : La longueur du poteau.

l<sub>f</sub>: La longueur de flambement du poteau.

$$L_f = 0.7l_0 = 0.7 \times 3.06 = 2.14 \text{ m}$$

$$\frac{l_f}{h} = 4.28 \le \max\left(15; 20.\frac{2.093}{50}\right) = 15$$

Donc l'excentricité dus aux effets de second ordre se détermine de façon forfaitaire :

$$e_2 = 3.\frac{l_f^2}{10^4.h}(2 + \alpha \varphi)$$

 $\varphi$ : Généralement on prend la valeur  $\varphi=2$ 

$$\lambda = \sqrt{12} \frac{l_f}{h} = 14.82 < 50 \rightarrow \alpha = \frac{0.85}{1 + 0.2(\frac{\lambda}{35})^2} = 0.82$$

donc 
$$e_2 = 3.\frac{2.14^2}{10^4.0.5}(2 + 0.82 \times 2) = 0.01 \text{ m} = 1 \text{cm}$$

Donc l'excentricité totale égale à :  $e = e_1 + e_2 = 3.093$  cm

$$M_u = N_{max}.e \ = \ 2020.98 \times 0.03 = 60.62 \ KN.m$$

Alors les sollicitations corrigées deviennent :

$$N_{max} = 2020.98 \text{ KN} \dots M_{cor} = 60.62 \text{ KN.m}$$

$$A = (0.337h - 0.81C)b.h.\sigma_b$$

$$A=(0.337 \times 0.5 - 0.81 \times 0.03) \times 500 \times 500 \times 14.2$$

$$A = 511.91 \, KN. \, m$$

$$B = N_u(d - c') - M_{ua}$$

$$M_{ua} = M_u + N_u \left( d - \frac{h}{2} \right) = 60.62 - 2020.98(0.47 - 0.25) = 505.23 \text{ KN.m}$$

$$\rightarrow B = 2020.98(0.47 - 0.03) - 505.23 = 384 \text{ KN. m}$$

Comme  $A > B \rightarrow$  donc la section est partiellement comprimée.

- Calcul des armatures à la flexion simple :

$$\mu = \frac{M}{h \cdot d^2 \cdot \sigma_h} = \frac{505230}{0.5 \times 470^2 \times 14.2} = 0.32 < \mu_l$$

La section est simplement armée → A'=0

$$\alpha$$
= 1.25( 1- $\sqrt{1}$  – 2 $\mu$  ) = 0.5

$$\beta$$
= (1-0.4 $\alpha$ ) = 0.8

$$A_{fs} = \frac{505230}{348 \times 0.8 \times 0.47} = 38.61 \ cm^2$$

- Calcul des armatures à la flexion composée :

$$A_{\text{cal}} = A_{fs} - \frac{N}{100 \times \sigma_s} = 38.61 - \frac{2020980}{100 \times 348} = -19.46 cm^2$$

 $2^{er}$  cas: la combinaison (G + Q + EX):

$$N_{cor} = 1295.41 \text{ KN}$$
 ;  $M_{max} = 234.15 \text{ KN.m}$ 

Selon l'article (A.4.4 BAEL91), et l'article (A.4.3.5 du CBA93) en adoptant une excentricité totale de calcul :

$$e = e1 + e2$$
 ;  $e1 = ea + e0$ 

- **e1** : excentricité du premier ordre de la résultante des contraintes normales avant l'application des excentricités additionnelles.
- e2 : excentricité dus aux effets du second ordre
- **ea :** excentricité additionnelle traduisant les imperfections géométrique initiales (après l'exécution).

$$e_0 = \frac{M_{max}}{N_{cor}} = \frac{234.15}{1295.41} = 0.18 \ m = 18 \ cm$$

$$e_a = max(2; \frac{l_0}{250})cm \longrightarrow e_a = max(2; \frac{306}{250} = 1.22) = 2cm$$

$$\rightarrow e_1 = e_0 + e_a \rightarrow e_1 = 20 \text{ cm}$$

On a: 
$$\frac{l_f}{h} \le \max(1.5; 20.\frac{e_1}{h})$$

1: La longueur du poteau.

l<sub>f</sub>: La longueur de flambement du poteau.

$$L_f = 0.7l_0 = 0.7 \times 3.06 = 2.14 \text{ m}$$

$$\frac{l_f}{h} = 4.28 \le \max\left(15; 20.\frac{20}{50}\right) = 15$$

Donc l'excentricité dus aux effets de second ordre se détermine de façon forfaitaire :

$$e_2 = 3 \cdot \frac{l_f^2}{10^4 \cdot h} (2 + \alpha \varphi) \rightarrow e_2 = 1 \text{ cm}$$

Donc l'excentricité totale égale à :  $e = e_1 + e_2 = 21$  cm

$$M_u = N_{cor} \times e = 1295.41 \times 0.21 = 272.03 \text{ KN.m}$$

Alors les sollicitations corrigées deviennent :

$$N_{cor} = 1295.41 \; KN \; ... \; M_{max} = 272.03 \; KN.m$$

$$A = (0.337h - 0.81C)b.h.\sigma_b$$

$$A=(0.337 \times 0.5 - 0.81 \times 0.03) \times 500 \times 500 \times 18.5$$

$$A = 666.925 \, KN.m$$

$$B = N_u(d - c') - M_{ua}$$

$$M_{ua} = M_u + N_u \left( d - \frac{h}{2} \right) = 272.03 + 1295.41(0.47 - 0.25) = 557.02 \, KN. \, m$$

$$\rightarrow B = 1295.41(0.47 - 0.03) - 557.02 = 12.96 \, KN. m$$

Comme  $A > B \rightarrow$  donc la section est partiellement comprimée.

Calcul des armatures à la flexion simple :

$$\mu = \frac{M}{b.d^2.\sigma_b} = \frac{557020}{0.5 \times 470^2 \times 18.5} = 0.27 < \mu_l$$

La section est simplement armée  $\longrightarrow$  A'=0

$$\alpha$$
= 1.25( 1- $\sqrt{1}$  – 2 $\mu$  ) = 0.4

$$\beta$$
= (1-0.4 $\alpha$ ) = 0.84

$$A_{fs} = \frac{557020}{400 \times 0.84 \times 0.47} = 35.27 \ cm^2$$

- Calcul des armatures à la flexion composée :

$$A_{\text{cal}} = A_{fs} - \frac{N}{100 \times \sigma_s} = 35.27 - \frac{1295410}{100 \times 400} = 2.88 \text{ cm}^2$$

 $3^{er}$  cas: la combinaison (0.8 G + EX):

$$N_{min} = 35.04 \text{ KN}$$
 ;  $M_{max} = 59.95 \text{ KN.m}$ 

Selon l'article (A.4.4 BAEL91), et l'article (A.4.3.5 du CBA93) en adoptant une excentricité totale de calcul :

$$e = e1 + e2$$
 ;  $e1 = ea + e0$ 

- **e1**: excentricité du premier ordre de la résultante des contraintes normales avant l'application des excentricités additionnelles.
- e2 : excentricité dus aux effets du second ordre
- **ea :** excentricité additionnelle traduisant les imperfections géométrique initiales (après l'exécution).

$$e_0 = \frac{M_{max}}{N_{min}} = \frac{59.95}{35.04} = 1.71 \text{ m} = 171 \text{ cm}$$

$$e_a = max(2; \frac{l_0}{250})cm$$
  $e_a = max(2; \frac{306}{250} = 1.22) = 2cm$ 

$$\rightarrow e_1 = e_0 + e_a \rightarrow e_1 = 173 \text{ cm}$$

On a: 
$$\frac{l_f}{h} \le \max(15; 20.\frac{e_1}{h})$$

1: La longueur du poteau.

l<sub>f</sub>: La longueur de flambement du poteau.

$$L_f = 0.7l_0 = 0.7 \times 3.06 = 2.14 \text{ m}$$

$$\frac{l_f}{h} = 4.28 \le \max\left(15; 173.\frac{20}{50}\right) = 69.2$$

Donc l'excentricité dus aux effets de second ordre se détermine de façon forfaitaire :

$$e_2 = 3 \cdot \frac{l_f^2}{10^4 \cdot h} (2 + \alpha \varphi) \rightarrow e_2 = 1 \text{ cm}$$

Donc l'excentricité totale égale à :  $e = e_1 + e_2 = 174$  cm

$$M_{\text{max}} = N_{\text{min}} \times e = 35.04 \times 1.74 = 60.96 \text{ KN.m}$$

Alors les sollicitations corrigées deviennent :

$$N_{min} = 35.04 \text{ KN} \dots M_{max} = 60.96 \text{ KN.m}$$

$$M_{ua} = M_u + N_u \left( d - \frac{h}{2} \right) = 60.26 + 35.04(0.47 - 0.25) = 67.96 \text{ KN. m}$$

Calcul des armatures à la flexion simple :

$$\mu = \frac{M}{b.d^2.\sigma_b} = \frac{67960}{0.5 \times 470^2 \times 18.5} = 0.03 < \mu_l$$

La section est simplement armée  $\longrightarrow$  A'=0

$$\alpha$$
= 1.25( 1- $\sqrt{1}$  – 2 $\mu$  ) = 0.038

$$\beta$$
= (1-0.4 $\alpha$ ) = 0.98

$$A_{fs} = \frac{67960}{400 \times 0.98 \times 0.47} = 3.68 \ cm^2$$

- Calcul des armatures à la flexion composée :

$$A_{\text{cal}} = A_{fs} - \frac{N}{100 \times \sigma_s} = 3.68 - \frac{35040}{100 \times 400} = 2.8 \text{ cm}^2$$

#### VI.4.3. Vérification de section minimale d'armature selon l'RPA99 :

$$A_{min}^{RPA} = 0.8\%(50 \times 50) = 20 \text{ cm}^2$$

## VI.4.4. Vérification de la condition de non fragilité BAEL.91:

$$A_{min}^{BAEL} = 0.23 \times b \times d \times \frac{f_{t28}}{f_e}$$

$$A_{min}^{BAEL} = 0.23 \times 50 \times 47 \times \frac{2.1}{400} = 2.83 \text{ cm}^2$$

La section d'armature calculée est :  $A_s = \max (A_{cal}; A_{min}^{RPA}; A_{min}^{BAEL})$ 

	A cal (cm <sup>2</sup> )	Amin BAEL (cm <sup>2</sup> )	ARPA (cm <sup>2</sup> )	A adop (cm <sup>2</sup> )
ELU	0	2.83	20	4HA20 + 6HA16= 24.63 cm <sup>2</sup>
0,8G±E	2.8			
G+Q±E	2.88			

Tableau VI. 3. Les armatures longitudinales utilisées pour les poteaux.

#### VI.4.5. Vérification à l'E.L.S:

Il est nécessaire de faire une vérification à l'état limite de service après avoir fait le calcul du ferraillage longitudinal des poteaux à l'E.L.U et les cas accidentels.

les contraintes sont calculées à l'ELS sous les sollicitations de (Nser, Mser). La fissuration est considérée peu nuisible donc il faut vérifier les contraintes dans la section de l'acier.

- La contrainte du béton est limitée par :  $\sigma_{bc} = 0.6$  fc28 = 15 MPa.
- $\triangleright$  La contrainte d9acier est limitée par :  $\sigma_s = 400$  MPa.

Les sollicitations du poteau à l'E.L.S sont :

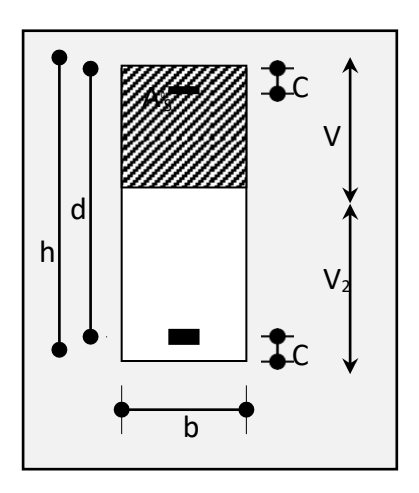
Nser = 
$$1478.28 \text{ kN} \rightarrow \text{Mser} = 1.36 \text{ kN.m}$$

$$e_0 = \frac{M_{ser}}{N_{ser}} = \frac{1.36}{1478.28} = 0.00091 \text{ m} = 0.091 \text{cm}$$

$$\frac{h}{6} = \frac{50}{6} = 8.33 \ cm > e_0 = 0.091 \ cm$$

Donc la section est entièrement comprimée et il faut vérifier que :

$$\sigma_{bc} < 0.6 f_{c28} = 15 MPa$$



On a: 
$$B_0 = b \times h + 15(A) = 50 \times 50 + 15 \times 20.11 = 2801.65 \text{ cm}^2$$

$$V_1 = \frac{1}{B_0} \left[ \frac{b \cdot h^2}{2} + 15(A_1 \cdot c + A_2 \cdot d) \right]$$

$$\Rightarrow V_1 = \frac{1}{2801.65} \left[ \frac{50.50^2}{2} + 15(10.05 \times 3 + 10.05 \times 47) \right] = 25 \text{ cm}$$

$$\Rightarrow$$
  $V_2 = h - V_1 = 25 \text{ cm}$ 

$$\mathbf{I}_{xx} = \frac{b}{3}(V_1^3 + V_2^3) + 15(A_1 \times (V_1 - c_1)^2 + A_1 \times (V_2 - c_2)^2)$$

$$I_{xx} = \frac{50}{3}(25^3 + 25^3) + 15(10.05 \times (25 - 3)^2 + 10.05 \times (25 - 3)^2)$$

$$\Rightarrow$$
 I<sub>xx</sub> = 666759.33 cm<sup>4</sup>

$$K = \frac{M_G}{I_{xx}}$$

avec  $M_G$ : Moment de flexion par rapport au centre de gravité de la section rendue homogène.

$$M_G = 1.36 \text{ N.m}$$

$$K = \frac{1.36 \times 10^6}{666759.33 \times 10^4} = 2.03 \times 10^{-4} \text{ KN/mm}^3$$

$$\sigma_0 = \frac{N_{ser}}{B_0} = \frac{1478.28 \times 10^3}{2801.65 \times 10^2} = 5.27 MPa$$

$$\sigma_b = \sigma_0 + K.V_1 = 5.27 + 2.03 \times 10^{-4} \times 250 = 5.32 \text{ MPa}$$

$$\Rightarrow$$
  $\sigma_b = 5.32 \text{ MPa} < \sigma_{bc} = 15 \text{ MPa} \dots (C.V)$ 

Donc les armatures déterminées pour L'ELU de résistance conviennent.

La fissuration est peu préjudiciable, alors la vérification de  $\sigma_s$  à L'E.L.S est :

$$\sigma_s^1 = 15(\sigma_0 + K(v_1 - c)) = 15(5.27 + 2.03 \times 10^{-4}(250 - 30))$$

$$\Rightarrow \sigma_s^1 = 79.71 MPa$$

$$\sigma_s^2 = 15(\sigma_0 + K(d - v_1)) = 15(5.27 + 2.03 \times 10^{-4}(470 - 250))$$

$$\Rightarrow \sigma_s^2 = 80.38 MPa$$

$$\sigma_s^1 = 79.71 \, MPa \, < \, \bar{\sigma_s} = f_e = 400 \, MPa \, \dots$$
 (C.V)

$$\sigma_s^2 = 80.38 \, MPa \, < \, \bar{\sigma_s} = f_e = 400 \, MPa \, \dots$$
 (C.V)

Donc toutes les conditions sont vérifiées a L'ELS.

#### VI.4.6. Vérification de l'effort tranchant :

On prend l'effort tranchant max et on généralise les sections d'armatures pour tous les poteaux, la combinaison  $(G + Q \pm E)$  donne l'effort tranchant max.

$$\tau_u = \frac{V_{max}}{b.d}$$

$$V_{max} = 26.47 \ KN$$

$$\tau_u = \frac{26470}{500.470} = 0.11 \, MPa$$

$$\overline{\tau_u} = \min(0.2 \frac{f_{c28}}{\gamma_b}; 5MPa)$$

$$\overline{\tau_u} = \min(4.34; 5) = 4.34 MPa$$

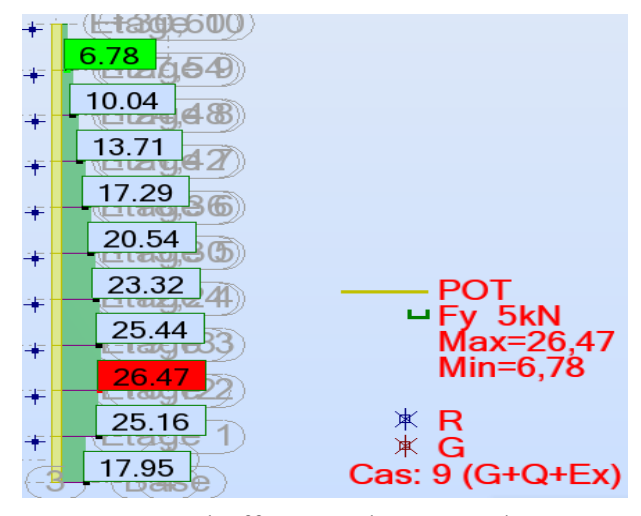


Figure VI. 1. l'effort tranchant max du poteau

$$\tau_u = 0.11 \, \text{MPa} \, < \, \overline{\tau_u} = 4.34 \, \text{MPa} \dots (C.V)$$

## VI.4.7. Calcul les armatures transversales :

D'après le RPA99V2003, Les armatures transversales des poteaux sont calculées à l'aide de la formule suivante :

$$A_{t} = \frac{\rho_{a} S_{t} T_{u}}{h_{1} f_{e}}$$

 $T_u$ : l'effort tranchant de calcul.  $\longrightarrow T_u = 26.47 \text{ KN}$ 

 $\mathbf{h}_1$ : hauteur totale de la section brute.  $\mathbf{h}_1$ =50cm

 $S_t$ : espacement des armatures transversales.

- Dans la zone nodale :

 $t \leq \min(10\varphi; 15cm)$ 

- Dans la zone courante :

 $t \leq 15 \omega$ 

φ: Diamètre minimale des armatures longitudinales du poteau.

**Zone nodale** :  $t \le min(16; 15) = 10cm$ 

**Zone courante** :  $t \le 24$ cm on prend t = 15cm

 $\rho_a$ : Coefficient correcteur en fonction de l'élément, il est donné comme suit :

$$\rho_a = \begin{cases} 2.50 & \text{si } \lambda_g \geq 5 \\ 3.75 & \text{si } \lambda_g < 5 \end{cases}$$

Avec 
$$\lambda_g = \min(\frac{l_f}{a} ou \frac{l_f}{b})$$

 $\lambda_g$ : est l'élancement géométrique du poteau.

**a** ; **b** : sont les dimensions de la section droite du poteau dans la direction de déformation considérée.

L<sub>f</sub>: Longueur de flambement du poteau.

$$L_f = 0.7 l_0 = 0.7 \times 3.06 = 2.14 \text{ m} \longrightarrow \lambda_g = min(\frac{2.14}{0.5} \text{ ou } \frac{2.14}{0.5})$$
 
$$\lambda_g = 4.28$$

$$\Rightarrow$$
  $\rho_a = 3.75$ 

Zone nodale:

$$A_{t} = \frac{\rho_{a}S_{t} T_{u}}{h_{1}f_{e}} = \frac{3.75 \times 10 \times 26470}{50 \times 400} = 4.9 \text{ cm}^{2}$$
on adopte 5HA12= 5.65 cm<sup>2</sup>

**Zone courante:** 

$$A_t = \frac{\rho_a S_t T_u}{h_1 f_e} = \frac{3.75 \times 15 \times 26470}{50 \times 400} = 7.4 \text{ cm}^2$$

on adopte 5HA14= 7.70cm<sup>2</sup>

#### VI.4.8. Vérification des cadres des armatures minimales :

> SelonRPA99/V2003 (7.4.2.2):

Soit la quantité d'armature minimale.

$$\frac{A_t}{S_t.b}(\%) \quad - \begin{bmatrix} \text{Si } \lambda_g \geq 5\% \rightarrow 0.3\% \\ \\ \text{Si } \lambda_g \leq 3\% \rightarrow 0.8\% \end{bmatrix}$$

Si 3 <  $\lambda_g$  < 5 il faut interpoler entre les valeurs limites précédentes.

Dans la zone nodale :  $S_t = 10 \text{ cm}$ 

$$\frac{A_t}{S_t.b} = 0.3\% \rightarrow A_t = 0.003 \times 10 \times 50 = 1.5 cm^2....$$
 (C.V)

Dans la zone courante :  $S_t = 15 \text{ cm}$ 

$$\frac{A_t}{S_t.b} = 0.3\% \rightarrow A_t = 0.003 \times 15 \times 50 = 2.25 cm^2...$$
 (C.V)

## > Condition du BAEL91.art.A8.1.3 :

✓ Le diamètre des armatures transversales :  $\emptyset_t \ge \frac{\emptyset_l}{3}$ 

$$\emptyset_t \ge \frac{16}{3} = 5.33 \ mm$$
....(C.V)

✓ L'espacement entre les cadres :  $S_t \le min(15\emptyset_l; 40cm; a + 10cm)$ 

$$S_t \le \min(24cm; 40cm; 50cm) = 24cm....(C.V)$$

Tableau récapitulatif pour le ferraillage des poteaux :

	S Pot (cm <sup>2</sup> )	A cal (cm <sup>2</sup> )	Barres	A adapt (cm <sup>2</sup> )
Longitudinal	50 × 50	20	4HA20 + 6HA16	24.63
Transversal	Zone nodale	4.9	5HA12	5.65
	Zone courante	7.4	5HA14	7.70

Tableau VI. 4. Tableau récapitulatif pour le ferraillage des potea

## VI.4.9. Présentation du ferraillage :

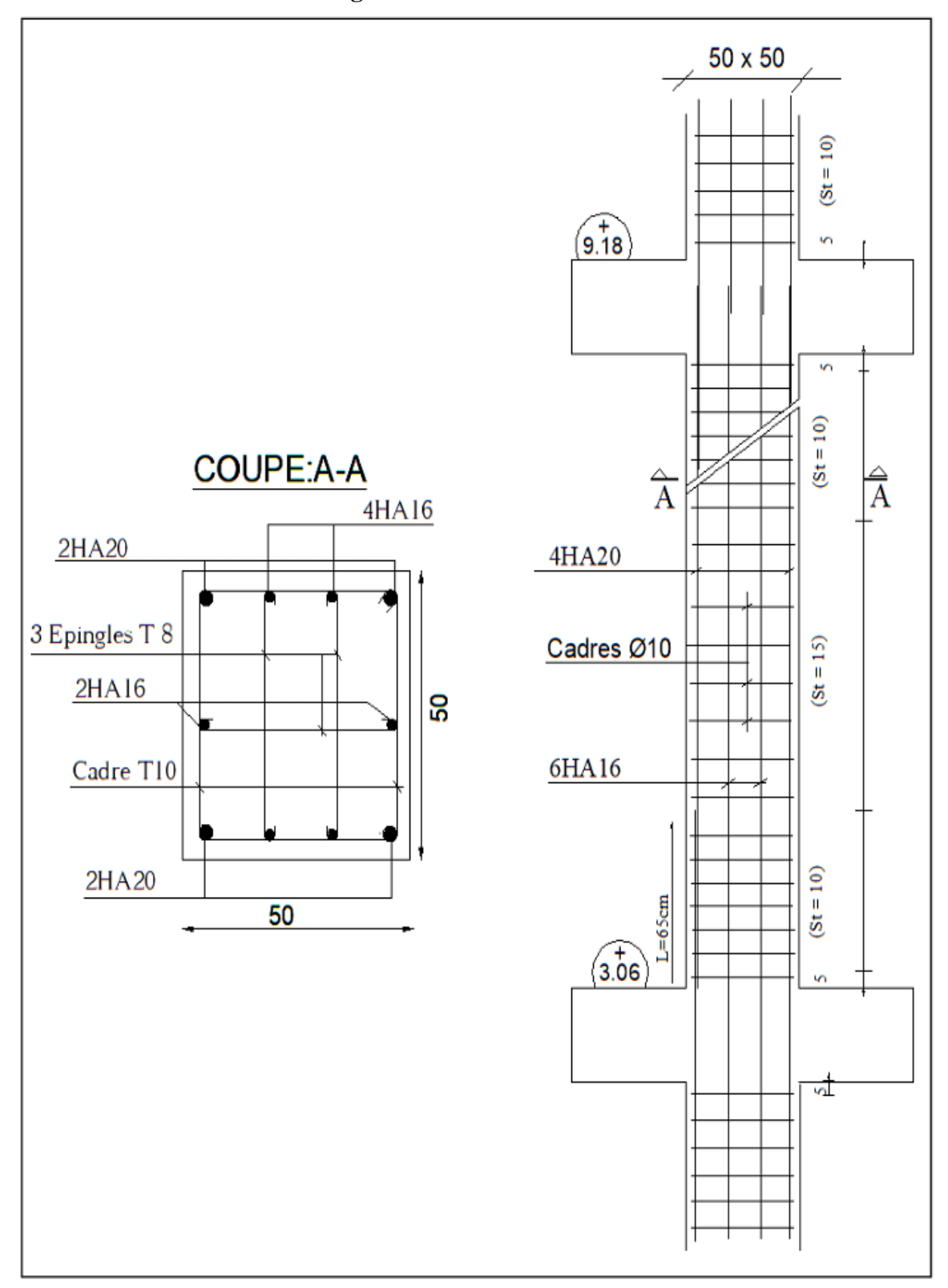


Figure VI. 2. Schéma de ferraillage du poteau.

## VI.5. Ferraillage des poutres :

Les poutres sont des éléments soumis à des moments de flexion et des efforts tranchants, les efforts normaux ne sont pas pris en compte, alors les poutres seront étudiées à la flexion simple.

Le calcul se fait en prenant les moments max en travées et en appuis puis on effectuera les vérifications nécessaires. La section des armatures calculée doit répondre aux conditions suivantes :

- ➤ Condition de non fragilité :  $A^{min} \ge 0.23 \times b \times d \times \frac{f_{t28}}{f_e}$
- $\triangleright$  Le pourcentage minimal d'armature :  $A_{min}^{BAEL} \ge 0.001 \times b \times h$

## VI.5.1. Poutre Principales : $(30 \times 50)$

On obtient les moments des poutres après modélisation par le logiciel Robot, respectivement dans les: E.L.U, E.L.S et accidentel.

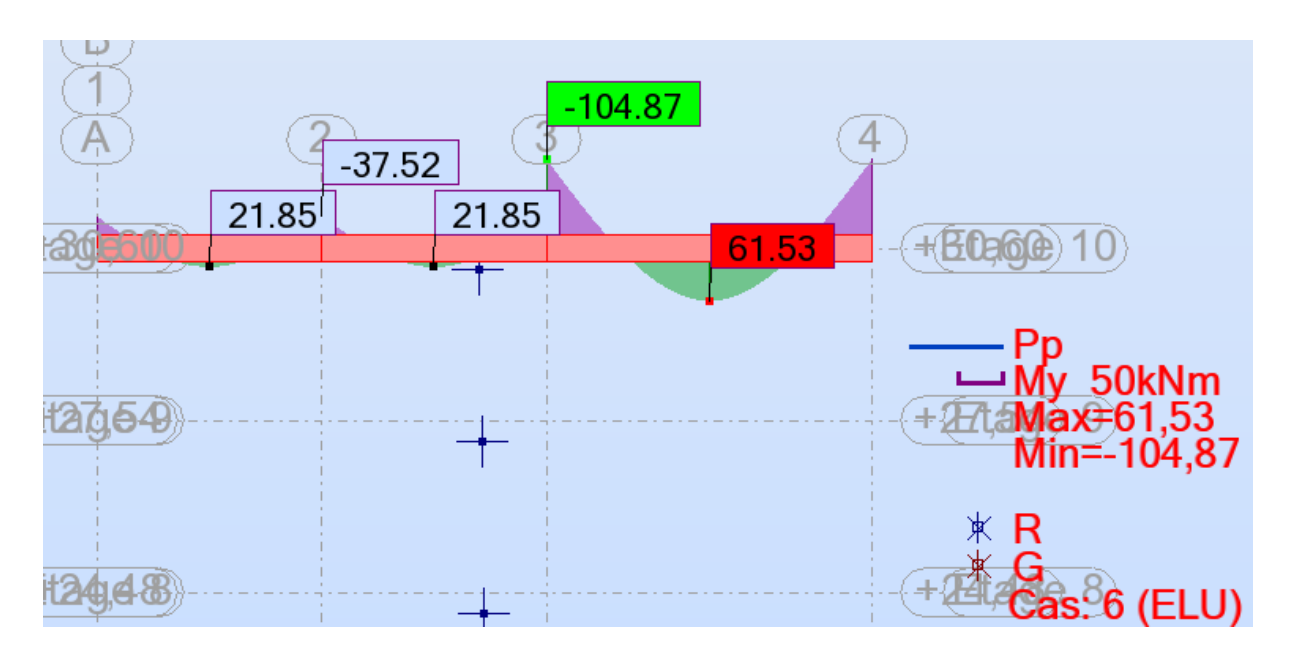


Figure VI. 3. Moment de flexion des poutres principales en appuis et en travée à l'E.L.U.

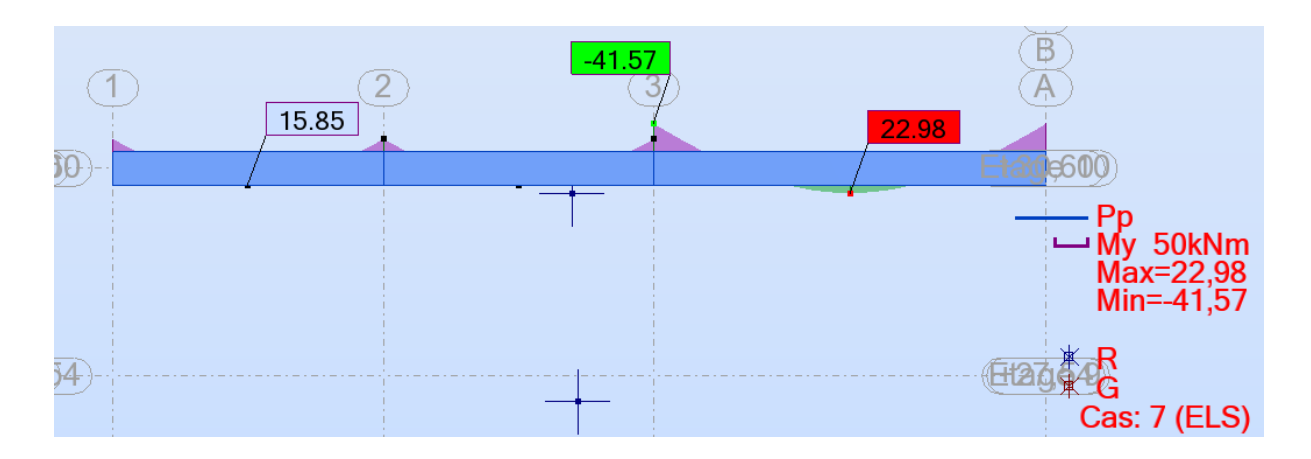


Figure VI. 4. Moment de flexion des poutres principales en appuis et en travée à l'E.L.S.

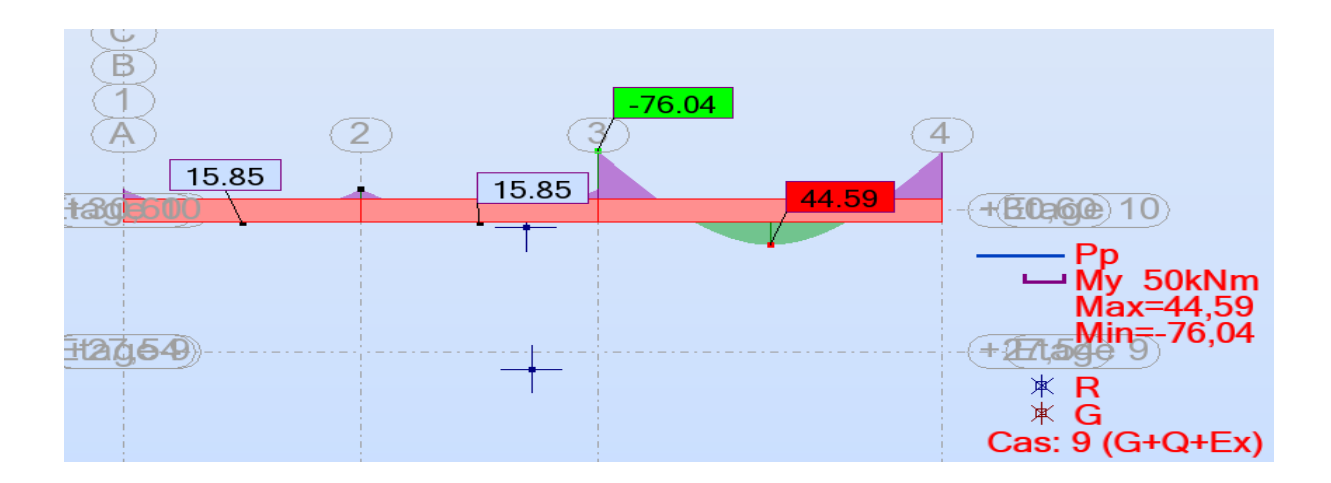


Figure VI. 5. Moment de flexion max des poutres principales en appuis dans le cas accidentel

Cas / Poutre	E.L.U (kN.m)		E.LS (kN.m)		Accidentel (kN.m)	
Poutre principales	Travée	Appui	Travée	Appui	Travée	Appui
	61.53	-104.89	22.98	-41.57	44.59	-76.06

Figure VI. 6. Récapitulatif des valeurs des moments dans les poutres et dus au combinaisons les plus défavorables.

Pour le calcul en prend le cas le plus défavorable des trois cas étudiés :

• En travée : (ELU)

## VI.5.2. Ferraillage longitudinal:

L'enrobage : 
$$C \ge 1 + \frac{\emptyset}{2}$$
 ;  $\emptyset = \frac{h}{10} = \frac{50}{10} = 5$ cm

$$C \ge 1 + \frac{5}{2} = 3.5cm$$
 Donc on adopte : C=4cm

$$\mu = \frac{Mt}{\overline{\sigma_b} \cdot b \cdot d^2} = \frac{61530}{14.2 \times 0.3 \times (460)^2} = 0.068 < \mu \ell = 0.3$$

La section est simplement armée  $\longrightarrow$  A'=0

$$\alpha$$
= 1.25( 1- $\sqrt{1}$  – 2 $\mu$  ) = 0.088

$$\beta$$
= (1-0.4 $\alpha$ ) = 0.964

$$A_t^u = \frac{61530}{348 \times 0.964 \times 0.46} = 3.98 \ cm^2$$

#### Sous combination accidental:

$$\mu = \frac{Mt}{\overline{\sigma_b} \cdot b \cdot d^2} = \frac{44590}{14.2 \times 0.3 \times (460)^2} = 0.049 < \mu \ell = 0.3$$

$$\alpha$$
= 1.25( 1- $\sqrt{1}$  – 2 $\mu$  ) = 0.062

$$\beta$$
= (1-0.4 $\alpha$ ) = 0.975

$$A_t^u = \frac{44590}{348 \times 0.975 \times 0.46} = 2.85 \ cm^2$$

Comb	μ	$\mu_l$	α	β	$A_{cal}$ (cm <sup>2</sup> )
ELU	0.068	0.392	0.088	0.964	3.98
ACC	0.049	0.392	0.062	0.975	2.85

Tableau VI. 5. Récapitulatif résultats de l'armature longitudinale.

#### • **ELS**:

- La fissuration est considérée comme peut nuisible, donc il n'y a aucune vérification concernant σs.
- ➤ la vérification de la contrainte max du béton n'est pas nécessaire si l'inégalité suivante est vérifiée :

$$\alpha \leq \overline{\alpha} = \frac{\gamma - 1}{2} + \frac{f_{c28}}{100}$$

$$\text{Avec}: \gamma = \frac{M_u}{M_s} \longrightarrow \gamma = \frac{61.53}{22.98} = 2.67$$

$$\longrightarrow \text{AN}: \overline{\alpha} = \frac{2.67 - 1}{2} + \frac{25}{100} \longrightarrow \overline{\alpha} = 1.085$$

$$\text{Donc} \qquad \alpha = 0.088 < \overline{\alpha} = 1.085 \dots (CV)$$

## VI.5.3. Condition de non fragilité : BAEL91 (Article A.4.2)

$$A^{min} \ge 0.23 \times b \times d \times \frac{f_{t28}}{f_e} = 0.23 \times 30 \times 46 \times \frac{2.1}{400} = 1.66 \text{ cm}^2$$

## VI.5.4. Le pourcentage minimal d'armature :

$$A_{min}^{BAEL} \ge 0.001 \times b \times h = 0.001 \times 30 \times 50 = 1.5 \text{ cm}^2$$

## VI.5.5. pourcentage minimal d'après le RPA99V2003 (Art7.5.2.1) :

$$A_{min}^{RPA} = 0.5\%b. h = 0.005 \times 30 \times 50 = 7.5cm^2$$

#### En appuis:

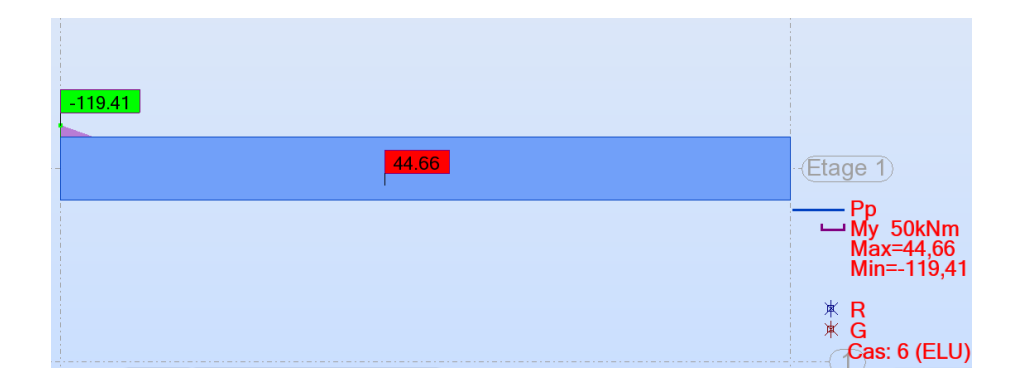


Figure VI. 7. Moment de flexion max des poutres principales en appuis

Comb	$M_{app}(KN.m)$	μ	$\mu_l$	α	β	$A_{cal}$ (cm <sup>2</sup> )
ELU	-119.41	0.132	0.392	0.177	0.929	8.02

## Tableau Récapitulatif:

	Acal (cm <sup>2</sup> )	A BAEL (cm²) min	A RPA (cm²) min	A <sup>BAEL</sup> (cm²)	Amax	A adopt (cm <sup>2</sup> )
Travée	3.98	1.5	7.5	1.66	3.98	4HA16 = 8.04
Appuis	8.02	1.5	7.5	1.66	8.02	4HA16= 8.04

Tableau VI. 6. Section d'armatures longitudinales des poutres principales.

## VI.5.6. Vérification de la flèche : BAEL91 (art.6.5.1)

$$\frac{h_t}{l} > \frac{M_t}{10.M_0} = > \frac{50}{580} = 0.086 > \frac{0.85M_t}{10.M_0} = 0.085...$$
(C.V).

$$\frac{A}{b.d} \le \frac{4.2}{f_e} \implies \frac{8.04}{30.46} = 0.0058 \le \frac{4.2}{400} = 0.01 \dots (C.V)$$

$$\frac{h_t}{l} \ge \frac{1}{16} = > \frac{50}{580} = 0.086 > \frac{1}{16} = 0.062 \dots (C.V)$$

## VI.5.7. Vérification de la contrainte de cisaillement : BAEL 91 (art. A.5.1.1)

On obtient les efforts tranchants des poutres après modélisation par le logiciel Robot :

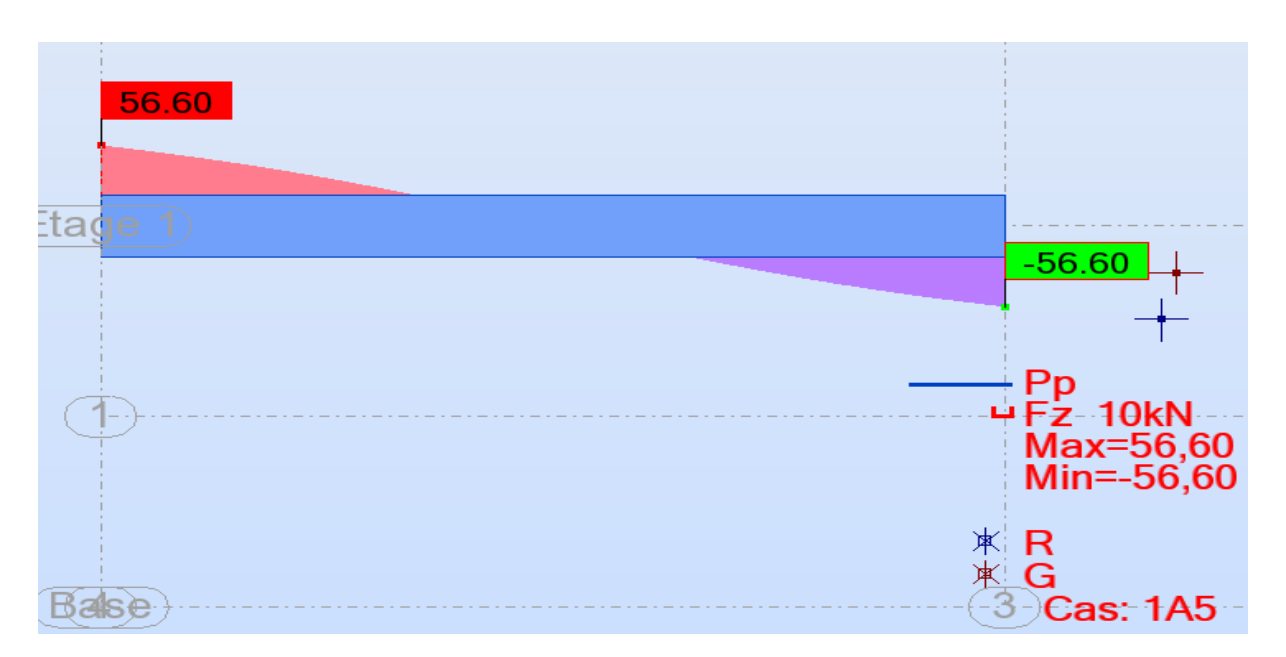


Figure VI. 8. Effort tranchant max des poutres principales.

$$\tau_u = \frac{T_u}{b \times d}$$
; avec Tu = 56.60 KN

$$\Rightarrow \tau_u = \frac{56600}{300 \times 460} = 0.41 MPa$$

La fissuration peu nuisible  $\rightarrow \overline{\tau_u} = \min(0.2 \frac{f_{c28}}{\gamma_b}; 5MPa)$ 

$$\overline{\tau_u} = \min(2.5; 5) = 2.5MPa$$

$$\Rightarrow \tau_u = 0.41 < \overline{\tau_u} = 2.5 \dots (C.V)$$

#### VI.5.8. Les armatures transversales :

- Dans la Zone nodale : D'après RPA2003 (art.7.5.2, 2)

$$S_t \le \min(\frac{h}{4}; 12\emptyset_l; 30cm)$$

$$S_t \le \min(12.5; 12; 30cm) = 12cm$$

on prend  $S_t = 10cm$ 

- Dans la Zone courante :

$$S_t < \frac{h}{2} = 25cm \rightarrow S_t = 15cm$$

## VI.5.9. Section minimal des armatures transversales :

$$S_t \le \frac{A_t \times f_e}{0.4 \times b} \to A_t \ge \frac{0.4 \times b \times S_t}{f_e} = \frac{0.4 \times 30 \times 15}{400} = 0.45 cm^2$$

## VI.5.10. Condition exigée par le RPA99/V2003 :

La quantité d'armatures transversales minimales est donnée par :

$$A_t = 0.003.S_t.b \\$$

$$A_t = 0.003.15.30 = 1.35 \text{ cm}^2$$

## VI.5.11. Poutre secondaire : $(30 \times 40)$

On obtient les moments des poutres après modélisation par le logiciel Robot, respectivement dans les: E.L.U, E.L.S et accidentel.



Figure VI. 9. Moment de flexion des poutres secondaire en appuis et en travée à l'E.L.U.



Figure VI. 10. Moment de flexion des poutres secondaire en appuis et en travée dans le cas ELS

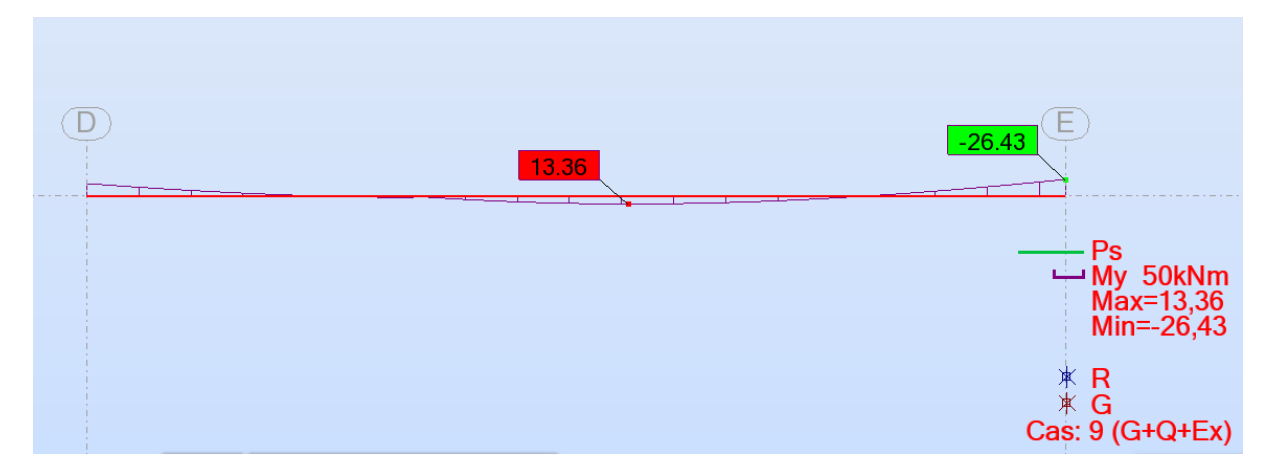


Figure VI. 11. Moment de flexion des poutres secondaire en appuis et en travée dans le cas accidentel

Cas / Poutre	E.L.U (kN.m)		E.LS (kN.m)		Accidentel (kN.m)	
Poutre secondaire	Travée	Appui	Travée	Appui	Travée	Appui
	37.99	-52.20	27.67	-52.20	13.36	-26.43

Tableau VI. 7. Récapitulatif des valeurs des moments dans les poutres et dus au combinaisons les plus défavorables.

## VI.5.12. Ferraillage longitudinal:

• En travée : (ELU)

L'enrobage : 
$$C \ge 1 + \frac{\emptyset}{2}$$
 ;  $\emptyset = \frac{h}{10} = \frac{40}{10} = 4$ cm

$$C \ge 1 + \frac{4}{2} = 3cm$$
 Donc on adopte : C=4cm

$$\mu = \frac{Mt}{\overline{\sigma_b} \cdot b \cdot d^2} = \frac{37990}{14.2 \times 0.3 \times (360)^2} = 0.068 < \mu \ell = 0.3$$

La section est simplement armée → A'=0

$$\alpha$$
= 1.25( 1- $\sqrt{1}$  – 2 $\mu$  ) = 0.088

$$\beta$$
= (1-0.4 $\alpha$ ) = 0.964

$$A_t^u = \frac{37990}{348 \times 0.964 \times 0.36} = 3.14 \ cm^2$$

## • Sous combination accidental:

$$\mu = \frac{Mt}{\overline{\sigma_b} \cdot b \cdot d^2} = \frac{13360}{14.2 \times 0.3 \times (360)^2} = 0.024 < \mu \ell = 0.3$$

La section est simplement armée → A'=0

$$\alpha$$
= 1.25( 1- $\sqrt{1}$  – 2 $\mu$  ) = 0.03

$$\beta$$
= (1-0.4 $\alpha$ ) = 0.98

$$A_t^u = \frac{13360}{348 \times 0.98 \times 0.36} = 1.08 \ cm^2$$

Comb	μ	$\mu_l$	α	β	$A_{cal}$
					(cm²)
ELU	0.068	0.392	0.088	0.964	3.14
ACC	0.024	0.392	0.03	0.98	1.08

Tableau VI. 8. Récapitulatif résultats de l'armature longitudinale des poutres secondaires

- **ELS**:
- La fissuration est considérée comme peut nuisible, donc il n'y a aucune vérification concernant σs.
- ➤ la vérification de la contrainte max du béton n'est pas nécessaire si l'inégalité suivante est vérifiée :

$$\alpha \leq \overline{\alpha} = \frac{\gamma - 1}{2} + \frac{f_{c28}}{100}$$

$$\text{Avec}: \gamma = \frac{M_u}{M_s} \longrightarrow \gamma = \frac{37.99}{27.67} = 1.37$$

$$\longrightarrow \text{AN}: \ \overline{\alpha} = \frac{1.37 - 1}{2} + \frac{25}{100} \longrightarrow \overline{\alpha} = 0.43$$

$$\text{Donc} \qquad \alpha = 0.088 < \overline{\alpha} = 0.43 \dots (CV)$$

• Condition de non fragilité : BAEL91 (Article A.4.2)

$$A^{min} \geq 0.23 \times b \times d \times \frac{f_{t28}}{f_e} = 0.23 \times 30 \times 36 \times \frac{2.1}{400} = 1.30 \ cm^2$$

• Le pourcentage minimal d'armature :

$$A_{min}^{BAEL} \ge 0.001 \times b \times h = 0.001 \times 30 \times 40 = 1.2 \text{ cm}^2$$

• pourcentage minimal d'après le RPA99V2003 (Art7.5.2.1) :

$$A_{min}^{RPA} = 0.5\%b. h = 0.005 \times 30 \times 40 = 6cm^2$$

## En appuis:

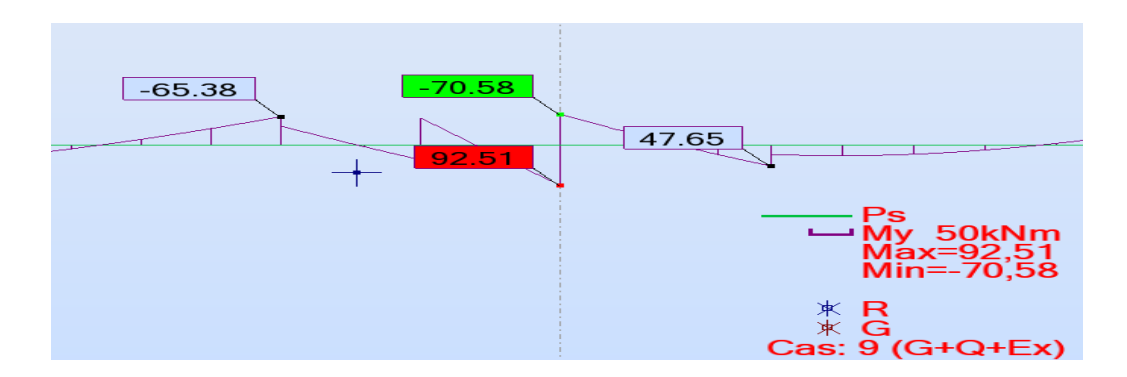


Figure VI. 12. Moment de flexion max des poutres secondaires en appuis

Comb	Марр	μ	$\mu_l$	α	β	$A_{cal}$
	(KN.m)					(cm²)
ELU	92.51	0.167	0.392	0.229	0.908	8.13

## Tableau Récapitulatif:

	Acal (cm <sup>2</sup> )	A <sup>BAEL</sup> (cm <sup>2</sup> )	A <sup>RPA</sup> (cm <sup>2</sup> )	A <sup>BAEL</sup> <sub>C.N.F</sub> (cm <sup>2</sup> )	Amax	A adopt (cm <sup>2</sup> )
Travée	3.14	1.2	6	1.3	3.14	4HA12 = 4.52
Appuis	8.13	1.2	6	1.3	8.13	4HA12+4HA12= 9.04

Tableau VI. 9. Section d'armatures longitudinales des poutres secondaires.

## VI.5.13. Vérification de la contrainte de cisaillement : BAEL 91 (art. A.5.1.1)

On obtient les efforts tranchants des poutres après modélisation par le logiciel Robot :



Figure VI. 13. Effort tranchant max des poutres secondaires.

$$\tau_u = \frac{T_u}{b \times d}$$
; avec Tu = 38.56 KN

$$\Rightarrow \tau_u = \frac{38560}{300 \times 360} = 0.35 MPa$$

La fissuration peu nuisible  $\rightarrow \overline{\tau_u} = \min(0.2 \frac{f_{c28}}{\gamma_b}; 5MPa)$ 

$$\overline{\tau_u} = \min(4.34; 5) = 4.34 MPa$$

$$\Rightarrow \tau_u = 0.35 < \overline{\tau_u} = 4.34 \dots (C.V)$$

- Les armatures transversales :
  - Dans la Zone nodale : D'après RPA2003 (art.7.5.2, 2)

$$S_t \leq \min(\frac{h}{4}; 12\emptyset_l; 30cm)$$

$$S_t \le \min(10; 12; 30cm) = 10cm$$

on prend  $S_t = 10cm$ 

- Dans la Zone courante :

$$S_t < \frac{h}{2} = 20cm \rightarrow S_t = 15cm$$

• Section minimal des armatures transversales :

$$S_t \leq \frac{A_t \times f_e}{0.4 \times b} \rightarrow A_t \geq \frac{0.4 \times b \times S_t}{f_e} = \frac{0.4 \times 30 \times 15}{400} = 0.45 cm^2$$

• Condition exigée par le RPA99/V2003 :

La quantité d'armatures transversales minimales est donnée par :

$$A_t = 0.003.S_t.b$$

$$A_t = 0.003.15.30 = 1.35 \text{ cm}^2$$
 on adopte  $3HA8 = 1.51 \text{ cm}^2$ 

# VI.5.14. Présentation du ferraillage :

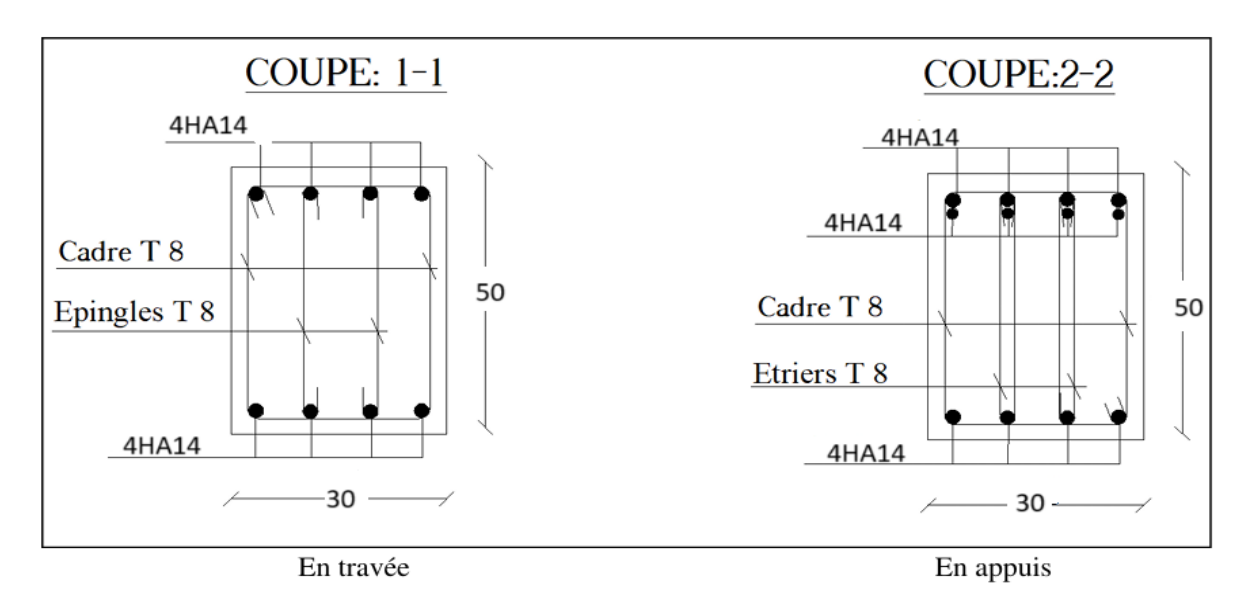


Figure VI. 14. Schéma de ferraillage des poutres principales.

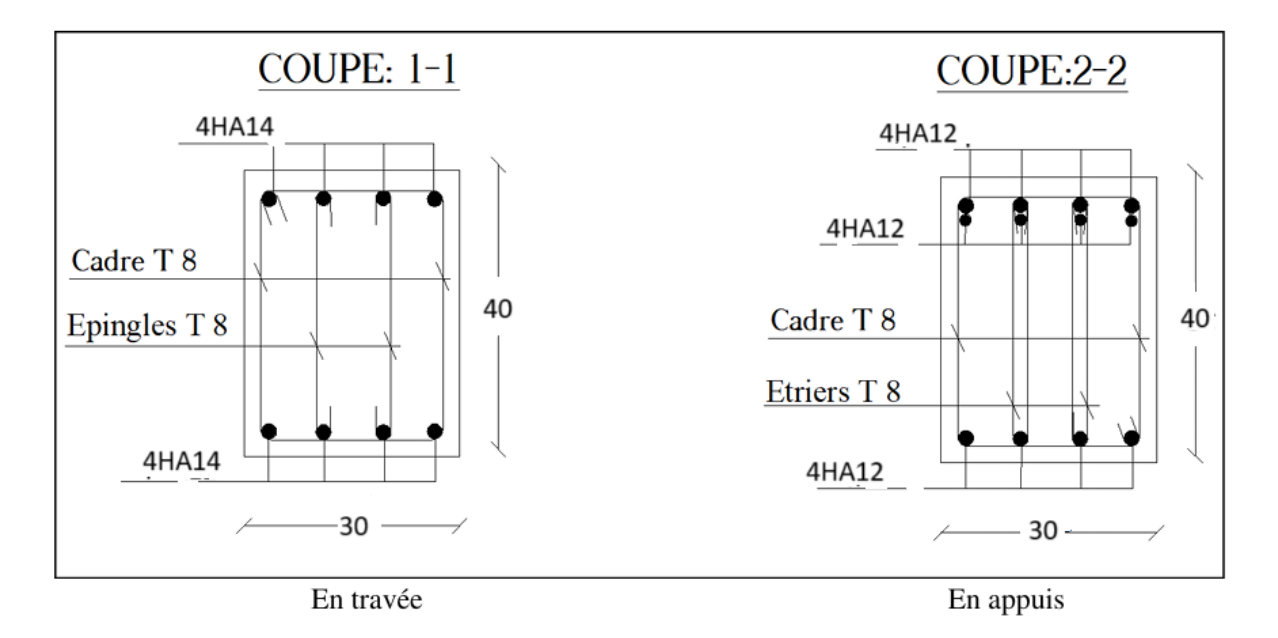


Figure VI. 15. Schéma de ferraillage des poutres secondaires.

# VI.6. Ferraillage des voiles :

#### VI.6.1. Introduction:

Les voiles sont des éléments de contreventement assurant la stabilité de l'ouvrage sous l'action des sollicitations horizontales dues à la force sismique et aussi assurant la transmission des charges verticales aux fondations.

Les voiles seront calculés à la flexion composée sous l'effet des sollicitations qui engendrent le moment fléchissant et l'effort normal déterminés selon les combinaisons comprenant la charge permanente, la charge d'exploitation ainsi que les charges sismiques.

#### VI.6.2. Types d'armatures :

# VI.6.2.1. Armatures verticales: selon l'RPA.99.art.7.7.4.1

Les armatures vertical sera disposé de telle sorte qu'il reprendra les contraintes de la flexion composée, en tenant compte des prescriptions du RPA 99/version 2003, citées ci-dessous :

- L'effort de traction engendré dans une partie du voile doit être repris en totalité par les armatures dont le pourcentage minimal est de 0.2% de la section horizontal du béton tendu.
- Les barres verticales des zones extrêmes devraient être accrochées avec des cadres horizontaux dont l'espacement ne doit pas être supérieur à l'épaisseur du voile.
- Les barres verticales de ces derniers doivent être menues de crochets (jonction de recouvrement).
- A chaque extrémité du voile (trumeau), l'espacement des barres doit être réduit de moitié sur 1/10 de la longueur du voile, cet espacement est au plus égal à 15cm (le ferraillage vertical doit être symétrique en raison du changement du signe du moment).
- Le pourcentage minimal d'armatures longitudinales des trumeaux dans chaque direction est donné comme suit :
  - ✓ Globalement dans la section du voile égale a 0.15%
  - ✓ En zone courante égale a 0.10%.
- Si il y a des efforts importants de compression agissant sur l'extrémité, les barres verticales doivent respecter les conditions imposées au poteau.

#### VI.6.2.2. Armatures transversales:

Les armatures transversales sont des cadres disposés selon la hauteur du voile permettant la couture des fissures inclinées à 45° engendrées par l'effort tranchant. Ces barres doivent être munies de crochets à 135° ayant une longueur de 10φ.

#### Règles communes :

Dans le calcul du ferraillage des voiles, le RPA 99/version 2003 préconise les recommandations suivantes :

- L'espacement des barres horizontales et verticales doit être inférieur à la plus petite des deux valeurs suivantes :
  - ✓  $S \le 1.5a$  (a: Epaisseur du voile).
  - $\checkmark$   $S \leq 30cm$
- Les deux nappes d'armatures doivent être reliées au moins avec quatre épingles au mètre carré. Dans chaque nappe, les barres horizontales doivent être disposées vers l'extérieur, Le diamètre des barres verticales et horizontales des voiles (à l'exception des zones d'about) ne devrait pas dépasser 1/10 de l'épaisseur du voile.
- Les longueurs de recouvrement doivent être de 40φ pour les barres situées dans la zone ou le renversement du signe des efforts est possible.
- Les longueurs de recouvrement doivent être de 20φ pour les barres situées dans les zones comprimées sous l'action de toutes les combinaisons possibles des charges.

#### VI.6.3. Calcul du ferraillage :

Les sollicitations du voile le plus sollicité :

La combinaison qui nous donne le cas le plus défavorable est la combinaison accidentelle sismique :  $\mathbf{G} + \mathbf{Q} + \mathbf{E}$ 

$$M = 557,62 \text{ kN.m}$$
;  $N = -47312 \text{ KN}$ 

Voile	l (m)	h (m)	d (m)	e (m)	c (m)
	3,06	2	1.95	0.15	0.05

#### VI.6.4. Armatures verticales:

$$e_0 = \frac{M}{N} = \frac{557.62}{473.12} = 1.17 m$$

$$A = (0.337h - 0.81C)b.h.\sigma_b$$

$$A=(0.337 \times 2 - 0.81 \times 0.05) \times 150 \times 2000 \times 18.5$$

$$A = 3515.925 KN.m$$

$$B = N_u(d - c') - M_{ua}$$

$$M_{ua} = M_u + N_u \left( d - \frac{h}{2} \right) = 557.62 - 473.12(1.95 - 1) = 108.15$$

$$\rightarrow B = 473.12(1.95 - 0.05) - 108.15 = 790.77 \, KN. m$$

Comme  $A > B \rightarrow$  donc la section est partiellement comprimée.

### • Vérification de flambement :

$$\frac{l_f}{h} \le \max(15; 20. \frac{e}{h})$$

$$\frac{l_f}{h} = \frac{0.7 \times 3.06}{2} = 1.07$$
 ;  $\max(15; 19.5) = 19.5$ 

$$\frac{l_f}{h} = 1.07 < \max\left(15; 20.\frac{e}{h}\right) = 19.5 \dots (c.v)$$

# • Calcul de ferraillage :

- Calcul des armatures à la flexion simple :

$$\mu = \frac{M}{b.d^2.\sigma_b} = \frac{108150}{0.15 \times 1950^2 \times 18.5} = 0.01 < \mu_l$$

La section est simplement armée → A'=0

$$\alpha$$
= 1.25( 1- $\sqrt{1}$  – 2 $\mu$  ) = 0.012

$$\beta$$
= (1-0.4 $\alpha$ ) = 0.99

$$A_{fs} = \frac{108150}{400 \times 0.99 \times 1.95} = 1.40 \ cm^2$$

- Calcul des armatures à la flexion composée :

$$A_{\text{cal}} = A_{fs} - \frac{N}{100 \times \sigma_s} = 1.40 + \frac{473120}{100 \times 400} = 13.22 \text{ cm}^2$$

#### VI.6.5. L'armature verticale minimale :

les caractéristiques géométriques du voiles :

L(m)	e(m)	y = L/2=	S(m²)	I(m <sup>4</sup> )	
2	0.15	1	0.3	0.1	

Alors on calcule les contraintes  $\sigma_1$  et  $\sigma_2$ :

$$\sigma_1 = \frac{N}{S} + \frac{M}{I}.y \rightarrow \sigma_1 = \frac{473.12}{0.3} + \frac{557.62}{0.1}.1 = 7.15 MPa$$

$$\sigma_2 = \frac{N}{S} - \frac{M}{I}.y \rightarrow \sigma_1 = \frac{473.12}{0.3} - \frac{557.62}{0.1}.1 = -3.99 MPa$$

Comme  $\sigma_2 < 0$  donc on calcule la longueur de la zone tendue :

$$L_t = L\left(\frac{|\sigma_2|}{|\sigma_1| + |\sigma_2|}\right) \to L_t = 2\left(\frac{3.99}{7.15 + 3.99}\right) = 0.71 \text{ m}$$

#### VI.6.6. La section d'armature minimale dans la zone tendue :

$$A_{min}^{RPA} = 0.2\% \times L_t \times a \rightarrow A_{min}^{RPA} = 0.002 \times 71 \times 15 = 2.13 \ cm^2$$

### VI.6.7. Le pourcentage minimum d'armatures verticales est donné comme suit :

**♣ Globalement dans la section du voile :** (RPA99/V 2003 Art.7.7.4.3)

$$A_{min}^G = 0.15\% \times b \times h \rightarrow A_{min}^G = 0.0015 \times 15 \times 200 = 4.5cm^2$$

Donc on prend les sections suivantes :

### Dans la zone tendue :

On prend la section max entre  $(A_{min}^{RPA}; A_{cal})$ 

$$A_s^t = \max(2.13; 13.22) = 13.22 cm^2$$

### **Les En zone Courante :**

$$h' = h-2L_t = 2-2 \times 0.71 = 0.58 \text{ m}$$

$$A_s^C = 0.1\% \times b \times h' \rightarrow A_s^C = 0.001 \times 15 \times 58 = 0.87 \text{ cm}^2$$

### La section totale d'armatures dans le voile :

$$A_s^{total} = 2A_s^t + A_s^c \rightarrow A_s^{total} = 2 \times 13.22 + 0.87 = 27.31cm^2$$

# **L'espacement:**

D'après 19RPA99/v2003, art.7.7.4.3, l'espacement est comme suit :

$$S < \min(1.5a; 30cm) = \min(1.5 \times 15; 30) = 22.5cm$$

On prend S=20cm

L'espacement dans l'extrémité du voile, d'après 19art.7.7.4.1, RPA99 :

$$S' < \frac{S}{2} = \frac{20}{2} = 10cm$$
 on prend S'=10cm

Donc la répartition des armatures verticales :

$$A_{\text{nap1}} = A_{\text{nap2}} = \frac{A_{total}}{2} = \frac{27.31}{2} = 13.65 \text{ cm}^2$$

Donc on adopte 8HA12+6HA10 = 13.76cm<sup>2</sup>/nap

8HA12 : Pour les deux zones tendues.
6HA10 : Pour la zone courante

#### VI.6.8. Vérification des contraintes de cisaillement :

$$\sigma_b < \overline{\sigma_b} = 0.2 f_{c28} = 5 MPa$$

$$\sigma_b = \frac{T}{b.d}$$
 avec T = 1126.81 KN  $\rightarrow \sigma_b = \frac{1126810}{150 \times 1950} = 3.85 MPa$ 

Donc 
$$\sigma_b = 3.85 < \overline{\sigma_b} = 5$$
 .....(C.V)

# VI.6.9. Armatures horizontales:

Le pourcentage minimum d'armatures horizontales pour une bande de 1 m de largeur. Globalement dans la section du voile :(RPA99 version 2003) 7.7.4.3

$$A_{min}^G = 0.15\% \times b \times 1 \ \to \ A_{min}^G = 0.0015 \times 15 \times 100 = 2.25 cm^2$$

- En zone courante :

$$A_s^C = 0.1\% \times b \times 1 \rightarrow A_s^C = 0.001 \times 15 \times 100 = 1.5 cm^2$$

Donc on prend :  $A_{hor}=4\emptyset 10=3.14 \text{ cm}^2/\text{ml}$ 

# VI.6.10. Schéma de ferraillage :

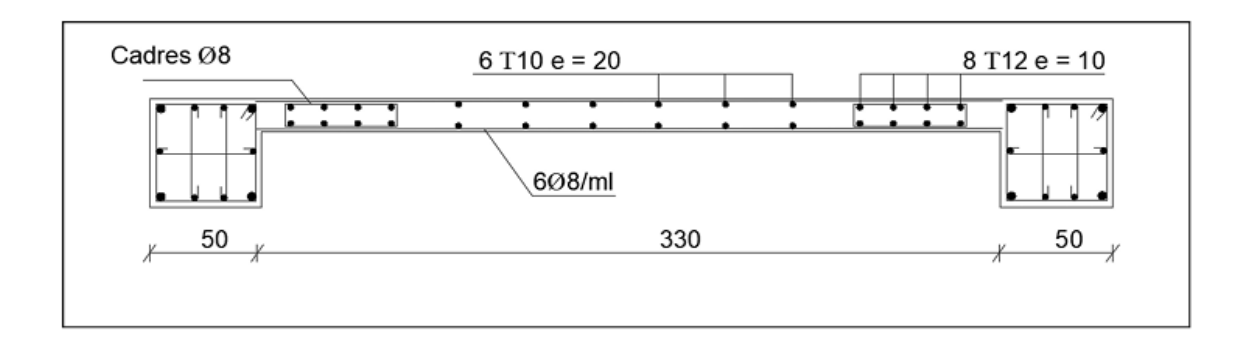


Figure VI. 16. Schéma de ferraillage du voile.



# **Chapitre VII**

Etude de L'infrastructure



#### VII.1. Introduction:

Les fondations d'une construction sont constituées par les parties de l'ouvrage qui sont en contact avec le sol auquel elles transmettent les charges de la superstructure ; elles constituent donc la partie essentielle de l'ouvrage puisque de leurs bonnes conception et réalisation découle la bonne tenue de l'ensemble.

# VII.2. Différents types de fondations :

- Fondation superficielle (Semelles isolées, filantes, radiers).
- Semi profondes (les puits).
- Profondes (les pieux).
- Les fondations spéciales (les parois moulées et les cuvelages...).

# VII.3. Le choix de type de fondation :

Le choix de type de fondation dépend de :

- Type d'ouvrage à construire.
- La nature et l'homogénéité du bon sol.
- La capacité portante du terrain de fondation.
- La raison économique.
- La facilité de réalisation.

## Combinaison d'action:

- ELS (G + Q) pour le dimensionnement.
- ELU (1.35G + 1.5Q) pour le ferraillage.
- Accidentelle (0.8G  $\pm$  E ; G+Q $\pm$ E) pour la vérification.

# Etude géotechnique :

Le bâtiment est à usage d'habitation implanté dans la Zone IIa les données géotechniques préliminaires de l'étude de sol du projet

### sont:

- Contrainte admissible :  $\overline{\sigma_{sol}} = 1.8 \ bar$  pour l'ensemble du site.
- Type de sol : classé dans la catégorie S3 selon le RPA 2003 (meuble).

- Ancrage des fondations :  $d = \frac{H_T}{10} = \frac{30.6}{10} = 3.06$  m.

# > Remarque:

Nous proposons en premier lieu de vérifier la condition suivante qui nous permet de choisir soit un radier général soit des semelles filantes.

La surface des semelles doit être inférieure à 50% de la surface totale du bâtiment.  $\frac{S_s}{S_h} < 50\%$ 

# VII.4. Vérification du chevauchement (Ss / Sb) :

 $S_S \ / \ S_b < 50 \ \% \ c'est-\grave{a}-dire : il-y \ a \ des \ semelles \ isolées \ sous \ poteaux \ et \ filantes \ sous \ voile.$   $S_S \ / \ S_b \ > \ 50 \ \% \ c'est-\grave{a}-dire \ : \ il-y \ a \ radi\'e \ g\'en\'eral \ comme \ type \ de \ fondation.$ 

Sb: la surface totale du bâtiment.

Ss: La surface totale de la semelle

La surface de la semelle est donnée par :

$$S_S \geq \frac{N_{ser}}{\sigma_{sol}}$$

N<sub>ser</sub>: La somme des réactions des poteaux et voiles à l'E.L.S.

$$\sigma_{sol} = 1.80 \text{ bar} = 180 \text{ KN/m}^2$$

$$N_{ser} = 37753,36 \text{ KN}$$

$$S_s \ge \frac{37753.36}{180} = 209.74 \, m^2$$

Surface total du bâtiment :  $S_b = 299.4 \text{ m}^2$ 

### **Vérification :**

$$\frac{S_s}{S_b} = \frac{209.74}{299.4} = 0.70 = 70\% > 50\%$$

La surface totale de la semelle dépasse 50% de la surface d'emprise du bâtiment, ce qui induit le chevauchement de ces semelles.

Chapitre VII : Etude de L'infrastructure

Pour cela on a opté pour un radier général comme type de fondation, ce type de fondation

présente plusieurs avantages qui sont :

• L'augmentation de la surface de la semelle qui minimise la forte pression apportée par

la Structure.

• La réduction des tassements différentiels.

• La facilité d'exécution.

VII.5. Etude du radier :

Un radier est une dalle pleine, éventuellement nervurée, constituant l'ensemble des fondations

du bâtiment, il s'étend sur toute la surface de l'ouvrage.

VII.5.1. Pré dimensionnement du radier :

L'épaisseur du radier doit satisfaire les conditions suivantes :

a) Condition forfaitaire:

• <u>La dalle</u>:  $h \ge \frac{L_{max}}{20}$ 

Avec:

 $L_{max} = 5.80 \text{ m}$  (La longueur maximale entre axes des poteaux)

Donc: h > 29 cm on prend  $h_d=50$ cm

• <u>La nervure</u> :  $h \ge \frac{L_{max}}{10}$ 

Donc: h > 58 cm. On prend  $h_n=60$ cm

b) Condition d'épaisseur minimale :

La hauteur du radier doit avoir au minimum 25 cm ( $h_{min} \ge 25$  cm)

134

# c) Condition de la rigidité :

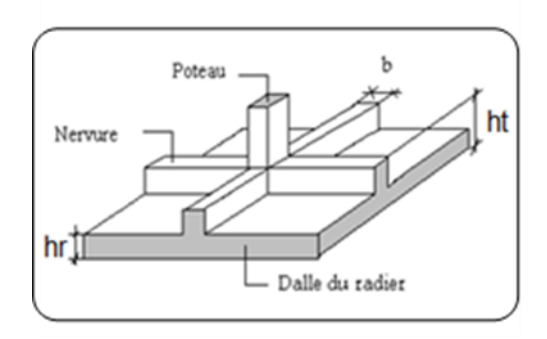
$$L_{max} = \frac{\pi \times L_e}{2}$$

 $L_e$ : Longueur élastique.

$$L_e = \sqrt[4]{\frac{4E \times I}{K \times b}}$$

E: Module d'élasticité du béton

E = 3216420t/m



 $\mathbf{K}$ : coefficient de raideur du sol, pour les sols moyenne résistance il est pris égal à (K=4100  $t/m^3$ ).

**b** : largeur du radier (bande de 1m).

$$donc: h \ge \sqrt[3]{\frac{48K \times L_{max}^4}{E \times \pi^4}}$$

$$L_{max} = 5.80 \text{ m}$$
,  $E = 3216420 \text{ t/m}^2$ ,  $K = 4100 \text{ t/m}^3$ 

$$h \ge \sqrt[3]{\frac{48 \times 4100 \times 5.8^4}{3216420 \times \pi^4}} \Rightarrow h \ge 0.89 \text{ m}$$

#### • Conclusion:

La valeur de l'épaisseur du radier à adopter est :

 $h_r = \max (89 \text{ cm}, 50 \text{ cm}, 60 \text{ cm})$ 

- On prend :  $h_r = 90 \text{ cm}$ 

#### VII.5.2. Détermination des efforts :

 $\triangleright$  ELU : Nu = 51645,40 KN

 $\triangleright$  ELS: Ns = 37753,36 KN

### VII.5.3. Détermination de la surface nécessaire du radier :

ELU: 
$$S_{\text{radier}} \ge \frac{N_{\text{u}}}{\sigma_{\text{sol}}} = \frac{51645.40}{180} = 286.91 \ m^2$$

ELS: 
$$S_{\text{radier}} \ge \frac{N_{\text{ser}}}{\sigma_{\text{sol}}} = 209.74 \, m^2$$

$$S_{\text{bâtiment}} = 299.4 \text{ m}^2 > \text{max} (S1; S2) = 286.91 \text{ m}^2$$

La surface du bâtiment est supérieure à la surface de radier, On ajoute un débordement (D).

L'emprise totale avec un débordement (D) sera :

$$S' = S + D \times 2 \times (Lx + Ly)$$

S': La surface final du radier.

S : Surface totale du bâtiment.

D : Débordement.

Ly: Longueur en plan (13.8 m)

Lx: Largeur en plan (23 m)

### VII.5.4. Calcul de débordement D :

$$D \ge Max (h_r/2; 30 cm).$$

Où: 
$$h_n = 90 \text{ cm} => D \ge \text{Max } (45; 30 \text{ cm}).$$

On prend :  $\mathbf{D} = 0.45 \text{ m}$  ; alors l'emprise totale avec D est :

$$S' = 299.4 + 0.45 \times 2(13.8 + 23) = 332.52 \text{ m}^2$$

### VII.5.5. Les vérifications nécessaires :

### VII.5.5.1. Vérification de la contrainte de cisaillement : BAEL 91 (art.A.5.1)

$$\tau_u = \frac{T_u}{b.d} \le \min(0.15 \frac{f_{c28}}{\gamma_b}; 5MPa)$$

Avec: b = 100 cm; d = 0.9 h = 80.1 cm

$$T_u^{max} = q_u. \frac{L_{max}}{2} \Rightarrow T_u^{max} = \frac{N_u.\,b}{s}. \frac{L_{max}}{2} = \frac{51645,40\,\times 1}{331.784} \times \frac{5.8}{2} = 451.41\,\text{KN}$$

$$\tau_{\rm u} = \frac{_{451.41\times 10^3}}{_{1000\times 801}} = 0.56 \text{ MPa } < \overline{\tau_{\rm u}} = 2.5 \text{MPa} \implies \text{Condition v\'erifi\'ee}.$$

# VII.5.5.2. Vérification au poinçonnement [BAEL91 (article A.5.2.42)]

On doit vérifier la condition suivante :

$$N_u \leq \frac{0.045 \times \mu_c \times h \times f_{c28}}{\gamma_b}$$
 avec :

N<sub>U</sub>: charge revenant plus chargé.

 $\mu_c$ : Périmètre de la surface d'impact projeté sur le plan moyen

$$\mu_c = 2(a+b+2h_r) = 2(0.5+0.5+2(0.90)) = 5.6m$$

h: la hauteur de la dalle du radier.

$$N_u = 2020.98 \text{ KN} < \frac{0.045 \times 5600 \times 900 \times 25}{1.5} = 3780 \text{ KN}....(\text{C.V})$$

### VII.5.5.3. Vérification de l'effort de sous pression :

 $W \ge \alpha. \gamma. h. S$ 

Avec W: Poids total du bâtiment à la base du radier

 $\alpha$ : Coefficient de sécurité vis-à-vis du soulèvement ( $\alpha$ =1.5)

 $\gamma$ : Poids volumique de l'eau ( $\gamma$ =10KN/m<sup>3</sup>)

S: Surface du radier (S=332.52 m<sup>2</sup>)

h : Profondeur de l'infrastructure (h=2.754m)

$$W = 34808.4 > 1.5 \times 10 \times 2.754 \times 332.52 = 13736.4 \, KN...(C.V)$$

# VII.5.5.4. Vérification de la stabilité du radier sous $(0.8G \pm E)$ :

$$e = \frac{M}{N} \le \frac{L}{4}$$

Avec e : L'excentricité de la résultante des charges verticales.

M : La résultante de moment dû au séisme.

N : la résultante charge verticale permanente. (N = 0.8G + E)

	Sens x-x	Sens y-y
N <sub>total</sub>	26625,39	26625,39
M(kN.m)	188,89	2366,95
e(m)	0.007	0.088
L/4	5.75	3.45
Condition	Vérifiée	Vérifiée

Tableau VII. 1. Vérification de la stabilité du radier sous (0.8G± E)

## VII.5.5.5. Vérification au non soulèvement des fondations (G+Q+E):

$$\sigma_m \le \overline{\sigma_{sol}} \text{ avec} : \sigma_m = \frac{3\sigma_1 + \sigma_2}{4} ; \sigma_{1.2} = \frac{N}{S_r} \pm \frac{M \times V}{I}$$

Sens x-x : Lx = 23m ; Vx = 11.5m ;  $I_{xx}$  = 17344.05 m<sup>4</sup>

Sens y-y: Ly = 13.8m; Vx = 6.9m;  $I_{yy} = 9834.55 \text{ m}^4$ 

	Sens x-x	Senx y-y
N (kN)	26625,39	26625,39
M (Kn.m)	188,89	2366,95
$\sigma_1$	80.16	81.73
$\sigma_2$	79.94	78.41
$\sigma_m$	80.1	80.9
$\sigma_m < \overline{\sigma_{sol}} = 150 \text{Kn/m}^2$	C.V	C.V

Tableau VII. 2. Vérification au non soulèvement des fondations (G+Q+E)

# VII.5.6. Ferraillage du radier :

- Le radier fonctionne comme un plancher renversé dont les appuis sont constitués par les poteaux et les poutres qui sont soumis à une pression uniforme provenant du poids propre de l'ouvrage et des surcharges.
- Les panneaux constituant le radier sont uniformément chargés et seront calculés comme des dalles appuyées sur quatre cotés et chargées par la contrainte du sol, pour cela on utilise la méthode de BAEL91 annexe E3 pour déterminer les moments unitaires  $\mu_x$ ,  $\mu_y$  qui dépend du coefficient de POISSON et du rapport :  $\rho = \frac{l_x}{l_y}$

### VII.5.6.1. Méthodes de calcul:

- Dans le sens de la petite portée :  $\mathbf{M}\mathbf{x} = \mu_x.qu.lx^2$ 

- Dans le sens de la grande portée :  $\mathbf{M}\mathbf{y} = \mu_{y}$ . Mx

#### Tel que:

 $\mu_x$ ,  $\mu_y$ : sont des coefficients en fonction de  $\rho = l_x / l_y$  et  $\nu$  (prend 0.2 à 1 'ELS, 0 à 1'ELU)

Pour le calcul, on suppose que les panneaux sont partiellement encastrés aux niveaux des appuis, d'où on déduit les moments en travée et les moments sur appuis.

En tenant compte des modes de fixation on effectue les ventilations des moments comme suit :

	Le panneau de rive	Le panneau intermédiaire
	$M_{tx} = 0.85 Mx$	$M_{tx} = 0.75 Mx$
Sur travée	$M_{ty} = 0.85 \text{ My}$	$M_{ty} = 0.75 My$
Sur appui	$M_{ax} = M_{ay} = 0.3Mx$	$M_{ax} = M_{ay} = 0.5Mx$

Tableau VII. 3. Le calcul des moments en travée et en appuis selon la méthode de PIGEAUD.

Nous avons utilisé pour le ferraillage des panneaux, la méthode proposée par le règlement BAEL91. La fissuration est considérée comme étant préjudiciable.

### VII.5.6.2. Evaluation des charges :

> Poids du radier :

✓ ELU:

$$q_u = \frac{N_u}{S_{radier}} \times 1 ml = \frac{51645,40}{331.784} = 155.65 \text{ KN/ml}$$

✓ ELS:

$$q_s = \frac{N_s}{S_{radier}} \times 1 ml = \frac{37753,36}{331.784} = 113.78 \text{ KN/ml}$$

Le plus grand panneau est le panneau de rive (5.00×5.80) m<sup>2</sup>.

 $\alpha = \frac{L_x}{L_y} = \frac{5.00}{5.80} = 0.86 > 0.4 \implies$  Le panneau travaille dans les deux sens.

• <u>l'ELU</u>: v = 0 ;  $q_u = 155.65$  KN/m $\ell$   $\mu_x = 0.0498$   $\mu_y = 0.693$ 

• <u>l'ELS</u> : v = 0.2 ;  $q_{ser} = 113.78$  KN/m $\ell$   $\mu_x = 0.0569$   $\mu_y = 0.791$ 

### VII.5.6.3. Calcul des moments fléchissant :

Dans le sens de la petite portée :  $Mx = \mu x.qu.lx^2$ 

Dans le sens de la grande portée :  $My = \mu y.Mx$ 

Le panneau travaille dans les deux directions, en appliquant les formules au-dessus, en trouve les résultats dans le tableau suivant :

## • ELU:

	Panneau de rive	Panneau intermédiaire
v	0	0
$\mu_X$	0.0498	0.0498
μ	0.693	0.693
qu (kN/ml)	155.65	155.65
Mx (kN.m)	193.67	193.67
My (kN.m)	134.21	134.21
Mt x (kN.m)	164.61	145.25
Mt y (kN.m)	114.07	100.65
Ma (kN.m)	58.10	96.83

Tableau VII. 4. Résultats des moments du panneau sur appui et en travées à l'E.L.U.

## VII.5.6.4. Calcul des armatures :

$$\mu = \frac{M}{b \times d^2 \times \overline{\sigma_b}} \qquad \alpha = 1.25(1 - \sqrt{(1 - 2\mu)}) \qquad \beta = (1 - 0.4\alpha)$$

$$A_s = \frac{M}{\beta \times d \times \overline{\sigma_s}} \qquad A_{s \min} = \frac{0.23 \ b \ d \ f_{t28}}{f_e}$$

$$\mathbf{A}_{\text{S min}} = \frac{0.23 \times \mathbf{b} \times \mathbf{d} \times f_{\text{t28}}}{f_{e}} \ \overline{\sigma_{b}} = 14.2 \,\text{MPa}; \overline{\sigma_{s}} = 348 \,\text{MPa} \ ; \text{b=100cm};$$

$$\emptyset \ge \frac{h}{10} = \frac{50}{10} = 5cm$$
;  $\mathbf{dx} = \text{h-c-}\frac{\phi}{2} = 50-5-\frac{5}{2} = 42.5 \text{ cm}$ ;  $\mathbf{dy} = \text{dx-}\frac{\phi_x + \phi_y}{2} = 37.5 \text{ cm}$ 

	SENS	S X-X	SENS	S Y-Y
	Sur appui	En travée	Sur appui	En travée
M <sub>u</sub> (KN. m)	96.83	164.61	96.83	114.07
μ	0.037	0.064	0.032	0.044
μ < μι	Oui	Oui	Oui	Oui
а	0.047	0.082	0.04	0.056
β	0.981	0.967	0.987	0.977
$\sigma_{ m s}$	348	348	348	348
A <sub>s</sub> (cm <sup>2</sup> /ml)	6.67	11.34	6.67	7.86
As min(cm <sup>2</sup> /ml)	5.13	5.13	4.52	4.52
Choix des	5HA14	6HA16	5HA14	6HA16
barres/ml				
As corres (cm <sup>2</sup> /ml)	9.24	12.06	7.69	12.06
Espacement (cm)	20	20	20	20

Tableau VII. 5. Calcul de ferraillage du panneau de radier à l'E.L.U

# • **ELS**:

$$\overline{\sigma_b} = 0.6 f_{c28} = 15 \text{ MPa....}$$
BAEL91 (art .4.5.2)

FeE400 
$$\Rightarrow \eta = 1.6$$
;  $\sigma_s = \min \left\{ (2/3) fe$ ;  $110 \sqrt{\eta \times f_{t28}} \right\}$ 

$$\sigma_s = \min \left\{ 0.666 \times 400 \; ; \; 110\sqrt{1.6 \times 2.1} \right\} \Rightarrow \sigma_s = 201.63 \,\text{MPa}$$

	Panneau de rive	Panneau intermédiaire		
ν	0.2	0.2		
$\mu_X$	0.0569	0.0569		
μ	0.791	0.791		
qu (kN/ml)	113.78	113.78		
Mx (kN.m)	161.85	161.85		
My (kN.m)	128.02	128.02		
Mt x (kN.m)	137.57	121.38		
Mt y (kN.m) 108.81		77.77		
Ma (kN.m)	48.55	80.92		

Tableau VII. 6. Résultats des moments du panneau sur appui et en travées à l'E.L.S.

	SENS X-X		SENS	S Y-Y
	Sur appui	En travée	Sur appui	En travée
M <sub>u</sub> (KN. m)	80.92	161.85	80.92	108.81
μ	0.031	0.063	0.031	0.042
μ < μι	Oui	Oui	Oui	Oui
а	0.039	0.081	0.039	0.053
β	0.984	0.967	0.984	0.978
$\sigma_{ m s}$	348	348	348	348
A <sub>s</sub> (cm <sup>2</sup> /ml)	5.56	11.12	6.30	8.47
As min(cm <sup>2</sup> /ml)	5.13	5.13	4.52	4.52
Choix des	5HA14	6HA16	5HA14	6HA16
barres/ml				
As corres (cm <sup>2</sup> /ml)	9.24	12.06	7.69	12.06
Espacement (cm)	20	20	20	20

Tableau VII. 7. Calcul de ferraillage du panneau de radier à l'E.L.S

# VII.5.6.5. Vérification de la contrainte de cisaillement : BAEL 91 (A.5.1,21)

$$\tau_u = \frac{V_u}{b.d}$$
 ;  $V_u = \frac{q_u \times l}{2} = \frac{155.65 \times 5.8}{2} = 451.38 \text{ KN}$ 

$$\tau_u = \frac{451380}{1000 \times 425} = 1.06 \, MPa$$

$$\overline{\tau_u} = \min(0.15 \frac{f_{c28}}{\gamma_b}; 5MPa) \rightarrow \overline{\tau_u} = \min(2.5; 5) = 2.5MPa$$

Donc 
$$\tau_u = 1.06 \, MPa < \overline{\tau_u} = 2.5 MPa$$
 .....(C.V)

# VII.5.6.6. Etude du débord du radier :

Armatures longitudinales:

Le débord du radier est assimilé à une console d'une longueur de 100cm.

Le calcul du ferraillage se fait pour une bande de largeur égale à un mètre linière.

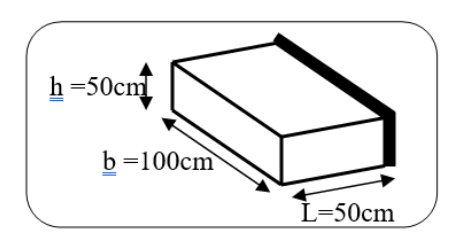


Figure VII. 1. Vue en 3D du débord.

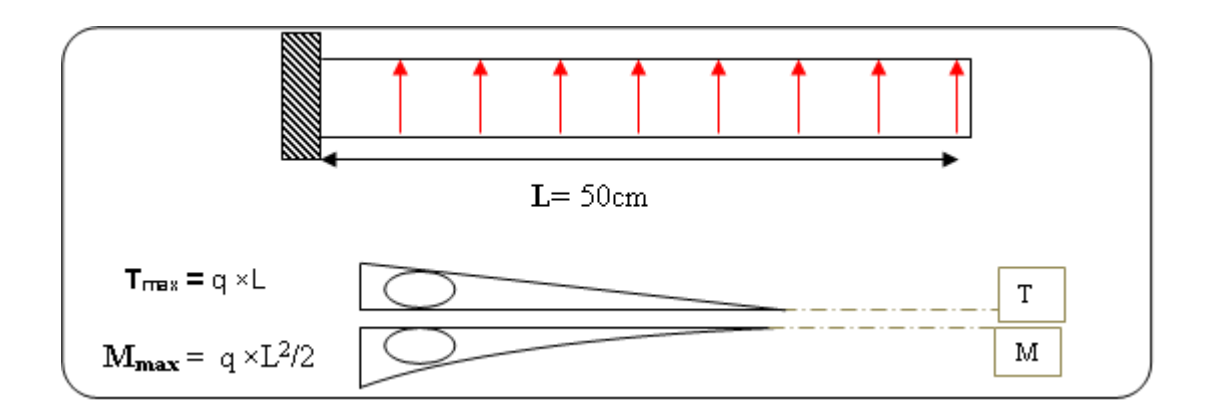


Figure VII. 2. Shéma statique de poutre semi-encastré

b(cm)	h (cm)	d(cm)	L(cm)	qu KN/m	qs KN/m
100	50	45	50	310.96	216.3

 $A_{BAEL} = 0.0025 \times b \times h$ 

Condition de non fragilité:  $A_{Smin}=0.23\times b\times d\times f_{t28}/fe$ 

	M <sub>max</sub>	μ	α	β	As	A <sub>mi</sub>	A <sub>adop</sub>	Section
					(cm <sup>2</sup> )	n	(cm <sup>2</sup> )	adoptée
						(cm <sup>2</sup> )		
ELU	38.87	0,014	0,017	0,993	2.50	5.43	12.50	6HA16=12.6
ELS	27.03	0,009	0,011	0,996	2.99	5.43	12.50	6HA16=12.6

Tableau VII. 8. Les armatures longitudinales utilisées pour les radier

# VII.5.6.7. Vérification au cisaillement :

$$\tau_U \leq \overline{\tau_U} = 0.05 \; f_{c28}$$

$$T_u = qu \times L = 310.96 \times 0.5 = 155.48 \text{ KN}$$

$$au_{u} = \frac{T_{u}}{b \times d} \frac{155.48 \times 10^{3}}{1000 \times 450} = 0.345 \text{ MPa}$$

$$au_{u} = 0.345 \text{MPa} < \overline{ au_{U}} = 1.25 \text{ MPa} \dots (C.V)$$

**Note:** On peut prolonger les armatures adoptées dans les panneaux de rive jusqu'à l'extrémité du débord pour avoir un bon accrochage des armatures.

#### VII.5.7. Etude de la nervure :

Les nervures sont considérées comme des poutres doublement encastrées.

h = 90 cm;

$$d = 0.9h = 81 \text{ cm}$$
;  $c = 5 \text{ cm}$ 

Calcul les charges revenant à la nervure

$$q_u = \frac{N_u}{S_{radier}} = \frac{51645,40}{331.784} = 155.65 \text{ KN/m}^2$$

$$q_s = \frac{N_s}{S_{radier}} = \frac{37753,36}{331.784} = 113.78 \text{ KN/m}^2$$

- ELU:
- > Les moments

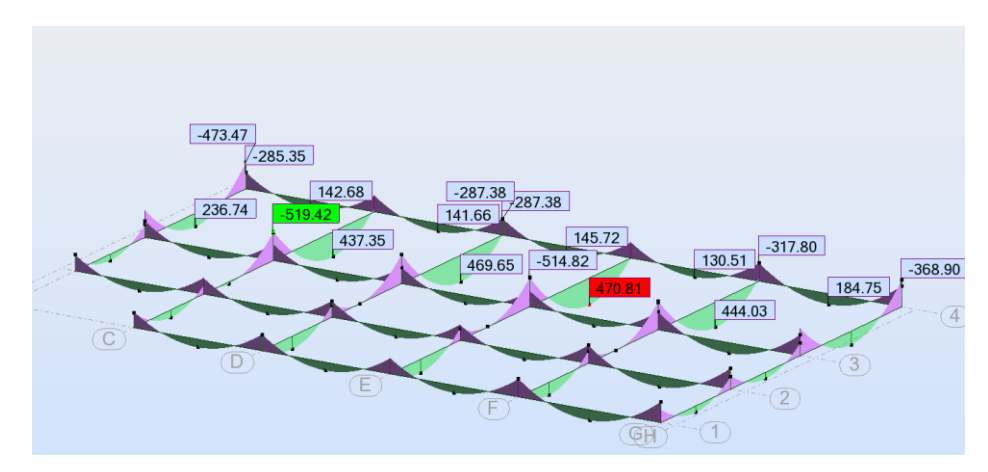


Figure VII. 3. Diagrammes des moments fléchissant de nervure du radier à l'E.L.U

# > L'effort tranchant :

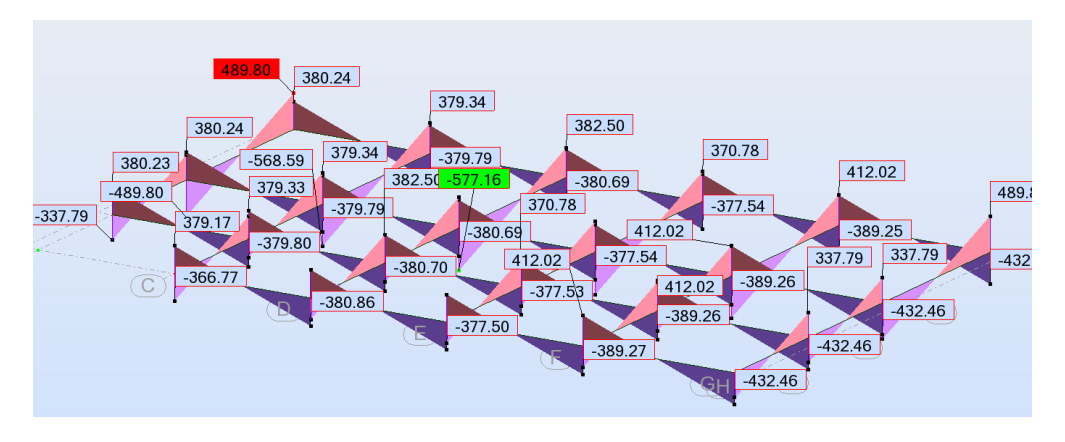


Figure VII. 4. Diagrammes des efforts tranchants de nervure du radier à l'E.L.U

# • **ELS**:

### **Les moments :**

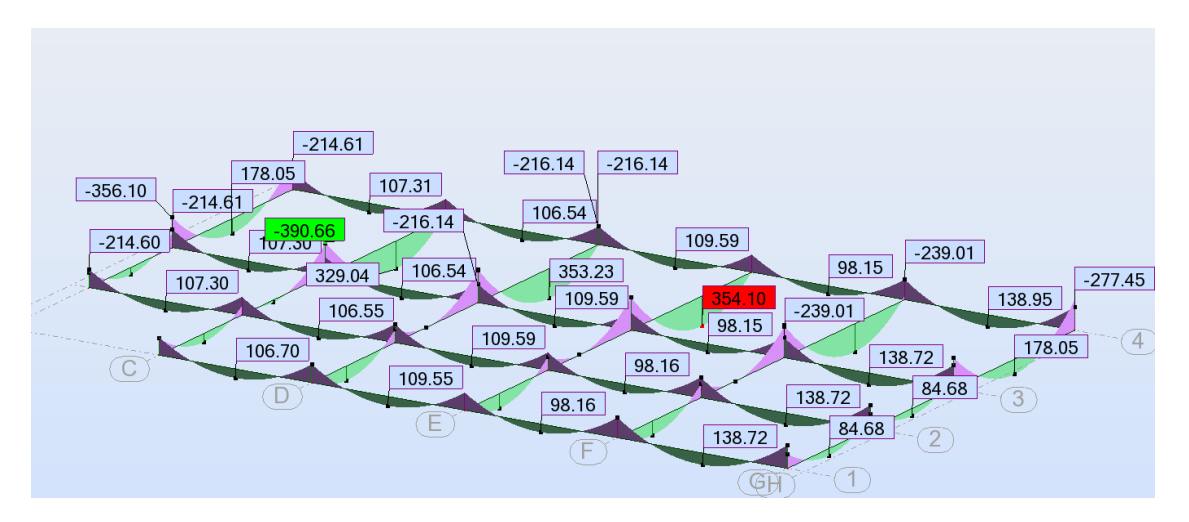


Figure VII. 5. Diagrammes des moments fléchissant de nervure du radier à l'E.L.S

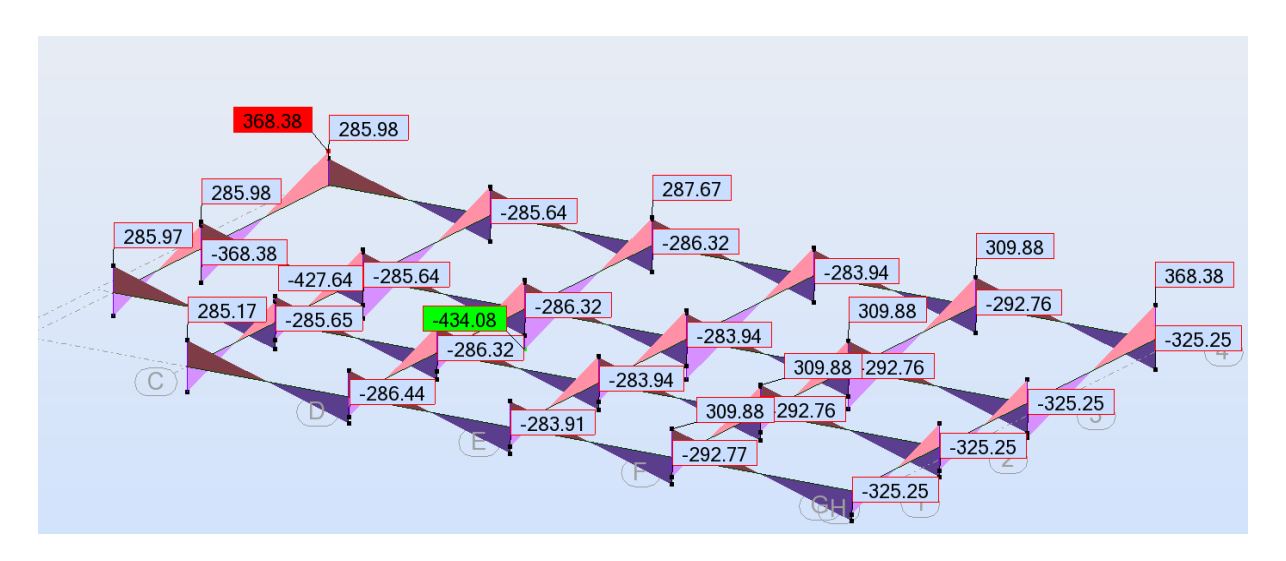


Figure VII. 6. Diagrammes des efforts tranchants de nervure du radier à l'E.L.S

- **ELU**:  $M_t = 470.81 \text{ KN.m}$ ;  $M_a = -519.42 \text{ KN.m}$ - **ELS**:  $M_t = 354.10 \text{ KN.m}$ ;  $M_a = -390.66 \text{ KN.m}$ 

VII.5.7.1. Ferraillage de nervure a l'ELU:

		Mu	μ	а	β	A <sub>cal</sub>	A <sub>mi</sub>	A <sub>ado</sub>	Section
		[KN. m]					n	p	adoptée
	Appui	519.42	0.09	0.118	0.952	19.35	5.86	19.63	4HA25
ELU	Travée	470.81	0.08	0.104	0.958	17.54	5.86	19.63	4HA25

# VII.5.7.2. Ferraillage de nervure a l'ELS:

		Mu	μ	а	β	A <sub>cal</sub>	A <sub>mi</sub>	Aado	Section
		[KN. m]					n	p	adoptée
ELS	Appui	390.66	0.069	0.089	0.964	14.37	5.86	19.63	4HA25
	Travée	354.10	0.063	0.081	0.967	12.99	5.86	19.63	4HA25

# VII.5.7.3. Vérification de cisaillement :

$$\tau_u = \frac{V_{max}}{b.d}$$

$$V_{max} = 368.68 \, KN$$

$$\tau_u = \frac{368680}{600.810} = 0.75 \, MPa$$

$$\overline{\tau_u} = \min(0.15 \frac{f_{c28}}{\gamma_b}; 5MPa)$$

$$\overline{\tau_u} = \min(2.5; 4) = 2.5 MPa$$

$$\tau_u = 0.75 \, MPa \, < \, \overline{\tau_u} = 2.5 \, MPa \dots \dots \dots (C.V)$$

# **Armatures transversales minimales:**

$$\emptyset_l \le \min\left(\frac{h}{35}; \frac{b}{10}; \emptyset\right) = (23.14; 60; 25) \rightarrow on \ prend \ \emptyset_l = 10mm$$

# **Armatures transversales minimales:**

$$S_t = 0.003.S_t.b = 0.003 \times 20 \times 60 = 3.6 \text{ cm}^2$$

# Espacement des armatures transversales :

# > Dans la Zone nodale :

$$S_t \leq \min(\frac{h}{4}; 12\emptyset_l; 30cm)$$

$$S_t \le min(20.25; 24; 30cm) = 20.25cm$$
 On prend  $S_t = 15cm$ 

# - Dans la Zone courante :

$$S_t < \frac{h}{2} = 40.5cm \rightarrow S_t = 30cm$$

# VII.5.8. Schéma ferraillage de radier :

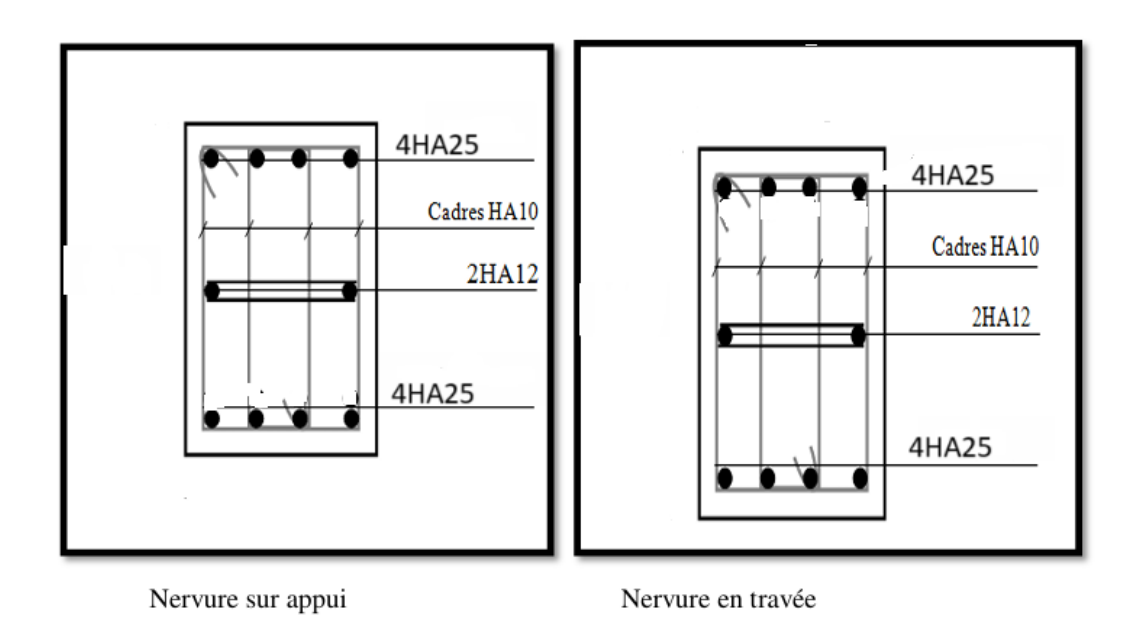


Figure VII. 7. ferraillage sur appui Et en travée de nervure.

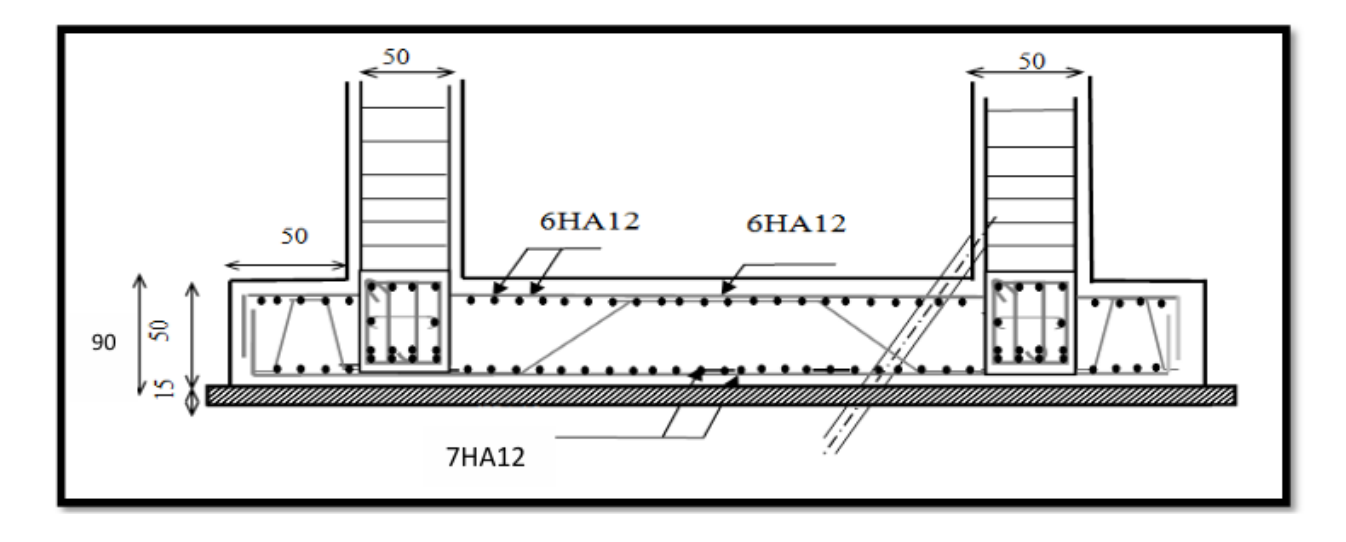


Figure VII. 8. ferraillage globale de radier.



# Conclusion générale



# Conclusion général

La réalisation de ce travail de fin d'étude nous a permis d'enrichir et d'approfondir nos connaissances dans le domaine de l'ingénierie en général et de mieux comprendre les principes du contreventement des structures et de la conception parasismique.

Dans le cadre de ce projet de fin d'étude, nous avons procédé au calcul d'un bâtiment en béton armé comportant un RDC + 09 étages (R+9), doté d'un système de contreventement mixte assuré par des voiles et des portiques. Après une descente de charges et un prédimensionnement des éléments structuraux, une étude dynamique est effectuée pour déterminer les paramètres dynamiques de l'ouvrage et calculer les efforts engendrés par les différentes sollicitations, respectivement, normales et accidentelles.

L'utilisation de l'outil informatique à savoir le logiciel «ROBOT STRUCTURAL ANALYSIS» a été d'un grand apport dans la modélisation tridimensionnelle de la structure et l'automatisation de la méthodologie de calcul. A cet effet, nous avons procédé à la détermination des caractéristiques dynamiques de l'ouvrage ainsi que les efforts internes sollicitant chaque élément de la structure. Les efforts engendrés dans les éléments de la structure sont ensuite utilisés pour le calcul des sections d'acier suivant les combinaisons et les dispositions constructives exigées par la réglementation en vigueur dans le domaine du bâtiment à savoir les Règles Parasismiques Algériennes "RPA99/Version 2003" et les Règles de Conception et de Calcul des Structures en Béton Armé "CBA 93".

Finalement, ce projet constitue pour moi une première expérience. Il m'a été très bénéfique aussi bien sur le plan scientifique et technique que dans la maîtrise de l'outil informatique nécessitant la connaissance de certaines notions de base relatives aux sciences de l'ingénieur.



# Bibliographie



# **BIBLIOGRAPHIE**

# Règlements:

- > RPA99/Version2003 : Règles parasismiques Algériennes.
- ➤ BAEL91 : Béton armé aux états limites.
- ➤ DTR B.C. 2.2 : Charge permanentes et charge d9exploitation.
- ➤ CBA93 : Règles de conception et calcul des constructions en béton armé

# Logiciels et programmes :

- ➤ Logiciel d'analyse des structures ROBOT version 2014.
- > AUTO CAD 2016. (Dessin).
- ➤ Word 2013. (Traitement de texte).
- > Excel 2013(Calculs et tableaux).